



Cáncer en Guayaquil 2007-2009

REGISTRO DE TUMORES SOLCA - GUAYAQUIL

Consejo Directivo Nacional
Sociedad de Lucha contra el Cáncer del Ecuador SOLCA

Ing. José Jouvín Vernaza
Presidente

Sr. Francisco Solá Tanca
Vicepresidente

Dr. César Drouet Candel
Síndico

Ing. Sixto Cuesta Compán
Secretario

Dr. Guillermo Paulson Vernaza
Sub-Secretario

Miembros del Consejo Directivo Nacional

Ing. Carlos Andrade González

Dr. José Baquerizo Maldonado

Ing. Fernando Jiménez Carbo

Ing. José Macchiavello Almeida

Dr. Oswaldo Molestina Zavala

Sr. Juan Paulson Andrade

Dr. Juan Tanca Campozano

Ing. José Suárez Arosemena

Ing. Olmedo Icaza Ruperti

Dr. Ángel Duarte Valverde

Dr. Luis Plaza Febres-Cordero

Dr. Juan Peña Carrasco

Dr. Gabriel Rovayo Vera

Sra. Mirabel Estrada de Suárez

Dr. Ramón Villacreses Peña

Dr. José Apolo Terán

Ing. Juan González Portés

Dr. Lenin Salmon Alvarado

Ing. Francisco Manfredi Trullas

Dignidades de SOLCA Matriz
Instituto Oncológico Nacional “Dr. Juan Tanca Marengo”

Presidente: Ing. José Jouvín Vernaza

Presidente Consejo Hospitalario: Dr. Ramón Villacreses Peña

Gerente General: Ing. Ernesto Burbano De Lara Plaza

Gerente Hospitalario: Dr. Gonzalo Puga Peña

Director Médico: Dr. Guido Panchana Egúez

Dignidades de los Núcleos de SOLCA

NÚCLEO DE AZUAY

Presidente: Ing. Pedro Vintimilla Moscoso

Instituto del Cáncer

Director Médico: Dr. Raúl Alvarado Corral

NÚCLEO DE MANABÍ

Presidente: Dr. Bosco Barberan Mera

Instituto Oncológico Dr. Julio Villacreses Colmont

Director Médico: Dr. Ángel Ganchozo Villavicencio

NÚCLEO DE LOJA

Presidente: Lcdo. Claudio Burneo Burneo

Hospital Oncológico

Director Médico (e): Dr. Luis Morales Vivar

NÚCLEO DE PICHINCHA

Presidente: Dr. Jorge Cevallos Jácome

Hospital Oncológico Solón Espinosa Ayala

Director Médico: Dr. Ramiro Hidalgo Roja

NÚCLEO DE MACHALA

Presidente: Ing. Miriam Aguilar Pesantes

Director Médico del Hospital Oncológico: Dr. Carlos Arreaga Salazar

Dignidades de las Unidades Oncológicas

SANTA ELENA

Coordinador: Eco. Leonor González de Amador

GUARANDA

Coordinador: Dr. Vinicio Campana Baux

BABAHOYO

Coordinador: Ing. Frank Stopar Montero

MILAGRO

Coordinador: Dr. Galo Vaca Rodríguez

AMBATO

Presidente: Ing. Marcelo Mejía

Director Médico: Dr. Diego Pinto

RIOBAMBA

Director Médico: Dr. Ángel Tapia Murillo

**REGISTRO DE TUMORES SOLCA GUAYAQUIL
GESTIÓN DE LA INFORMACIÓN Y PRODUCTIVIDAD - GIP**

DIRECTOR DE REGISTRO DE TUMORES

Dr. Juan Tanca Campozano

JEFE DE GIP

Ing. Leyda Jaramillo Feijoo, Mg

COORDINADOR MÉDICO

Dra. Rina Quinto Briones, MSc

ESPECIALISTA MÉDICO Y EPIDEMIÓLOGO

Dr. Jhony Real Cotto, PhD

REGISTRADORES

Lcdo. Ronald Bastidas Palacios

Ing. Carlos Campoverde Ortiz

Sr. Neycer Loor Mazamba

Sr. Jorge Villarroel Llerena

ANALISTAS ESTADÍSTICOS

Ing. Andrea Jaramillo Briones, Mg

Ing. Ana Roha Ochoa

AGRADECIMIENTO

Nuestro profundo agradecimiento a toda Red Pública Integral de Salud y la Red Complementaria de Salud, conformada por: hospitales y clínicas; así como al Instituto Nacional de Estadísticas y Censos INEC, Médicos Especialistas y personal que no constan en este listado, pero que de manera desinteresada colaboran con el Registro de Tumores, que proporcionan la información de los casos de cáncer y que se ve reflejada en este informe.

¡A Ustedes muchas gracias!

Patólogos

Dra. Andrade Rendon Jessica
Dra. Auncancela Sánchez Jinna
Dra. Bautista Litardo Mariana
Dr. Camacho Alvarez Fernando
Dr. Castillo Rodríguez Abel
Dr. Cedeño Navarrete Carlos
Dra. Cevallos De Sánchez María Elena
Dr. Cozarelli Mera Cellini
Dra. Díaz Cevallos Linda
Dr. Estrada Morales Allan
Dr. Franco Estrella Walter
Dr. Garcés Santos Juan Carlos
Dra. Guerrero Cedeño Maritza
Dr. Hidrovo Barreiro Rubén
Dra. Jurado Barahona Kerly
Dra. Kuri González Margarita
Dr. Ledesma Lavayen Mauricio
Dr. Leone Stay Aldo
Dr. Loayza Sánchez Enrique
Dr. Mendoza Moran José
Dr. Miranda Vargas Freddy
Dra. Moran Pareja Eufemia
Dra. Noboa Cercado Andrea
Dra. Nuques Martínez María
Dra. Pérez Cepeda Carolina
Dr. Pérez Merizalde Juan
Dr. Plaza Vélez Luis Enrique
Dr. Ramírez Gaona Alex
Dra. Ramírez Rosero Ana
Dra. Rodas Suarez Patricia
Dra. Romero Coronel Aurora
Dra. Romero García Nelly
Dr. Rubio Coronel Gustavo
Dr. Rubio Sotomayor Alfonso
Dra. Saltos Viteri Diana
Dra. Sánchez Jaramillo Gianella
Dr. Solórzano José Luis
Dra. Soria Arteaga Laura
Dra. Triana Castro Tania
Dra. Urrea Terán Isabel
Dra. Van Isschot De Leone Monserathe
Dr. Von Buchwald Jervis Carlos

Clínicas

Alborada
Alcívar
Alfa
Altamirano Barcia
Aprofe
Cemoplaf
Domínguez
Fiallos
Galeno
Génesis
Gentile
Gil
Guayaquil
Idrovo
Kennedy
Kennedy Norte
Moderna
Ortiz
Panamericana
Parker
Pasteur
Pediátrica
Proaño
Rendón
San Francisco
San Gabriel
San Marcos
Sánchez Villalta
Santa Ana
Santa Marianita
Sotomayor
Sudamericana
Tamayo Ortega
Universitario
Urdenor
Vargas Ortega
Omni Hospital
Sur Hospital

Instituciones

Coordinación Zonal 8 - Salud
Fuerzas Armadas del Ecuador
Instituto Ecuatoriano de Seguridad Social
Instituto Nacional Estadísticas y Censos del Ecuador
Junta de Beneficencia de Guayaquil
Ministerio de Gobierno del Ecuador
Ministerio de Salud Pública del Ecuador
Registro Civil del Guayas
Sociedad de Lucha Contra el Cáncer del Ecuador
Sociedad Protectora de la Infancia de Guayaquil

Hospitales

Del Niño "Dr. Francisco de Icaza Bustamante"	Ministerio de Salud Pública del Ecuador
Del niño "Dr. Roberto Gilbert Elizalde"	Junta de Beneficencia de Guayaquil
General "Luis Vernaza"	Junta de Beneficencia de Guayaquil
De la mujer Alfredo G. Paulson"	Junta de Beneficencia de Guayaquil
Guayaquil "Abel Gilbert Pontón"	Ministerio de Salud Pública del Ecuador
Infectología "José Rodríguez Maridueña"	Ministerio de Salud Pública del Ecuador
Instituto Nacional de Investigación en Salud Pública "Leopoldo Izquieta Pérez"	Ministerio de Salud Pública del Ecuador
Instituto Oncológico Nacional "Dr. Juan Tanca Marengo"	Sociedad de Lucha Contra el Cáncer Sociedad
León Becerra	Sociedad Protectora de Infancia de Guayaquil
Materno Infantil del Guasmo "Matilde Hidalgo de Procel"	Ministerio de Salud Pública del Ecuador
Naval	Fuerzas Armadas del Ecuador
Neumológico "Alfredo J. Valenzuela"	Ministerio de Salud Pública del Ecuador
Policía Nacional G-2	Ministerio de Gobierno del Ecuador
Psiquiátrico "Instituto de Neurociencias"	Junta de Beneficencia de Guayaquil
Regional "Teodoro Maldonado Carbo"	Instituto Ecuatoriano de Seguridad Social
Territorial	Fuerzas Armadas del Ecuador
Universitario	Ministerio de Salud Pública del Ecuador
Del Día "Dr. Efrén Jurado"	Instituto Ecuatoriano de Seguridad Social
Madre Berenice.	Red de Dispensarios Médicos de la Arquidiócesis de Guayaquil
Sagrada Familia	Privado

CONTENIDO

INTRODUCCIÓN.....	8
METODOLOGÍA	9
PIRÁMIDE POBLACIONAL DE GUAYAQUIL. 2007-2009	11
PRINCIPALES LOCALIZACIONES DE CÁNCER RESIDENTES EN LA CIUDAD DE GUAYAQUIL. 2007-2009..	13
TODOS LOS SITIOS	14
ESTÓMAGO	15
COLON-RECTO	16
HÍGADO	17
PULMÓN.....	18
MELANOMA	19
PIEL.....	20
MAMA	21
CUELLO DEL ÚTERO INVASOR.....	22
CUELLO DEL ÚTERO IN SITU	23
OVARIO.....	24
PRÓSTATA.....	25
ENCÉFALO.....	26
TIROIDES.....	27
LINFOMA NO HODGKIN.....	28
LEUCEMIAS	29
CÁNCER INFANTIL RESIDENTES EN LA CIUDAD DE GUAYAQUIL. 2007-2009	30
ANEXOS	33
TASAS DE INCIDENCIA DEL CÁNCER INFANTIL DE 0 A 19 AÑOS EN NIÑOS. RESIDENTES EN GUAYAQUIL. 2007-2009.....	34
TASAS DE INCIDENCIA DEL CÁNCER INFANTIL DE 0 A 19 AÑOS EN NIÑAS. RESIDENTES EN GUAYAQUIL. 2007-2009.....	34
TASAS DE INCIDENCIA DE RESIDENTES EN GUAYAQUIL SEGÚN GRUPOS DE EDAD POR 100.000. 2007-2009 HOMBRES	35
TASAS DE INCIDENCIA DE RESIDENTES EN GUAYAQUIL SEGÚN GRUPOS DE EDAD POR 100.000. 2007-2009 MUJERES.....	38
LOCALIZACIÓN TOPOGRÁFICA SEGÚN DIAGNÓSTICO HISTOLÓGICO Y SEXO. RESIDENTES EN GUAYAQUIL. 2007-2009	41
INCIDENCIA DE CÁNCER DETERMINADO POR INSTITUCIÓN Y POR SEXO	58
TRABAJOS, PÓSTERES Y CONTRIBUCIONES REALIZADAS.....	59

INTRODUCCIÓN

Los Registros de Tumores son sistemas de información que recolectan, almacenan, procesan y analizan de forma continua y sistemática datos sobre los casos de cáncer que se producen en una población definida. Es de anotar que el Ministerio de Salud Pública (MSP) el 11 de julio de 1984 mediante Registro Oficial acuerda encargar y responsabilizar a SOLCA y sus núcleos para el Registro de las neoplasias en el Ecuador.

En Guayaquil esta información depende de la Sociedad de Lucha Contra el Cáncer SOLCA Matriz Guayaquil, quien elabora el registro, la misma que tiene una cobertura de aproximadamente del 65% de la provincia del Guayas, siendo esta el 26% de la población total que tiene el Ecuador.

Dicho Registro en Guayaquil inicia sus actividades en 1990 hasta la actualidad, aportando en este tiempo con 5 publicaciones las cuales han comprendido periodos de estudios de: 1990 a 1996, 1997 a 2000, 2001 a 2002, 2003 a 2006 y esta última de 2007 a 2009. La característica de los registros de cáncer de base poblacional es registrar en forma continua y sistemática todos los casos nuevos de cáncer que se diagnostican entre los habitantes de un área demográfica bien definida a partir de una fecha determinada; y como producto final se efectúan estas publicaciones que luego son abalizados por el tiempo. Además, a fines del año 2001, el MSP inició un proceso de desarrollo de una Sistema Integrado de Vigilancia Epidemiológica cuyo objetivo fue proveer información necesaria a los actores de todos los niveles de salud para planificar y evaluar el impacto de sus intervenciones.

Cabe indicar, que la ciudad de Guayaquil está localizada en la costa del Pacífico en la región costa del Ecuador, se divide en 16 parroquias urbanas, y 10 distritos; y es la ciudad con mayor densidad poblacional en el Ecuador.

El área metropolitana de la ciudad está compuesta de 344,5 km² de superficie, influenciada por su diversidad y, por ser ciudad cosmopolita tiene una población flotante importante, lo cual ha hecho que la investigación observacional de carácter epidemiológico permita describir con exactitud la residencia del caso investigado, y así poder construir indicadores con mayor precisión; esto contribuye a la vigilancia epidemiológica para el

mejoramiento en la respuesta de los servicios de salud, dado que constituye la segunda función esencial de la salud pública.

Se mantiene la relación de 0,7 / 1 (hombres/mujeres) al igual que las 2 últimas publicaciones encontradas. Siguiendo la comparación de los dos últimos periodos de publicación, es decir 1999 a 2002 y 2003 a 2006 se observa lo siguiente:

Aunque la relación se mantiene en el porcentaje de cáncer por sexo, en las diferentes localizaciones no se presentan de forma igual; este último período los cánceres con mayor frecuencia en **hombres** se tuvieron el (C61) Tumor maligno de Próstata con una tasa estandarizada de 27,75 casos por cada 100.000 habitantes, seguido de (C44) Otros tumores de la piel (18,62); (C16) Tumor maligno de Estómago (13,18); (C42) Sistema hematopoyético y reticuloendotelial (10,95); (C34) Tumor maligno de los Bronquios y del Pulmón (7,58); (C77) Tumor maligno secundario y el no especificado de ganglios linfáticos (7,54) entre otros.

Lo referente a los Tumores en las **mujeres** se tuvo al (C50) Tumor maligno de Mama con 30,27 casos por cada 100.000 habitantes, seguido de (C53) Tumor maligno de Cuello de Útero (20,54); (C44) Otros tumores de la piel (16,61); (233) Ca in situ de Cérvix uterino (12,08); (C16) Tumor maligno de Estómago (8,34); (C42) Sistema hematopoyético y reticuloendotelial (6,43); entre otros.

Dentro de este período analizado, se observó en los hombres un incremento de la tasa estandarizada entre el año 2007 al 2009 del Tumor maligno de Próstata de 4,58, Piel de 4,17; Sistema hematopoyético y reticuloendotelial de 2,88; Tumor maligno de los Bronquios y del Pulmón de 1,38; Tumor maligno secundario y el no especificado de ganglios linfáticos es estable su presentación y el Tumor maligno de Estómago decrece en 2,85.

Los Tumores en las mujeres que tuvieron un incremento fueron Otros tumores de la piel de 6,7, Sistema hematopoyético y reticuloendotelial de 2,39 y Tumor maligno de Estómago de 1,07; mientras que el Tumor maligno de Mama y Tumor maligno de Cuello de Útero se mantienen estables; pero el Ca in situ de Cérvix uterino decrece.

Dr. Juan Tanca Campozano

Director del Registro de Tumores SOLCA Guayaquil

METODOLOGÍA

El Registro de Tumores de SOLCA, es un registro de base poblacional y su área geográfica es la ciudad de Guayaquil.

La metodología consiste en una recolección activa de casos de cáncer diagnosticados en las distintas fuentes de información, tales como: laboratorios de patología, hematología, citología, establecimientos de salud públicos y privados, donde los registradores revisan las historias clínicas para completar los datos clínicos y demográficos del paciente. Además, se visitan otras fuentes de información, tales como: Instituto Nacional de Estadísticas y Censos INEC, para los egresos hospitalarios y certificados de defunción.

El análisis de la información se realiza a través de las medidas epidemiológicas: proporción, porcentaje, tasas de incidencia (cruda, específicas por edad, estandarizada, truncada). Además de indicadores de calidad razón incidencia/mortalidad, porcentaje de casos conocidos por certificado de defunción y verificación histológica.

Para garantizar exhaustividad y calidad de los datos, se confronta la base del registro con los certificados de defunción enviados por el departamento de estadística de la Coordinación Zonal 8 - Salud en Guayaquil.

Los certificados de defunción por cáncer que no se encuentran en la base de datos del registro, son sometidos a una investigación retrospectiva, donde se rastrean las actas de defunción identificando el hospital y médico que certifica la defunción y luego se visita para confirmar la base de diagnóstico del certificado.

BASE DE DATOS

El registro de tumores recolecta información desde el año 1990, la cual se ingresa a través del sistema informático desarrollado por el departamento de cómputo de SOLCA Guayaquil en plataforma ORACLE. El registro lleva más de 20 años almacenando información de casos de cáncer en hombres y mujeres en Guayaquil de forma permanente.

CÓDIGO DE CLASIFICACIÓN

Las tabulaciones en este informe comprenden todos los nuevos casos de cáncer. El carcinoma in situ del cérvix uterino, se lo clasificó separadamente, los cánceres invasivos se clasifican en los sitios respectivos. Se omiten lesiones precancerosas de los otros sitios, y se clasifican a todas las neoplasias malignas del sistema nervioso central.

TOPOGRAFÍA Y MORFOLOGÍA DEL TUMOR

En este informe todos los casos tanto la topografía como la morfología se presentan en el formato de ICD-O-III: se clasifican los tumores sólidos según el órgano de origen. Los tumores no sólidos (los linfomas malignos, leucemias y mieloma) se presentan según la categoría de la enfermedad independiente del órgano de origen, la gran mayoría de linfomas se encuentra en la codificación alfa-numérica C77 y las leucemias y los mielomas están en C42.

EXTENSIÓN DE LA ENFERMEDAD

IN SITU: Posición en que la neoplasia no es invasiva.

LOCALIZADO: Neoplasia invasiva confinada completamente al órgano de origen

REGIONAL: La neoplasia se ha extendido más allá de los límites del órgano de origen en los ganglios linfáticos regionales (clínico o histológico) o directamente en el tejido circundante u órganos.

DISTANTE: La neoplasia se ha extendido a otros ganglios linfáticos, metástasis a los órganos remotos (al hígado, pulmón, al cerebro, a la piel, al hueso, sistema nervioso central).

SIN ESTADIO: La información es desconocida o insuficiente para asignar una fase.

BASE DEL DIAGNÓSTICO

La base del diagnóstico es:

- 0 Defunción
- 1 Clínica
- 2 Rayos x y otros
- 3 Cirugía
- 4 Citología
- 5 Hematología
- 6 Histología de metástasis
- 7 Histología del tumor primario
- 8 Autopsia

TUMORES MÚLTIPLES

Los tumores múltiples en los diferentes órganos son registrados como enfermedades separadas según los criterios establecidos por la IACR, donde se indica que el tumor múltiple es aquel que se origina en un tejido o localización primaria y no es una extensión, recidiva o metástasis. Debe estar localizado en diferente sitio anatómico o, si está en la misma localización, su morfología debe pertenecer a una familia histopatológica distinta.

CALIDAD DE LOS DATOS

Para garantizar la calidad de los casos de cáncer ocurridos en la ciudad de Guayaquil y recolectados por el Registro de tumores, se deben medir los indicadores de exhaustividad y validez, además debe permitir comparación con los datos de otros registros de cáncer.

En exhaustividad, se calcula la razón mortalidad/incidencia. En promedio en todas las localizaciones del 2010-2014 excluyendo cáncer de piel no melanoma y los tumores in situ, se obtuvieron índices de mortalidad/incidencia del 43.8% en hombres y 40.9% en mujeres.

La Validez, se determina por el porcentaje de casos conocidos por los certificados de defunción, el porcentaje de casos con verificación histológica y el porcentaje de casos sin edad. En el periodo 2010-2014 el porcentaje de casos que ingresaron por certificado de defunción fue del 3,7% y con porcentaje de verificación histológica fue del 83%.

DEFINICIONES

Edad. Es la edad en años al momento del diagnóstico.

Residencia. Es la municipalidad de residencia en el momento del diagnóstico.

Proporción. Es la comparación de dos variables con características similares y se obtiene al realizar la variable estudiada en el numerador y en el denominador la variable estudiada más el resto de la población en estudio.

Razón. Es la comparación de dos variables que tienen características distintas.

Incidencia. Es el número de los casos nuevos de cáncer en una población definida dentro un periodo de tiempo especificado.

Tasa de Incidencia. Es el número de los casos nuevos de cáncer que se informaron dentro de un periodo definido de tiempo dividido para la población en riesgo en el mismo periodo (persona-años) de tiempo (generalmente expresado como la tasa por 100.000 personas por años).

Tasa Estandarizada. Son las tasas totales de incidencia que se ajustaron a la edad por medio del método directo y de la población mundial estándar.

Las tasas más altas de cáncer se presentan entre la población adulta, de ahí que las tasas crudas o brutas se vean afectadas por la estructura poblacional del lugar que se analiza. La manera de eliminar esta distorsión y por lo tanto volverlas comparables con otros registros de cáncer nacionales e internacionales es la estandarización, para lo cual existen varios métodos estadísticos. En este registro al igual que otros registros del Ecuador se utiliza el método directo, que consiste en aplicar las tasas específicas de cada grupo de edad en la distribución de la población mundial sugerida por la Agencia Internacional de Registros de Cáncer.

Tasa Cruda o Bruta. Es el número total de casos nuevos en un año, dividido para la población en estudio multiplicado por la constante de 100.000 y se expresa en tasas por 100.000 habitantes.

Tasa de Edad-Específica. Es la tasa de incidencia para los casos y la población de referencia en una edad especificada (grupo etario).

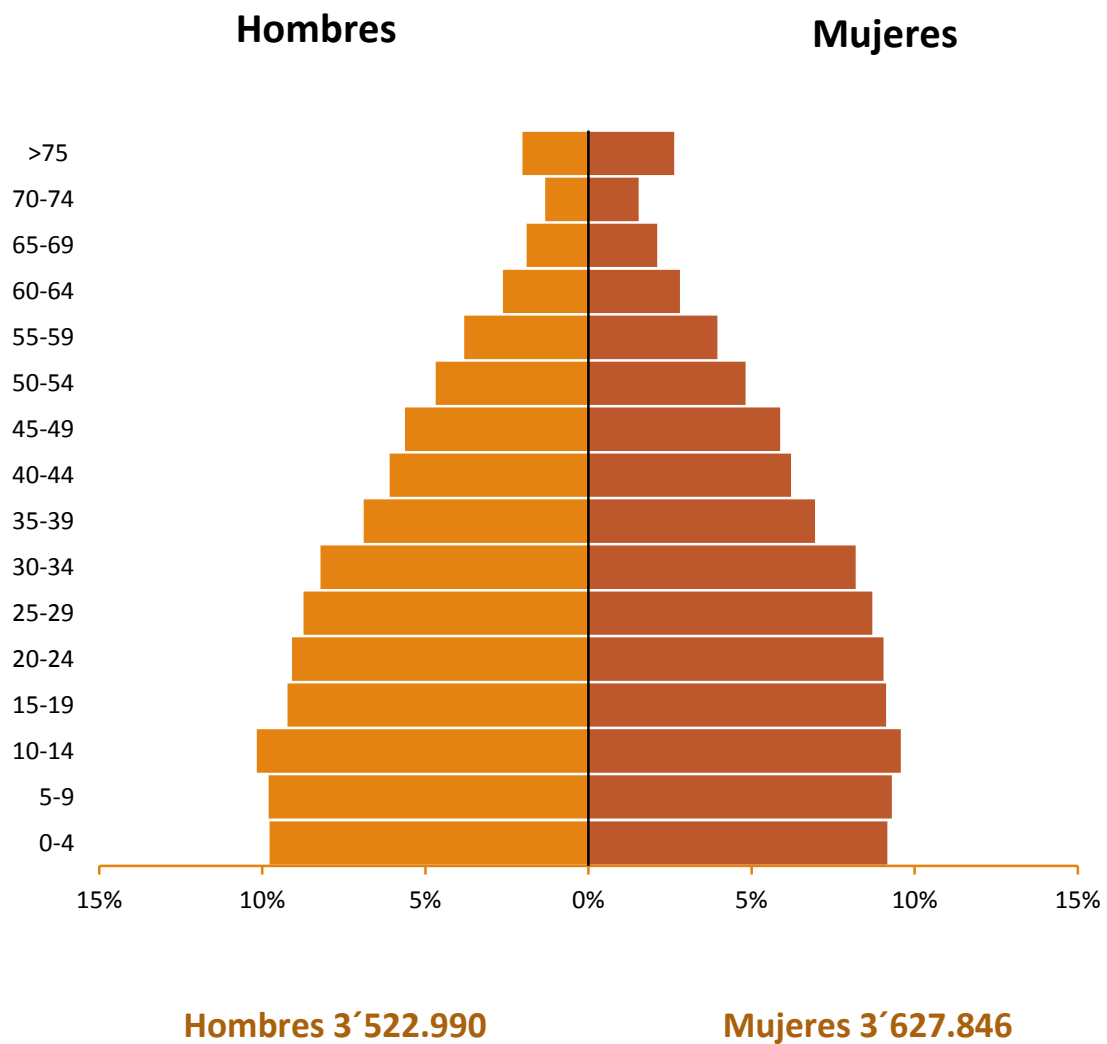
Tasa de Mortalidad. Es la relación entre el número de muertes ocurrido por cáncer y la población de riesgo dentro de un periodo definido de tiempo, multiplicando por el factor de amplificación 100.000.

Tendencia. Representa la direccionalidad de las tasas en los diferentes años. Utilizándose regresión lineal simple y la significación se realizó mediante análisis de varianza.

PIRÁMIDE POBLACIONAL DE GUAYAQUIL. 2007-2009

PIRÁMIDE POBLACIONAL DE GUAYAQUIL. 2007-2009

DISTRIBUCIÓN DE LA POBLACIÓN POR SEXO Y GRUPOS DE EDAD. CIUDAD DE GUAYAQUIL. 2007-2009

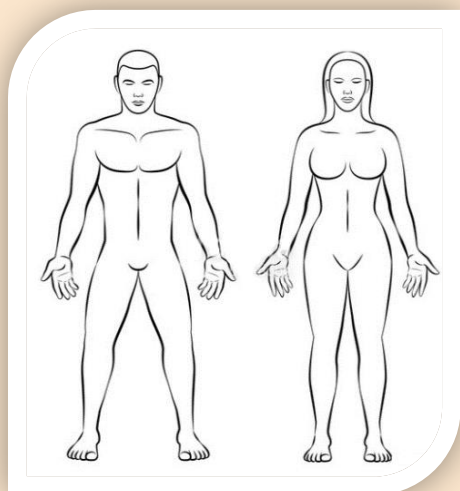


En el año 2008 la población estimada para hombres es **1'174.275** y para mujeres es **1'209.225** siendo el mismo el punto medio del periodo 2007 a 2009.

PRINCIPALES LOCALIZACIONES DE CÁNCER
RESIDENTES EN LA CIUDAD DE GUAYAQUIL.
2007-2009

TODOS LOS SITIOS

GUAYAQUIL



En Guayaquil, para el periodo indicado se diagnosticaron un promedio anual de **3.067** casos nuevos de cáncer, siendo el 41% en hombres y 59% mujeres. La tasa cruda de incidencia es de **107,38** en hombres y **149,34** en mujeres por cada 100.000 habitantes. La tasa cruda de mortalidad es de **60,63** en hombres y **63,65** en mujeres por cada 100.000 habitantes. Los grupos etarios con mayor afectación en mujeres fueron de 45 a 59 años y en hombres de 60 a 74 años. El **83%** de los casos fue con base de diagnóstico histológica primaria. Se observa que la incidencia de cáncer en mujeres viene incrementándose en mayor proporción que en hombres; sin embargo la mortalidad por cáncer presenta un aumento en el año 2005 y luego se estabiliza.

Tabla 1. Síntesis de Incidencia y Mortalidad

	Incidencia		Mortalidad	
	Hombres	Mujeres	Hombres	Mujeres
Número de casos	3.783	5.418	2.136	2.309
% del total de casos	41%	59%	48%	52%
Tasa cruda	107,38	149,34	60,63	63,65
Tasa estandarizada	126,35	154,13	70,62	65,22

Tasa por 100.000 hab.

Gráfico 1. Distribución por Grupos de Edad y Sexo

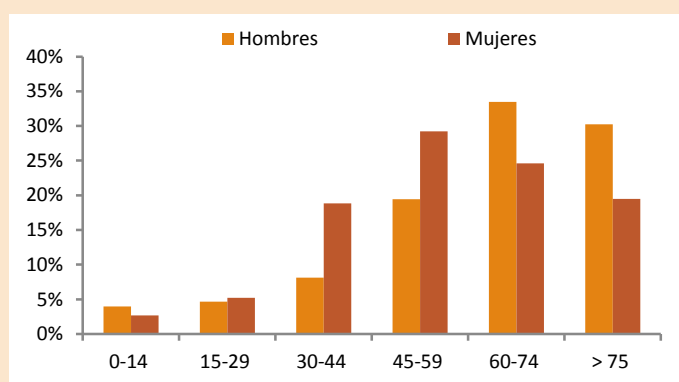
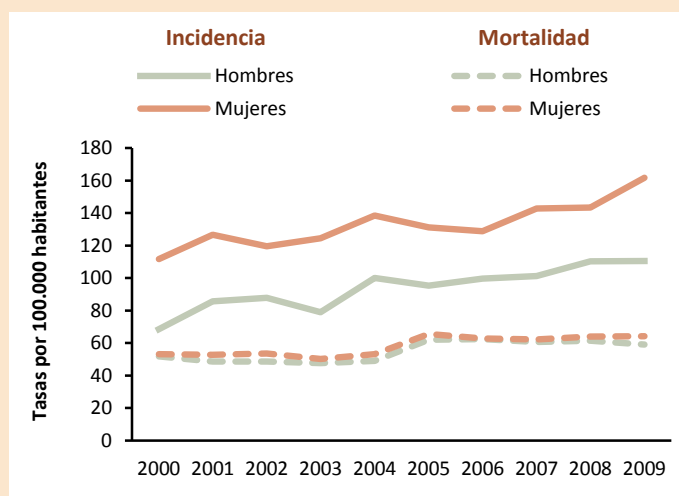


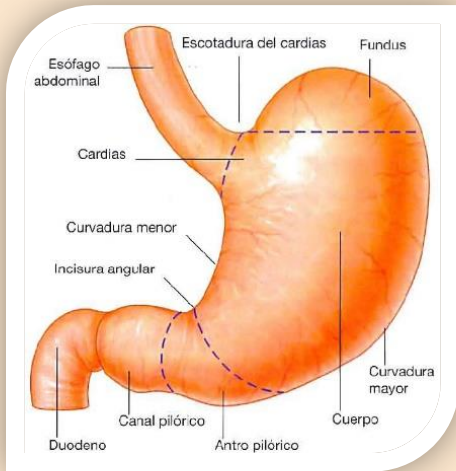
Tabla 2. Base de Diagnóstico

N° casos	Método	Porcentaje
9.201	Histología primario	82,7%
	Citología	1,0%
	Defunción	5,1%
	Rx y otros	3,8%
	Clínica	2,9%
	Hematología	2,7%
	Histología metástasis	1,7%
	Cirugía	0,2%

Gráfico 2. Tendencia de la Incidencia y Mortalidad



ESTÓMAGO



Se diagnosticaron un promedio anual de **221** casos nuevos de cáncer de estómago, siendo el **56%** en hombres y **44%** mujeres. La tasa de incidencia fue de **12,1** en hombres y **8,5** en mujeres por cada 100.000 habitantes. La tasa de mortalidad de **9,93** en hombres y **7,47** en mujeres. Los grupos etarios con mayor afectación en mujeres fueron mayores de 75 años y en hombres de 60 a 74 años. El **76%** de los casos fue con base de diagnóstico histológico. Se observa, en mujeres que la incidencia por cáncer de estómago incrementa y en hombres disminuye; igual comportamiento se observa con respecto a la tasa de mortalidad.

Tabla 1. Síntesis de Incidencia y Mortalidad

	Incidencia		Mortalidad	
	Hombres	Mujeres	Hombres	Mujeres
Número de casos	368	287	350	271
% del total de casos	10,2%	5,7%	16%	12%
Tasa cruda	12,1	8,5	9,93	7,47
Tasa estandarizada	13,2	8,3	11,82	7,37

Tasa por 100.000 hab.

Gráfico 1. Distribución por Grupos de Edad y Sexo

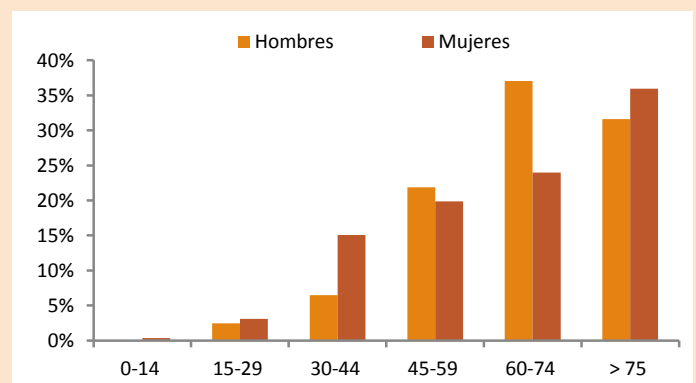
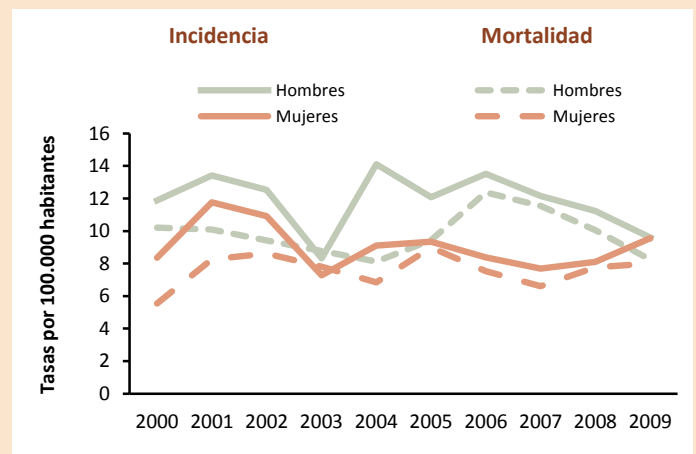


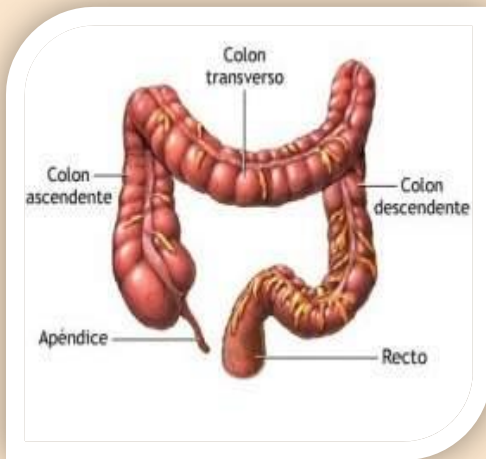
Tabla 2. Base de Diagnóstico

N° casos	Método	Porcentaje
655	Histología primario	76,1%
	Defunción	12,1%
	Rx y otros	6,2%
	Clínica	4,5%
	Histología metástasis	0,5%
	Citología	0,3%
	Cirugía	0,3%

Gráfico 2. Tendencia de la Incidencia y Mortalidad



COLON-RECTO



Se diagnosticaron un promedio anual de **180** casos nuevos de cáncer de colon-recto, siendo el **44%** en hombres y **56%** mujeres. La tasa cruda de incidencia es de **6,53** en hombres y **8,02** en mujeres por cada 100.000 habitantes. La tasa cruda de mortalidad es de **3,89** en hombres y **4,77** en mujeres. Los grupos etarios con mayor afectación en mujeres fueron en mayores de 75 años y en hombres de 60 a 74 años. El **86%** de los casos fue con base de diagnóstico histológico. Se observa una tendencia creciente en la incidencia del cáncer colon-recto tanto en hombres como en mujeres; sin embargo, las tasas de mortalidad presentan un ligero incremento a partir del año 2006.

Tabla 1. Síntesis de Incidencia y Mortalidad

	Incidencia		Mortalidad	
	Hombres	Mujeres	Hombres	Mujeres
Número de casos	230	291	137	173
% del total de casos	6,1%	5,4%	6,4%	7,5%
Tasa cruda	6,53	8,02	3,89	4,77
Tasa estandarizada	7,83	8,14	4,6	4,77

Tasa por 100.000 hab.

Gráfico 1. Distribución por Grupos de Edad y Sexo

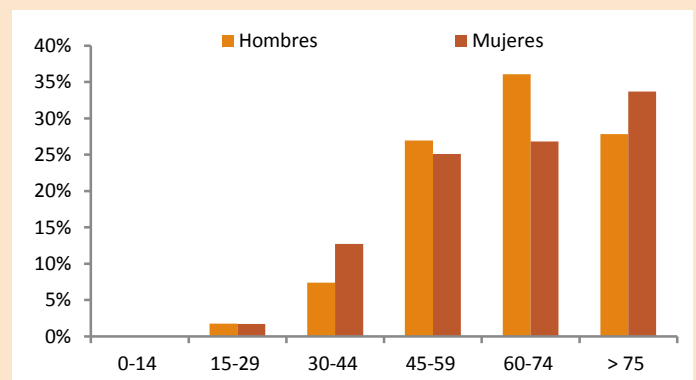
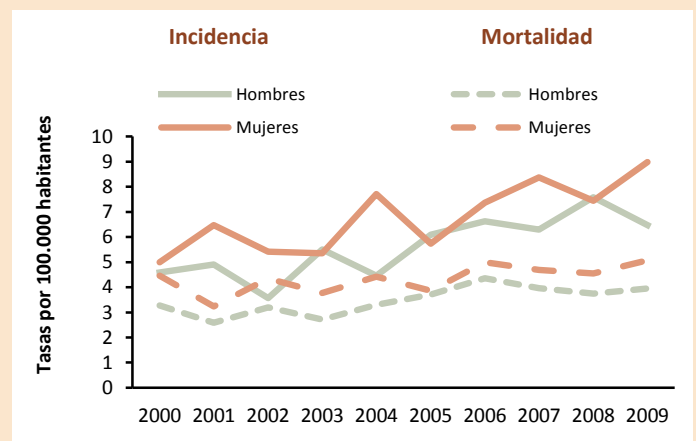


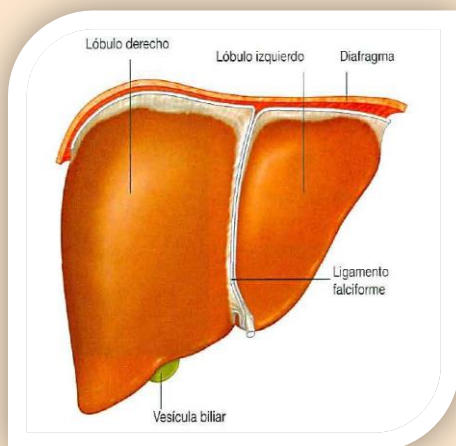
Tabla 2. Base de Diagnóstico

N° casos	Método	Porcentaje
521	Histología primario	86,0%
	Defunción	8,8%
	Clínica	3,1%
	Rx y otros	1,9%
	Cirugía	0,2%

Gráfico 2. Tendencia de la Incidencia y Mortalidad



HÍGADO



Se diagnosticaron un promedio anual de **72** casos nuevos de cáncer de hígado, siendo el **44%** en hombres y **56%** mujeres. La tasa cruda de incidencia es de **3,0** en hombres y **3,3** en mujeres por cada 100.000 habitantes. La tasa cruda de mortalidad es de **4,03** en hombres y **4,27** en mujeres. Los grupos etarios con mayor afectación tanto mujeres como hombres fueron en mayores de 75 años. El **49%** de los casos fue con base histológica y un **25%** por certificado de defunción. Se observa en mujeres incremento de la incidencia a partir del 2003 y luego se estabiliza a partir del año 2005; en hombres la incidencia incrementa a partir del año 2006; Se observa que la mortalidad de dicha patología es muy variable.

Tabla 1. Síntesis de Incidencia y Mortalidad

	Incidencia		Mortalidad	
	Hombres	Mujeres	Hombres	Mujeres
Número de casos	96	121	142	155
% del total de casos	2.5%	2.2%	6.6%	6.7%
Tasa cruda	2.72	3.34	4.03	4.27
Tasa estandarizada	3.2	3.36	4.71	4.2

Tasa por 100.000 hab.

Gráfico 1. Distribución por Grupos de Edad y Sexo

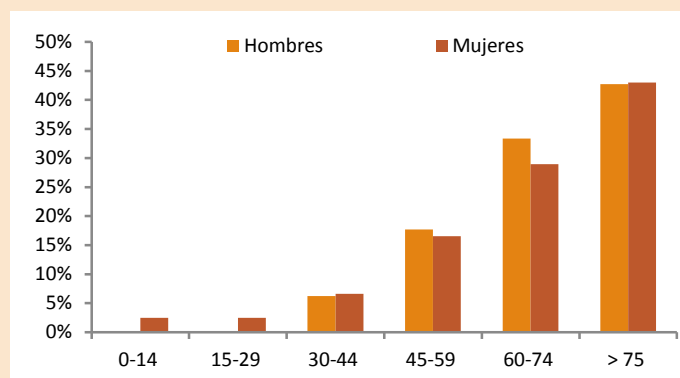
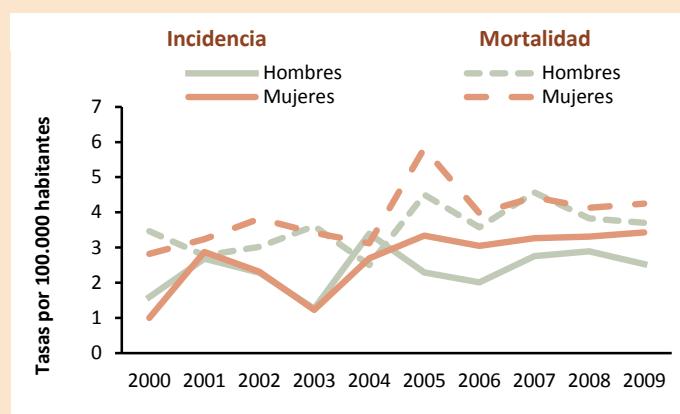


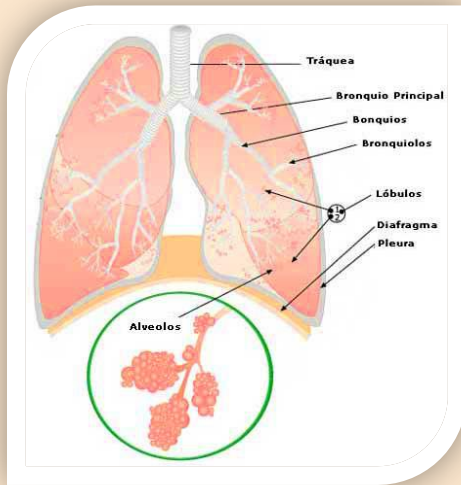
Tabla 2. Base de Diagnóstico

N° casos	Método	Porcentaje
217	Histología primario	48,8%
	Defunción	24,9%
	Clínica	14,7%
	Rx y otros	9,2%
	Citología	1,4%
	Histología metástasis	0,5%
	Cirugía	0,5%

Gráfico 2. Tendencia de la Incidencia y Mortalidad



PULMÓN



Se diagnosticaron un promedio anual de **121** casos nuevos de cáncer de pulmón, siendo el **61%** en hombres y **39%** mujeres. La tasa cruda de incidencia es de **6,9** en hombres y **3,75** en mujeres por cada 100.000 habitantes. La tasa cruda de mortalidad es de **6,95** en hombres y **4,24** en mujeres. Los grupos etarios con mayor afectación, en mujeres fueron en mayores de 75 años y hombres en mayores de 60 años. El **58%** de los casos fue con base de diagnóstico histológico. La tasa de incidencia del cáncer de pulmón incrementó en hombres de **5,1** en el año 2000 a **7,1** en el año 2009; en mujeres incrementa de **2,3** en el año 2000 a **4,0** en el año 2009; la mortalidad muestra ligero incremento en hombres de **7,3** en el año 2000 a **7,7** en el 2009 y en mujeres de **3,4** en el año 2000 a **3,9** en el año 2009.

Tabla 1. Síntesis de Incidencia y Mortalidad

	Incidencia		Mortalidad	
	Hombres	Mujeres	Hombres	Mujeres
Número de casos	221	136	245	154
% del total de casos	5,8%	2,5%	11,5%	6,7%
Tasa cruda	6,9	3,75	6,95	4,24
Tasa estandarizada	7,6	3,81	8,09	4,22

Tasa por 100.000 hab.

Gráfico 1. Distribución por Grupos de Edad y Sexo

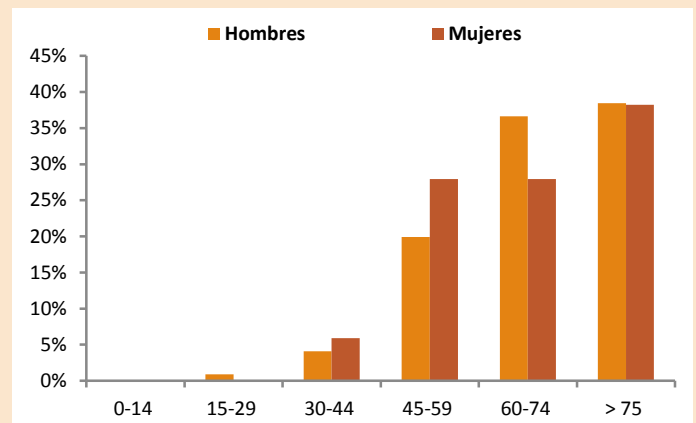
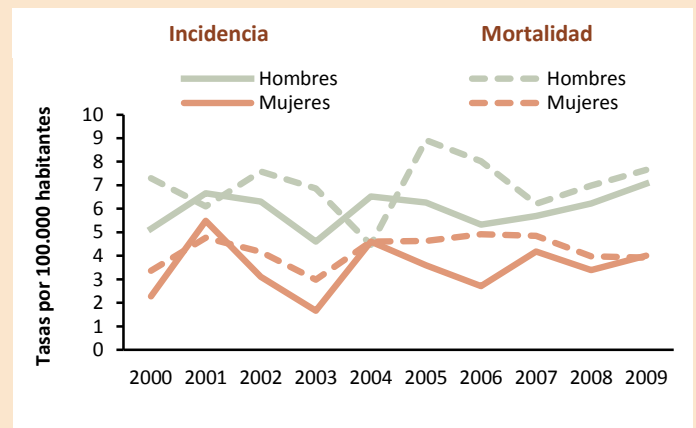


Tabla 2. Base de Diagnóstico

N° casos	Método	Porcentaje
357	Histología primario	57,1%
	Defunción	16,8%
	Rx y otros	13,2%
	Clínica	6,4%
	Citología	6,4%

Gráfico 2. Tendencia de la Incidencia y Mortalidad



MELANOMA



Se diagnosticaron un promedio anual de **15** casos nuevos de melanoma, siendo el **64%** en hombres y **36%** mujeres. La tasa cruda de incidencia es de **0,9** en hombres y **0,4** en mujeres por cada 100.000 habitantes. La tasa cruda de mortalidad es de **0,14** en hombres y **0,19** en mujeres. Los grupos etarios con mayor afectación en mujeres fueron de 45 a 59 años y en hombres mayores de 75 años. El **100%** de los casos fue con base histológica. Se observa un ligero incremento de la incidencia en hombres y la mortalidad de melanoma se mantiene estable tanto en hombres y mujeres.

Tabla 1. Síntesis de Incidencia y Mortalidad

	Incidencia		Mortalidad	
	Hombres	Mujeres	Hombres	Mujeres
Número de casos	29	16	5	7
% del total de casos	0,8%	0,3%	0,2%	0,3%
Tasa cruda	0,9	0,4	0,14	0,19
Tasa estandarizada	0,95	0,46	0,13	0,21

Tasa por 100.000 hab.

Gráfico 1. Distribución por Grupos de Edad y Sexo

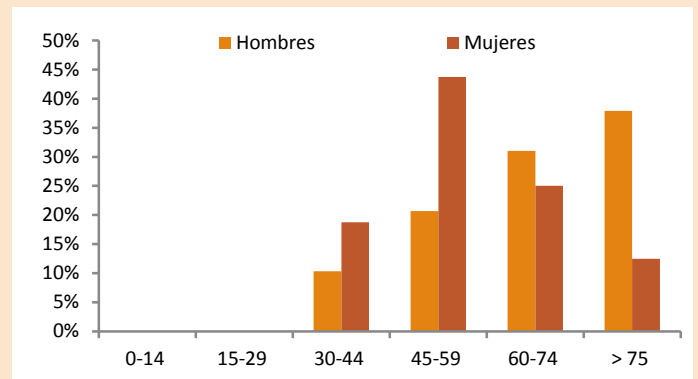
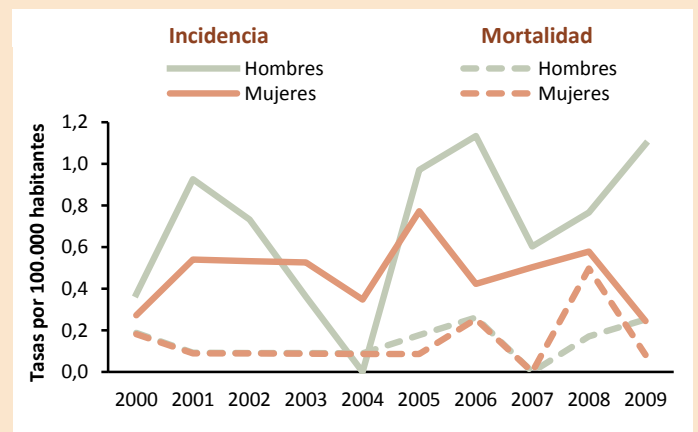


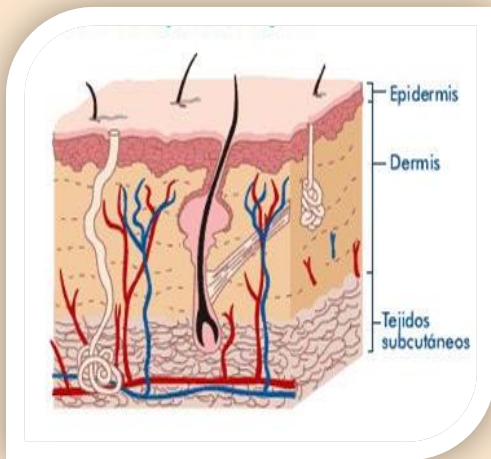
Tabla 2. Base de Diagnóstico

N° casos	Método	Porcentaje
45	Histología primario	100%

Gráfico 2. Tendencia de la Incidencia y Mortalidad



PIEL



Se diagnosticaron un promedio anual de **378** casos nuevos de cáncer de piel, siendo el **49%** en hombres y **51%** mujeres. La tasa cruda de incidencia es de **17,1** en hombres y **16,1** en mujeres por cada 100.000 habitantes. La tasa cruda de mortalidad es de **0,37** en hombres y **0,28** en mujeres. Los grupos etarios con mayor afectación tanto en mujeres y hombres fueron en mayores de 60 años. El **99%** de los casos fue con base de diagnóstico histológico. Se observa una tendencia creciente en la incidencia del cáncer de piel tanto en hombres como en mujeres.

Tabla 1. Síntesis de Incidencia y Mortalidad

	Incidencia		Mortalidad	
	Hombres	Mujeres	Hombres	Mujeres
Número de casos	550	584	13	10
% del total de casos	14,5%	10,8%	0,6%	0,4%
Tasa cruda	17,1	16,1	0,37	0,28
Tasa estandarizada	18,68	16,61	0,46	0,29

Tasa por 100.000 hab.

Gráfico 1. Distribución por Grupos de Edad y Sexo

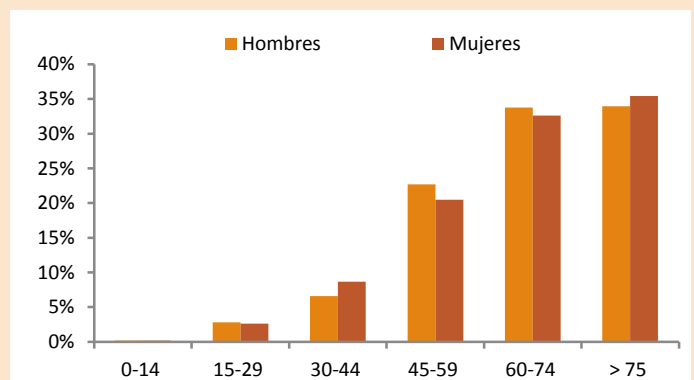
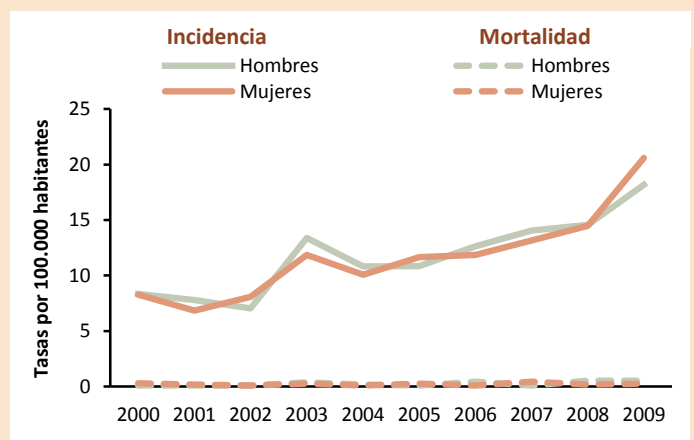


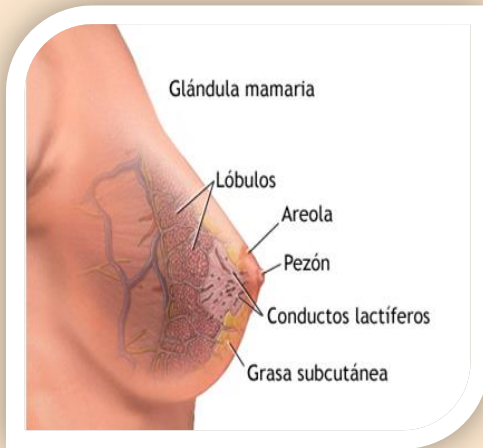
Tabla 2. Base de Diagnóstico

N° casos	Método	Porcentaje
1.134	Histología primario	99,2%
	Clínica	0,6%
	Defunción	0,2%

Gráfico 2. Tendencia de la Incidencia y Mortalidad



MAMA



Se diagnosticaron un promedio anual de **345** casos nuevos de cáncer de mama. La tasa cruda de incidencia es de **28,5** por cada 100.000 mujeres. La tasa cruda de mortalidad es **7,64**. El grupo etario con mayor afectación fue de 45 a 59 años. El **94%** de los casos fue con base de diagnóstico histológico. La tasa de incidencia del cáncer de mama incrementó de **20,0** en el año 2000 a **28,6** en el año 2009 así también como la mortalidad que incrementó de **7,1** en el año 2000 a **8,5** en el año 2009.

Tabla 1. Síntesis de Incidencia y Mortalidad

	Incidencia	Mortalidad
	Mujer	Mujer
Número de casos	1.034	277
% del total de casos	19,0%	12,0%
Tasa cruda	28,5	7,64
Tasa estandarizada	30,25	8,26

Tasa por 100.000 hab.

Gráfico 1. Distribución por Grupos de Edad

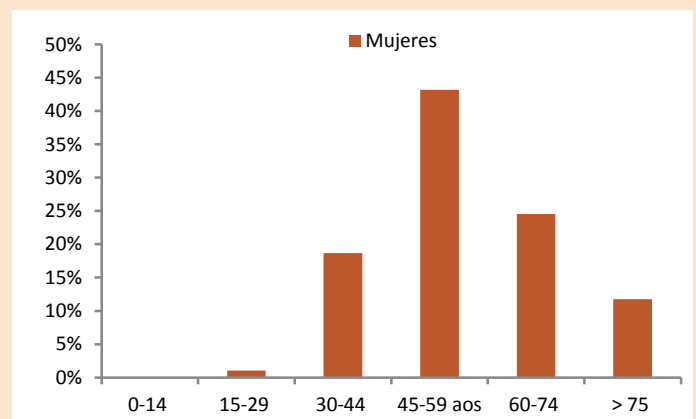
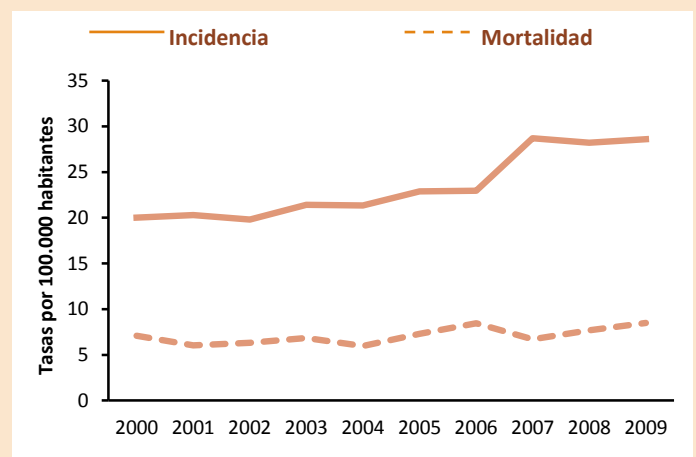


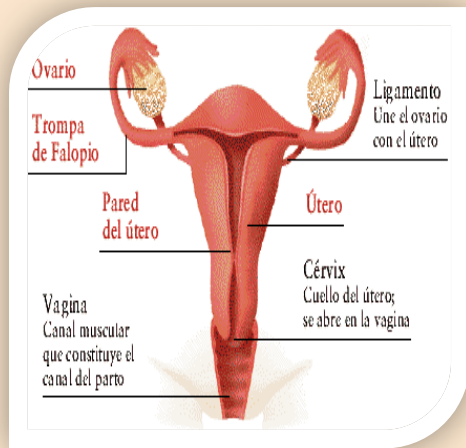
Tabla 2. Base de Diagnóstico

N° casos	Método	Porcentaje
1.034	Histología primario	93,8%
	Clínica	2,0%
	Rx y otros	1,9%
	Defunción	1,5%
	Citología	0,8%
	Cirugía	0,1%

Gráfico 2. Tendencia de la Incidencia y Mortalidad



CUELLO DEL ÚTERO INVASOR



Se diagnosticaron un promedio anual de **241** casos nuevos de cáncer de cuello del útero invasor, con una razón invasor/in situ de **1,56**, es decir por cada 1 caso de in situ se diagnostican 2 invasores. La tasa cruda de incidencia es de **20,0** por cada 100.000 mujeres y la tasa cruda de mortalidad es de **5,29**. El grupo etario con mayor afectación fue de 45 a 59 años. El **94%** de los casos fue con base de diagnóstico histológico. La tasa de incidencia del cáncer de cuello del útero invasor se mantiene estable; sin embargo, la tasa de mortalidad incrementó de **4,6** en el año 2000 a **6,2** en el año 2009.

Tabla 1. Síntesis de Incidencia y Mortalidad

	Incidencia	Mortalidad
Número de casos	718	192
% del total de casos	13,4%	8,3%
Tasa cruda	20,01	5,29
Tasa estandarizada	20,5	5,73

Tasa por 100.000 hab.

Gráfico 1. Distribución por Grupos de Edad

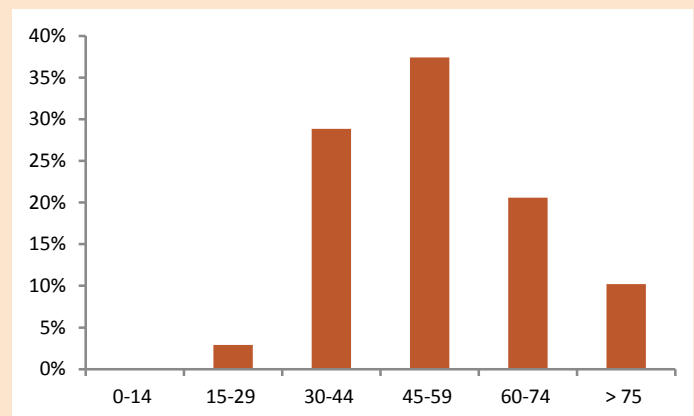
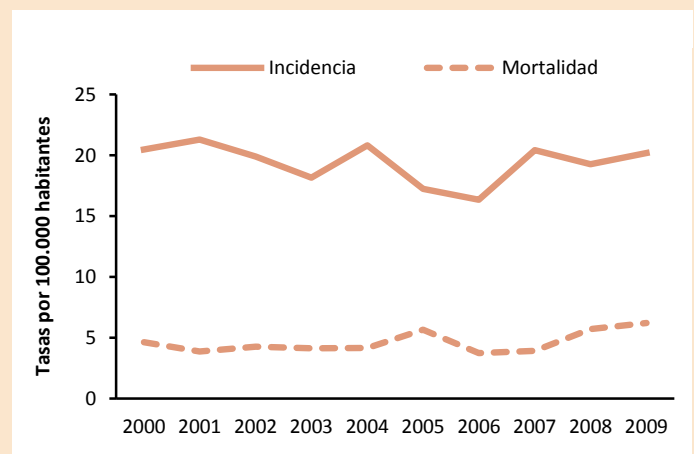


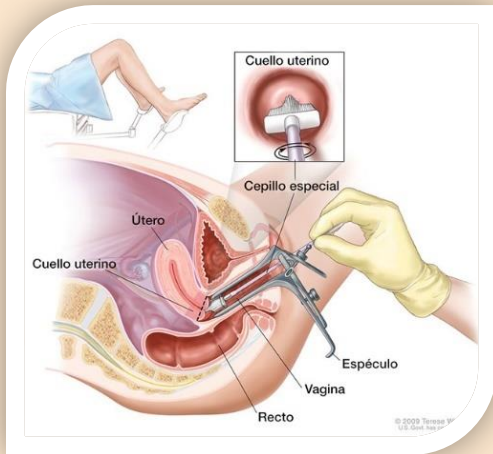
Tabla 2. Base de Diagnóstico

N° casos	Método	Porcentaje
718	Histología primario	94,0%
	Clínica	1,9%
	Citología	1,7%
	Defunción	1,5%
	Rx y otros	0,8%

Gráfico 2. Tendencia de la Incidencia y Mortalidad



CUELLO DEL ÚTERO IN SITU



Se diagnosticaron un promedio anual de **154** casos nuevos de cáncer de cuello del útero in situ. La tasa cruda de incidencia es de **12,7** por cada 100.000 mujeres. El grupo etario con mayor afectación fue de 30 a 44 años. El **99,6%** de los casos fue con base de diagnóstico histológico. Se observa una tendencia decreciente en la incidencia del cáncer de cuello del útero in situ, disminuye de **18,6** en el año 2000 a **12,2** en el año 2009.

Tabla 1. Síntesis de Incidencia

	Incendencia
Número de casos	462
% del total de casos	8,5%
Tasa cruda	12,7
Tasa estandarizada	12,08

Tasa por 100.000 hab.

Gráfico 1. Distribución por Grupos de Edad

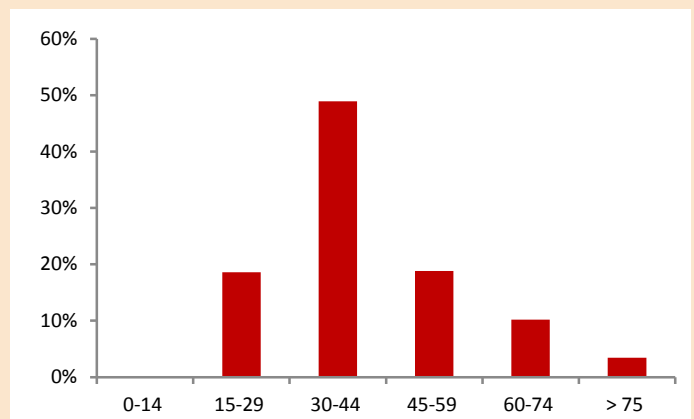
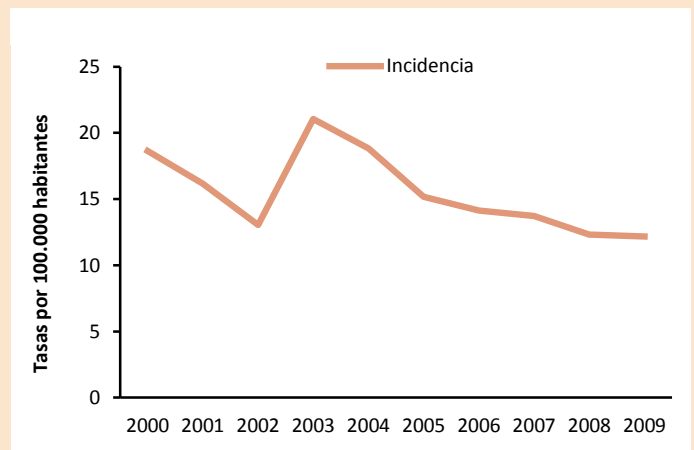


Tabla 2. Base de Diagnóstico

N° casos	Método	Porcentaje
462	Histología primario	99,6%
	Citología	0,4%

Gráfico 2. Tendencia de la Incidencia



OVARIO



Se diagnosticaron un promedio anual de **59** casos nuevos de cáncer de ovario. La tasa cruda de incidencia es de **4,9** por cada 100.000 mujeres y la tasa cruda de mortalidad es de **1,57**. El grupo etario con mayor afectación fue de 45 a 59 años. El **92%** de los casos fue con base de diagnóstico histológico. La tasa de incidencia de cáncer de ovario incrementó de **2,5** en el año 2000 a **5,1** en el año 2009, la mortalidad no muestra mayor variación.

Tabla 1. Síntesis de Incidencia y Mortalidad

	Incidencia	Mortalidad
Número de casos	175	57
% del total de casos	3,2%	2%
Tasa cruda	4,82	1,57
Tasa estandarizada	5,02	1,6

Tasa por 100.000 hab.

Gráfico 1. Distribución por Grupos de Edad

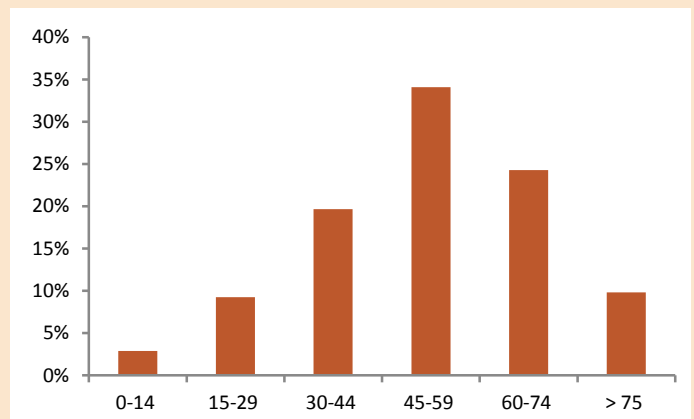
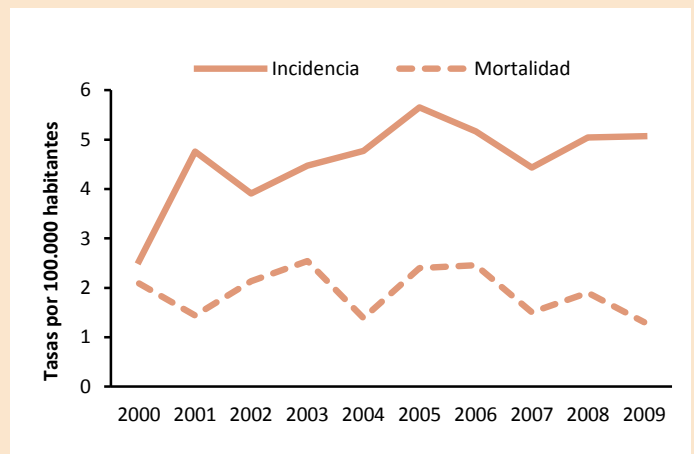


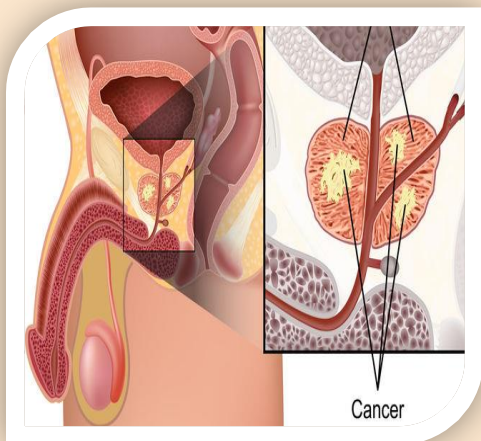
Tabla 2. Base de Diagnóstico

N° casos	Método	Porcentaje
175	Histología primario	91,5%
	Clínica	1,7%
	Rx y otros	3,4%
	Defunción	2,3%
	Citología	0,6%
	Cirugía	0,6%

Gráfico 2. Tendencia de la Incidencia y Mortalidad



PRÓSTATA



Se diagnosticaron un promedio anual de **263** casos nuevos de cáncer de próstata. La tasa cruda de incidencia es de **24,6** por 100.000 hombres y la tasa cruda de mortalidad es de **10,39**. Los grupos etarios con mayor afectación fueron de 60 a 74 años y mayores de 75 años. El **82%** de los casos fue con base de diagnóstico histológico. Se observa una tendencia creciente en la incidencia del cáncer de próstata, incrementando de **14,2** en el año 2000 a **24,2** en el año 2009; de igual manera la mortalidad muestra un ligero incremento de **8,9** en el año 2000 a **11,2** en el año 2009.

Tabla 1. Síntesis de Incidencia y Mortalidad

	Incidencia	Mortalidad
Número de casos	790	366
% del total de casos	20,9%	17,1%
Tasa cruda	24,6	10,39
Tasa estandarizada	27,7	11,85

Tasa por 100.000 hab.

Gráfico 1. Distribución por Grupos de Edad

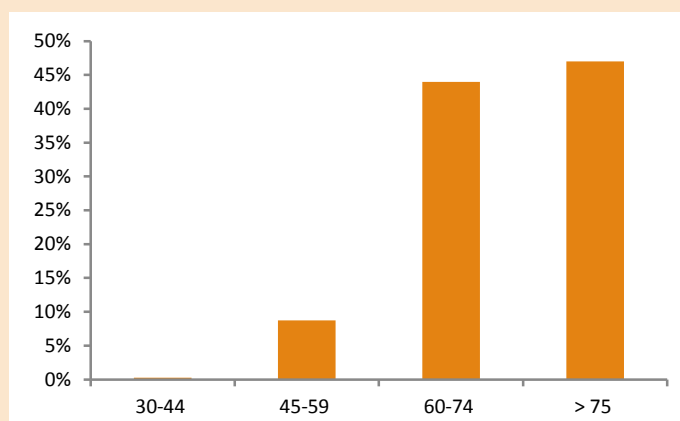
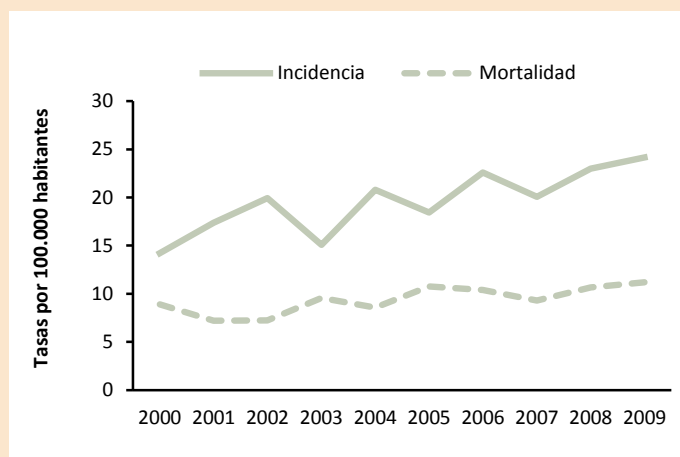


Tabla 2. Base de Diagnóstico

N° casos	Método	Porcentaje
790	Histología primario	81,6%
	Defunción	9,9%
	Rx y otros	4,3%
	Clínica	4,1%
	Histología metástasis	0,1%

Gráfico 2. Tendencia de la Incidencia y Mortalidad



ENCÉFALO



Se diagnosticaron un promedio anual de **80** casos nuevos de cáncer de encéfalo, siendo el **49%** en hombres y **51%** mujeres. La tasa cruda de incidencia es de **3,6** en hombres y **3,4** en mujeres por cada 100.000 habitantes. La tasa cruda de mortalidad es de **2,38** en hombres y **2,15** en mujeres. Los grupos etarios con mayor afectación tanto en mujeres y hombres fueron de 0 a 14 años. El **78%** de los casos fue con base de diagnóstico histológico. Se observa una tendencia creciente en la incidencia del cáncer de encéfalo tanto en hombres como en mujeres; de igual forma la mortalidad muestra un ligero incremento.

Tabla 1. Síntesis de Incidencia y Mortalidad

	Incidencia		Mortalidad	
	Hombres	Mujeres	Hombres	Mujeres
Número de casos	117	123	84	78
% del total de casos	3,1%	2,3%	3,9%	3,4%
Tasa cruda	3,6	3,4	2,38	2,15
Tasa estandarizada	6,04	3,48	2,72	2,27

Tasa por 100.000 hab.

Gráfico 1. Distribución por Grupos de Edad y Sexo

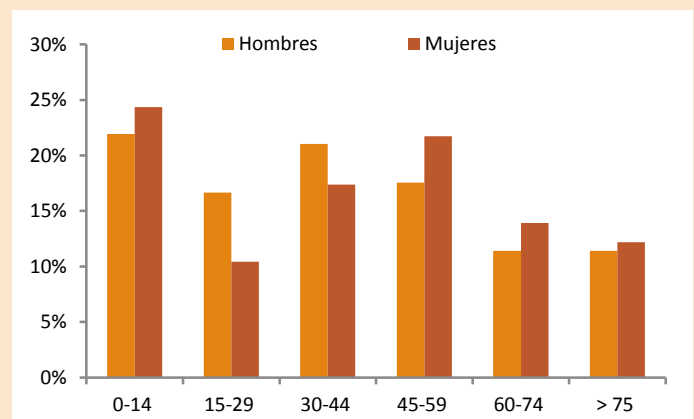
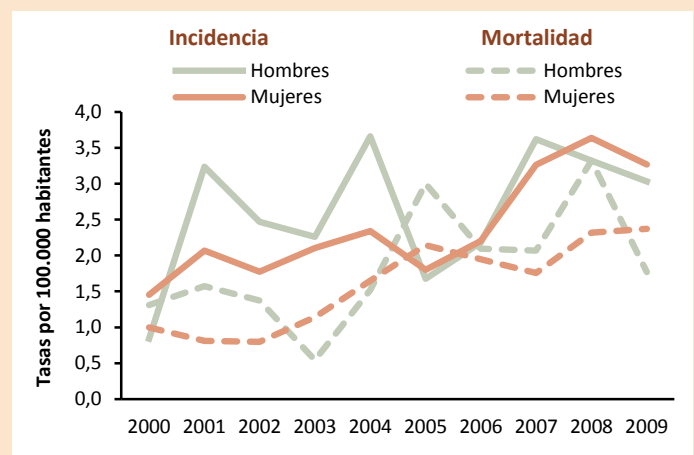


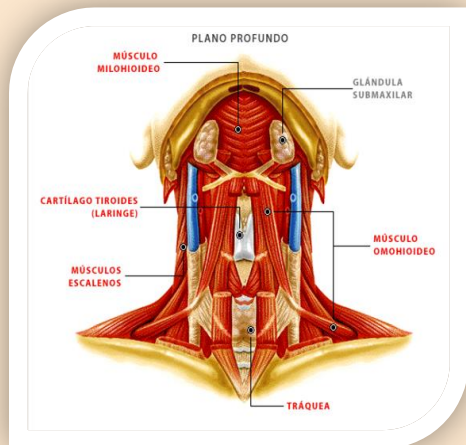
Tabla 2. Base de Diagnóstico

N° casos	Método	Porcentaje
240	Histología primario	77,9%
	Rx y otros	9,6%
	Defunción	6,7%
	Clínica	5,4%

Gráfico 2. Tendencia de la Incidencia y Mortalidad



TIROIDES



Se diagnosticaron un promedio anual de **77** casos nuevos de cáncer de tiroides, siendo el **22%** en hombres y **78%** mujeres. La tasa cruda de incidencia es de **1,6** en hombres y **5,0** en mujeres por cada 100.000 habitantes. La tasa cruda de mortalidad es de **0,26** en hombres y **0,63** en mujeres. Los grupos etarios con mayor afectación fueron en mujeres de 45 a 59 años y en hombres de 30 a 44 años. Se observa una tendencia creciente en la incidencia del cáncer de tiroides en mujeres, incrementó de **1,9** en el año 2000 a **5,6** en el año 2009; en hombres la incidencia se mantiene estable, siendo el mismo comportamiento de la mortalidad en hombres y en mujeres.

Tabla 1. Síntesis de Incidencia y Mortalidad

	Incidencia		Mortalidad	
	Hombres	Mujeres	Hombres	Mujeres
Número de casos	51	181	9	23
% del total de casos	1,3%	3,3%	0,4%	1,0%
Tasa cruda	1,6	5,0	0,26	0,63
Tasa estandarizada	1,5	5,0	0,31	0,66

Tasa por 100.000 hab.

Gráfico 1. Distribución por Grupos de Edad y Sexo

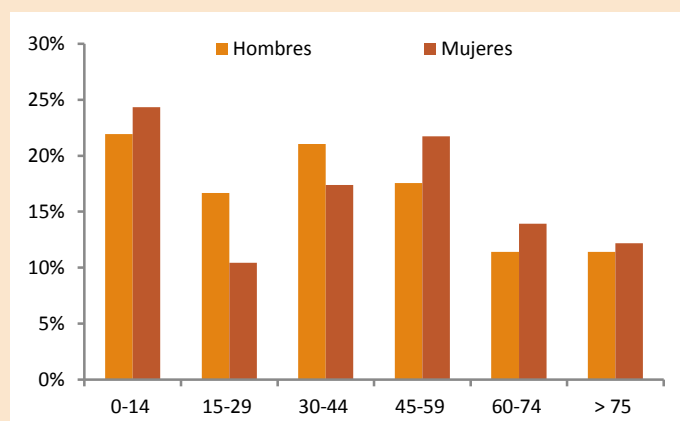
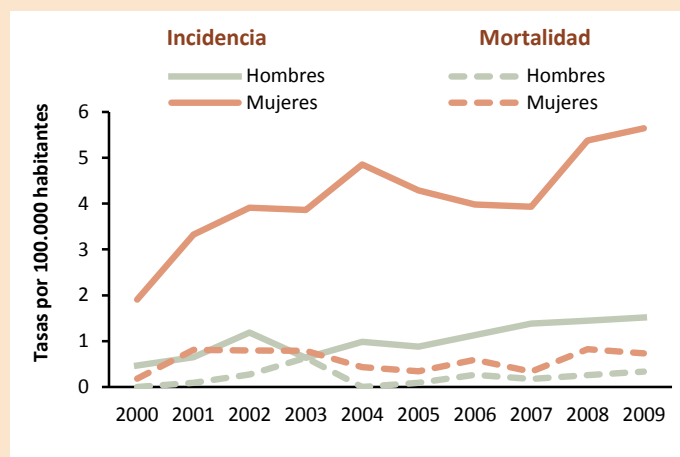


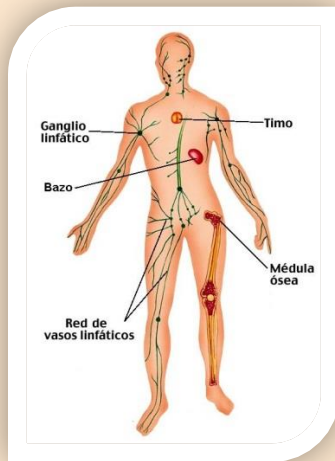
Tabla 2. Base de Diagnóstico

N° casos	Método	Porcentaje
232	Histología primario	95,7%
	Defunción	2,2%
	Rx y otros	0,9%
	Citología	0,9%
	Clínica	0,4%

Gráfico 2. Tendencia de la Incidencia y Mortalidad



LINFOMA NO HODGKIN



Se diagnosticaron un promedio anual de **158** casos nuevos de Linfoma no Hodgkin, siendo el **59%** en hombres y **41%** mujeres. La tasa cruda de incidencia es de **7,39** en hombres y **5,43** en mujeres por cada 100.000 habitantes. La tasa cruda de mortalidad es de **2,3** en hombres y **1,76** en mujeres. El grupo etario con mayor afectación tanto en mujeres y hombres fue de 60 a 74 años. El **97%** de los casos fue con base de diagnóstico histológico. Se observa un incremento en la tasa de incidencia en hombres de **4,5** en el año 2000 a **7,5** en el año 2009 y en mujeres incrementa de **4,3** en el año 2000 a **6,2** en el año 2009; la mortalidad no presenta mayor variación.

Tabla 1. Síntesis de Incidencia y Mortalidad

	Incidencia		Mortalidad	
	Hombres	Mujeres	Hombres	Mujeres
Número de casos	278	197	81	64
% del total de casos	3,4%	5,2%	3,8%	2,8%
Tasa cruda	7,39	5,43	2,3	1,76
Tasa estandarizada	8,9	5,78	2,75	1,87

Tasa por 100.000 hab.

Gráfico 1. Distribución por Grupos de Edad y Sexo

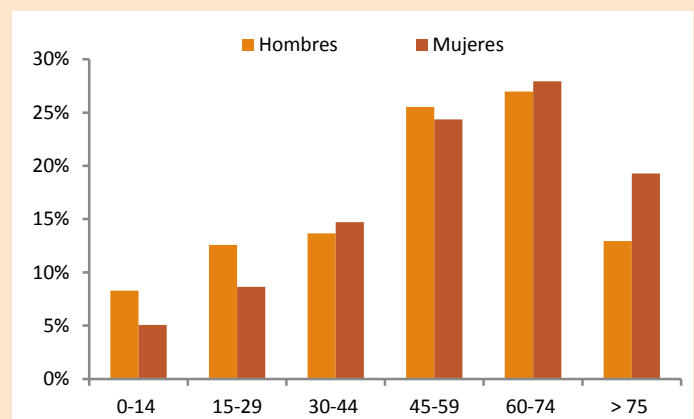
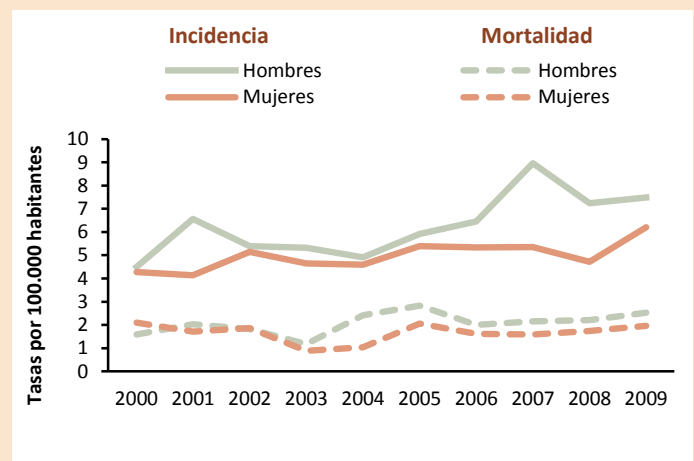


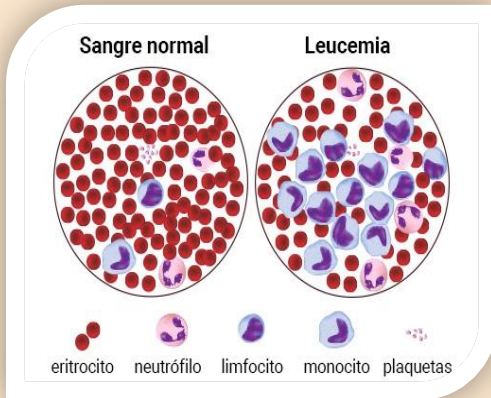
Tabla 2. Base de Diagnóstico

N° casos	Método	Porcentaje
475	Histología primario	97,1%
	Hematología	1,5%
	Defunción	0,2%
	Rx y otros	0,2%
	Citología	0,2%
	Clínica	0,8%

Gráfico 2. Tendencia de la Incidencia y Mortalidad



LEUCEMIAS



Se diagnosticaron un promedio anual de **112** casos nuevos de leucemia, siendo el **49%** en hombres y **51%** mujeres. La tasa cruda de incidencia es **4,71** en hombres y **4,69** en mujeres por cada 100.000 habitantes. La tasa cruda de mortalidad es **3,58** en hombres y **4,44** en mujeres. El grupo etario con mayor afectación tanto en mujeres y hombres fue de 0 a 14 años. El **65%** de los casos fue con base de diagnóstico hematológica y **16%** con base histológica. Se observa una tendencia creciente en la incidencia de leucemias, en hombres incrementó de **3,5** en el año 2000 a **6,9** en el año 2009 y en mujeres de **3,8** en el año 2000 a **7,1** en el año 2009; la mortalidad presenta un ligero aumento en mujeres de **2,3** en el 2000 a **3,2** en el 2009 y en hombres de **2,5** en el 2000 a **3,6** en el 2009.

Tabla 1. Síntesis de Incidencia y Mortalidad

	Incidencia		Mortalidad	
	Hombres	Mujeres	Hombres	Mujeres
Número de casos	166	170	126	129
% del total de casos	4,4%	3,1%	5,9%	5,6%
Tasa cruda	4,71	4,69	3,58	4,44
Tasa estandarizada	4,96	4,8	3,63	4,49

Tasa por 100.000 hab.

Gráfico 1. Distribución por Grupos de Edad y Sexo

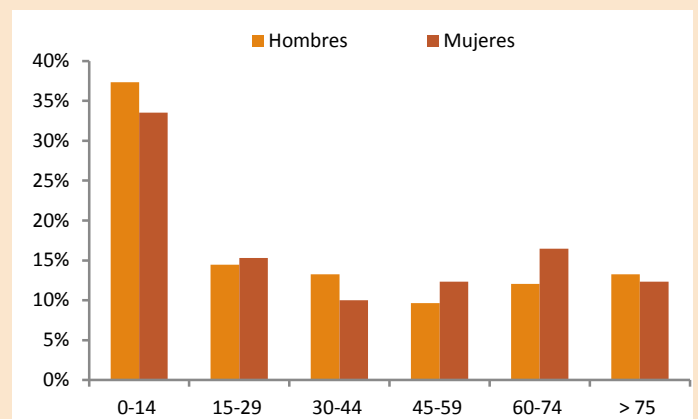
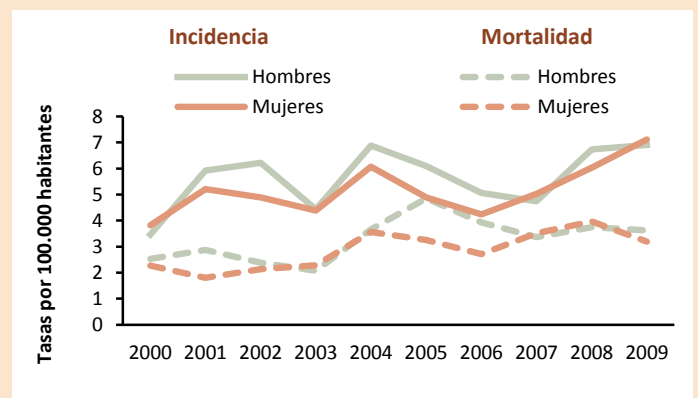


Tabla 2. Base de Diagnóstico

N° casos	Método	Porcentaje
336	Hematología	64,9%
	Histología de primario	16,1%
	Metástasis	15,8%
	Defunción	2,7%
	Clínica	0,6%

Gráfico 2. Tendencia de la Incidencia y Mortalidad



CÁNCER INFANTIL RESIDENTES EN LA CIUDAD DE GUAYAQUIL. 2007-2009

Cáncer infantil de 0 a 19 años

Se diagnosticaron un promedio anual de **136** casos nuevos de cáncer infantil, siendo el **53%** en niños y **47%** niñas. La tasa cruda de incidencia es de **158,7** en niños y **140,9** en niñas por cada 1.000.000 de habitantes de 0 a 19 años de edad. La tasa cruda de mortalidad es de **73,5** en niños y **46,7** en niñas. El grupo etario con mayor afectación tanto en niñas como en niños fue de 0 a 4 años con 30% y 33,9% respectivamente. Se observa una tendencia creciente en la incidencia de cáncer infantil en ambos sexos entre 0 a 19 años. En niños incrementó de **114,7** en el año 2000 a **153,3** en 2009 y en niñas en mayor proporción, de **73,7** en el 2000 a **171,5** en el 2009. La mortalidad por cáncer infantil presenta un ligero aumento en ambos sexos.

Tabla 1. Síntesis de Incidencia y Mortalidad

	Incidencia		Mortalidad	
	Niños	Niñas	Niños	Niñas
Número de casos	218	190	101	63
Promedio anual	72,7	63,3	33,7	21,0
Tasa de Incidencia	158,7	140,9	73,5	46,7

Tasa por 1.000.000 de habitantes

Gráfico 1. Distribución por Sexo.

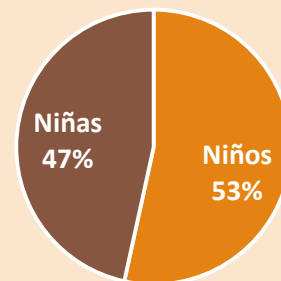


Gráfico 2. Distribución por Grupos Etarios y Sexo

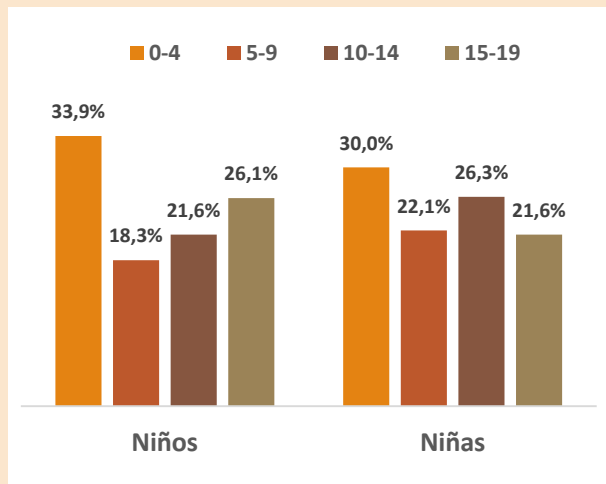
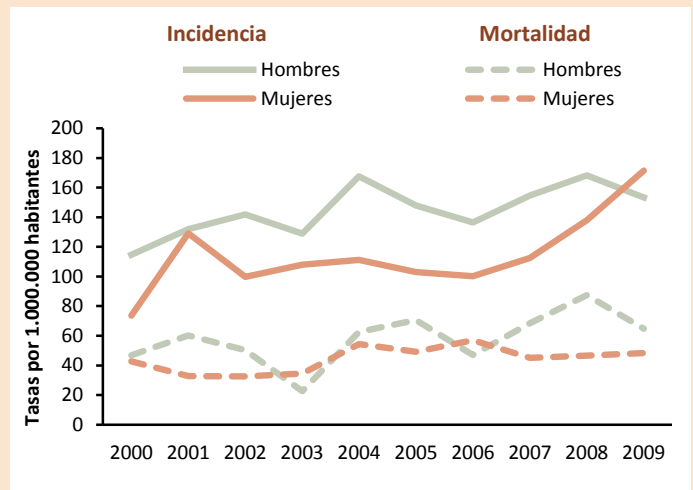


Gráfico 2. Tendencia de la Incidencia y Mortalidad



Cáncer infantil de 0 a 19 años

Gráfico 1. Cáncer infantil de 0 a 19 años según diagnóstico. Ambos sexos

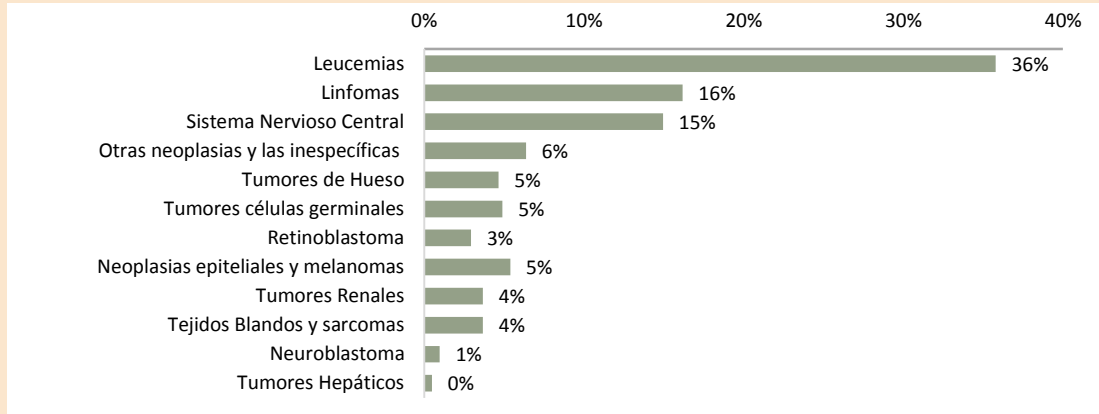


Gráfico 2. Cáncer infantil de 0 a 19 años según diagnóstico. Niños

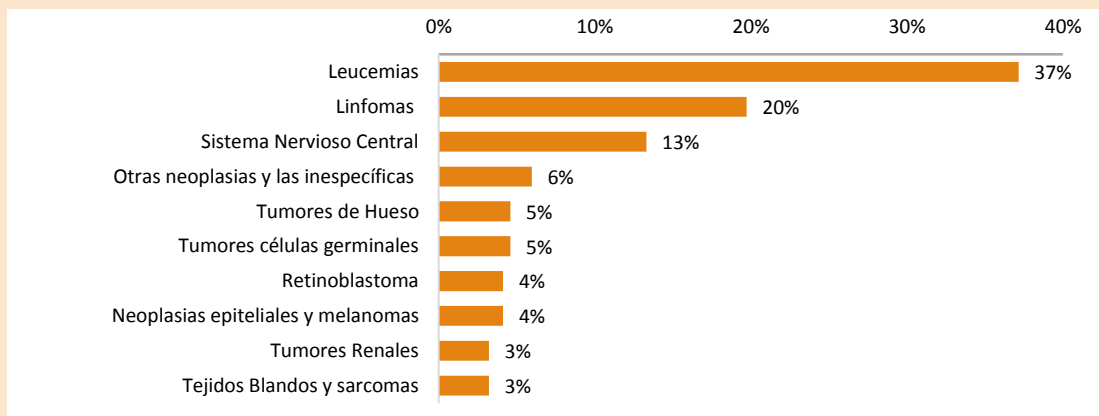
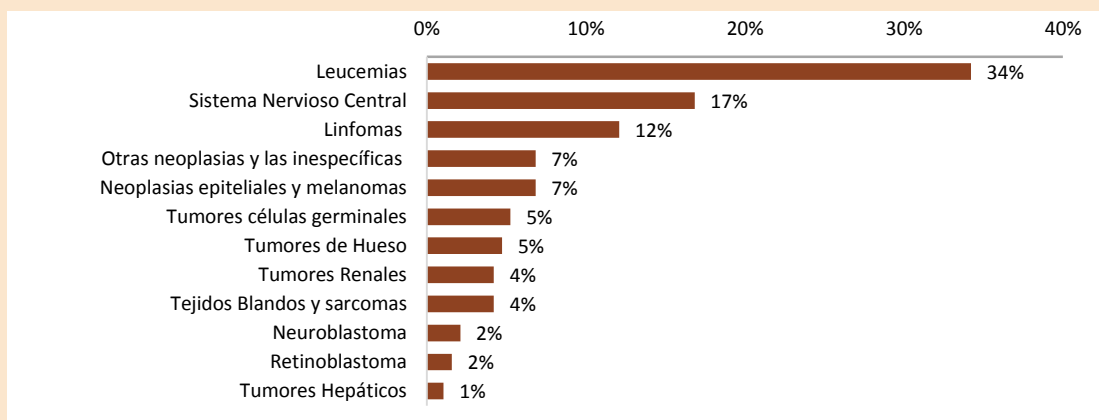


Gráfico 3. Cáncer infantil de 0 a 19 años según diagnóstico. Niñas



ANEXOS

TASAS DE INCIDENCIA DEL CÁNCER INFANTIL DE 0 A 19 AÑOS EN NIÑOS. RESIDENTES EN GUAYAQUIL. 2007-2009

GRUPO DIAGNÓSTICO	GRUPOS DE EDAD				CASOS	TASA CRUDA
	0-4	5-9	10-14	15-19		
I. Leucemias	95,8	43,4	44,6	52,3	81	59,0
II. Linfomas	34,8	20,3	30,7	40,0	43	31,3
III. Sistema Nervioso Central	20,3	23,2	19,5	21,5	29	21,1
V. Retinoblastoma	20,3	2,9	2,8	0,0	9	6,6
VI. Tumores Renales	17,4	2,9	0,0	0,0	7	5,1
VIII. Tumores de Hueso	0,0	8,7	11,2	9,2	10	7,3
IX. Tejidos Blandos y sarcomas	5,8	2,9	0,0	12,3	7	5,1
X. Tumores células germinales	8,7	0,0	2,8	18,5	10	7,3
XI. Neoplasias epiteliales y melanomas	0,0	2,9	5,6	18,5	9	6,6
XII. Otras neoplasias y las inespecíficas	8,7	11,6	14,0	3,1	13	9,5
TOTAL					218	158,7

Tasa por 1.000.000 habitantes

TASAS DE INCIDENCIA DEL CÁNCER INFANTIL DE 0 A 19 AÑOS EN NIÑAS. RESIDENTES EN GUAYAQUIL. 2007-2009

GRUPO DIAGNÓSTICO	GRUPOS DE EDAD				CASOS	TASA CRUDA
	0-4	5-9	10-14	15-19		
I. Leucemias	81,2	62,2	31,6	18,1	65	48,2
II. Linfomas	21,1	11,9	17,3	18,1	23	17,1
III. Sistema Nervioso Central	21,1	17,8	31,6	24,2	32	23,7
IV. Neuroblastoma	9,0	0,0	2,9	0,0	4	3,0
V. Retinoblastoma	6,0	3,0	0,0	0,0	3	2,2
VI. Tumores Renales	9,0	11,9	2,9	0,0	8	5,9
VII. Tumores Hepáticos	6,0	0,0	0,0	0,0	2	1,5
VIII. Tumores de Hueso	0,0	8,9	14,4	3,0	9	6,7
IX. Tejidos Blandos y sarcomas	0,0	3,0	14,4	6,0	8	5,9
X. Tumores células germinales	0,0	0,0	14,4	15,1	10	7,4
XI. Neoplasias epiteliales y melanomas	0,0	3,0	8,6	27,2	13	9,6
XII. Otras neoplasias y las inespecíficas	18,0	3,0	5,8	12,1	13	9,6
TOTAL					190	140,9

Tasa por 1.000.000 habitantes

TASAS DE INCIDENCIA DE RESIDENTES EN GUAYAQUIL SEGÚN GRUPOS DE EDAD POR 100.000. 2007-2009 HOMBRES

CIE-O	LOCALIZACIÓN TOPOGRÁFICA	GRUPOS DE EDAD																TOTAL CASOS	TASA CRUDA	TASA ESTÁNDAR
		0-4	5-9	10-14	15-19	20-24	25-29	30-34	35-39	40-44	45-49	50-54	55-59	60-64	65-69	70-74	>75			
172	MELANOMA	0,0	0,0	0,0	0,0	0,0	0,0	0,7	0,0	0,5	1,0	1,2	1,5	1,1	4,5	10,7	15,4	29	0,82	0,94
C00	LABIO	0,0	0,0	0,0	0,0	0,0	0,0	0,0	0,0	0,0	0,5	0,0	0,0	0,0	0,0	0,0	0,0	1	0,03	0,03
C01	BASE DE LA LENGUA	0,0	0,0	0,0	0,0	0,0	0,0	0,0	0,0	0,0	0,0	0,6	0,0	1,1	0,0	2,1	2,8	5	0,14	0,17
C02	OTRAS PARTES Y LAS NO ESPECIFICADAS DE LA LENGUA	0,0	0,0	0,0	0,0	0,0	0,7	0,0	0,8	0,0	0,5	0,6	2,2	0,0	3,0	2,1	4,2	15	0,43	0,46
C03	ENCÍA	0,0	0,0	0,0	0,0	0,0	0,0	0,0	0,0	0,0	0,5	0,0	0,0	0,0	0,0	0,0	2,8	3	0,09	0,09
C04	PISO DE LA BOCA	0,0	0,0	0,0	0,0	0,0	0,0	0,4	0,0	0,0	0,0	0,0	0,0	0,0	0,0	0,0	0,0	1	0,03	0,02
C05	PALADAR	0,0	0,0	0,0	0,0	0,0	0,0	0,0	0,4	0,5	0,5	0,6	0,0	0,0	1,5	0,0	0,0	5	0,14	0,15
C06	OTRAS PARTES Y LAS NO ESPECIFICADAS DE LA BOCA	0,0	0,0	0,0	0,0	0,0	0,0	0,4	0,0	0,0	0,0	0,6	0,0	2,2	0,0	0,0	1,4	5	0,14	0,17
C07	GLÁNDULA PARÓTIDA	0,0	0,0	0,0	0,0	0,0	0,0	0,0	0,0	0,0	0,5	0,0	0,7	1,1	0,0	4,3	1,4	6	0,17	0,22
C08	OTRAS GLÁNDULAS SALIVALES MAYORES Y LAS NO ESPECIFICADAS	0,0	0,0	0,0	0,0	0,0	0,0	0,0	0,0	0,0	0,0	0,0	0,0	0,0	1,5	2,1	0,0	2	0,06	0,08
C09	AMÍGDALA	0,0	0,0	0,0	0,0	0,0	0,3	0,0	0,0	0,0	0,5	1,2	2,2	4,3	3,0	0,0	1,4	14	0,4	0,50
C10	OROFARINGE	0,0	0,0	0,0	0,0	0,0	0,0	0,0	0,0	0,0	0,0	0,0	0,7	0,0	0,0	2,1	0,0	2	0,06	0,07
C11	NASOFARINGE	0,0	0,0	0,0	0,0	0,0	0,0	0,0	0,0	0,0	0,0	0,0	0,0	0,0	0,0	0,0	1,4	1	0,03	0,03
C12	SENO PIRIFORME	0,0	0,0	0,0	0,0	0,0	0,0	0,0	0,0	0,0	0,0	0,0	0,0	0,0	0,0	0,0	1,4	1	0,03	0,03
C13	HIPOFARINGE	0,0	0,0	0,0	0,0	0,0	0,0	0,0	0,0	0,0	0,0	0,0	0,0	0,0	1,5	2,1	1,4	3	0,09	0,11
C15	ESÓFAGO	0,0	0,0	0,0	0,0	0,0	0,0	0,0	0,4	1,4	1,0	2,4	0,7	2,2	6,0	12,9	9,8	30	0,85	1,04
C16	ESTÓMAGO	0,0	0,0	0,0	0,3	0,9	2,0	2,4	2,88	6,1	13,6	14,6	21,6	47,7	70,4	113,5	176,9	387	10,98	13,19
C17	INTESTINO DELGADO	0,0	0,0	0,0	0,0	0,3	0,0	0,7	0,4	1,4	0,0	0,6	4,5	1,1	7,5	8,6	4,2	27	0,77	0,88
C18	COLON	0,0	0,0	0,3	0,0	0,6	0,7	0,7	1,7	3,3	4,5	7,3	13,4	28,2	28,5	30,0	70,2	166	4,71	5,62
C19	UNIÓN RECTOSIGMOIDEA	0,0	0,0	0,0	0,0	0,0	0,0	0,0	0,0	0,0	0,5	0,0	0,7	3,3	3,0	4,3	4,2	12	0,34	0,45
C20	RECTO	0,0	0,0	0,0	0,0	0,0	0,3	0,4	0,4	0,9	3,0	4,9	3,7	8,7	13,5	10,7	21,1	61	1,73	2,08
C21	ANO Y CONDUCTO ANAL	0,0	0,0	0,0	0,0	0,0	0,0	0,4	0,4	0,5	0,0	0,0	0,0	2,2	4,5	0,0	4,2	11	0,31	0,37
C22	HÍGADO Y CONDUCTOS BILIARES	0,0	0,0	0,0	0,0	0,0	0,0	0,7	0,4	1,4	0,5	3,0	8,2	11,9	12,0	27,8	57,6	96	2,72	3,20
C23	VESÍCULA BILIAR	0,0	0,0	0,0	0,0	0,0	0,0	0,4	0,4	0,0	0,0	1,2	1,5	2,2	6,0	2,1	1,4	14	0,4	0,50

CIE-O	LOCALIZACIÓN TOPOGRÁFICA	GRUPOS DE EDAD																TOTAL CASOS	TASA CRUDA	TASA ESTÁNDAR
		0-4	5-9	10-14	15-19	20-24	25-29	30-34	35-39	40-44	45-49	50-54	55-59	60-64	65-69	70-74	>75			
C24	OTRAS PARTES Y LAS NO ESPECIFICADAS DE LAS VÍAS BILIARES	0,0	0,0	0,0	0,0	0,0	0,0	0,0	0,0	0,5	0,5	0,6	1,5	0,0	4,5	10,7	11,2	21	0,6	0,71
C25	PÁNCREAS	0,0	0,0	0,0	0,0	0,0	0,3	0,4	0,4	0,5	3,5	1,8	3,7	10,8	18,0	17,1	23,9	66	1,87	2,34
C26	OTROS SITIOS Y MAL DEFINIDOS DE LOS ÓRGANOS DIGESTIVOS	0,0	0,0	0,0	0,0	0,0	0,0	0,0	0,0	0,0	0,0	0,0	0,0	0,0	0,0	0,0	1,4	1	0,03	0,03
C30	CAVIDAD NASAL Y OÍDO MEDIO	0,0	0,0	0,0	0,0	0,0	0,0	0,0	0,8	0,5	0,5	0,0	0,0	0,0	1,5	0,0	0,0	5	0,14	0,15
C31	SENOS PARANASALES	0,0	0,0	0,0	0,0	0,0	0,0	0,0	0,0	0,0	0,5	0,6	0,0	1,1	0,0	0,0	1,4	4	0,11	0,13
C32	LARINGE	0,0	0,3	0,0	0,0	0,0	0,0	0,4	0,0	0,5	0,5	2,4	2,2	9,8	15,0	15,0	23,9	54	1,53	1,94
C33	TRÁQUEA	0,0	0,0	0,0	0,0	0,0	0,0	0,0	0,0	0,0	0,0	0,0	0,0	0,0	0,0	0,0	1,4	1	0,03	0,03
C34	BRONQUIOS Y PULMÓN	0,0	0,0	0,0	0,3	0,3	0,0	1,0	1,7	0,9	2,5	10,3	16,4	29,3	44,9	51,4	122,1	223	6,33	7,59
C38	CORAZÓN, MEDIASTINO Y PLEURA	0,3	0,0	0,3	0,6	0,6	0,3	0,4	0,0	0,5	1,5	0,0	0,7	3,3	1,5	0,0	0,0	17	0,48	0,54
C40	HUESOS, ARTICULACIONES Y CARTÍLAGOS ARTICULARES DE LOS MIEMBROS	0,3	0,3	0,6	1,2	0,3	0,7	0,4	0,0	0,0	1,0	0,6	0,7	2,2	0,0	0,0	0,0	18	0,51	0,52
C41	HUESOS, ARTICULACIONES Y CARTÍLAGOS ARTICULARES DE OTROS SITIOS Y DE LOS NO ESPECIFICADOS	0,0	0,6	0,3	0,0	0,0	0,0	0,4	0,4	0,0	0,0	0,0	2,2	0,0	0,0	2,1	0,0	9	0,26	0,26
C42	SISTEMA HEMATOPOYÉTICO Y RETICULOENDOTELIAL	8,1	4,6	5,3	5,5	0,9	1,6	2,8	3,3	4,7	3,0	5,5	11,2	17,3	16,5	25,7	44,9	216	6,13	6,77
C44	PIEL	0,3	0,3	0,0	0,9	1,3	2,6	3,8	6,6	5,6	13,6	27,3	39,5	57,4	91,4	152,1	258,3	550	15,61	18,43
C48	PERITONEO Y RETROPERITONEO	0,0	0,0	0,0	0,3	0,0	0,0	0,0	1,2	0,5	0,5	1,2	3,7	2,2	1,5	0,0	1,4	17	0,48	0,53
C49	TEJIDO CONJUNTIVO, SUBCUTÁNEO Y DE OTROS TEJIDOS BLANDOS	0,0	0,6	0,3	0,9	1,3	2,9	2,4	0,4	1,9	2,0	4,9	4,5	5,4	4,5	2,1	8,4	64	1,82	1,88
C50	MAMA	0,0	0,0	0,0	0,0	0,0	0,0	0,0	0,0	0,0	0,0	1,2	0,7	0,0	1,5	0,0	1,4	5	0,14	0,16
C60	PENE	0,0	0,0	0,0	0,0	0,3	0,0	0,4	0,0	1,4	1,0	3,0	5,2	3,3	0,0	4,3	12,6	33	0,94	1,01
C61	GLÁNDULA PROSTÁTICA	0,0	0,0	0,0	0,0	0,0	0,0	0,0	0,0	0,9	3,5	13,9	28,3	91,0	185,7	302,0	520,8	790	22,42	27,76
C62	TESTÍCULOS	1,5	0,0	0,3	0,9	4,4	3,3	4,2	2,5	2,3	1,5	1,2	0,7	0,0	1,5	2,1	4,2	67	1,9	1,77
C63	OTROS ÓRGANOS GENITALES MASCULINOS Y LOS NO ESPECIFICADOS	0,0	0,0	0,0	0,0	0,0	0,0	0,0	0,4	0,0	0,0	0,0	0,0	0,0	1,5	0,0	1,4	3	0,09	0,09
C64	RIÑÓN	1,7	0,6	0,0	0,0	0,0	0,0	0,7	2,5	2,8	2,0	8,5	14,9	18,4	13,5	21,4	29,5	117	3,32	3,93
C65	PELVIS RENAL	0,0	0,0	0,0	0,0	0,0	0,0	0,0	0,0	0,0	0,0	0,0	0,0	1,1	0,0	0,0	0,0	1	0,03	0,04
C67	VEJIGA URINARIA	0,3	0,0	0,0	0,0	0,0	0,0	0,4	1,7	0,5	2,0	3,0	8,2	13,0	16,5	19,3	50,5	95	2,7	3,19

CIE-O	LOCALIZACIÓN TOPOGRÁFICA	GRUPOS DE EDAD																TOTAL CASOS	TASA CRUDA	TASA ESTÁNDAR
		0-4	5-9	10-14	15-19	20-24	25-29	30-34	35-39	40-44	45-49	50-54	55-59	60-64	65-69	70-74	>75			
C69	OJO Y ANEXOS	2,3	0,6	0,3	0,0	0,0	0,0	0,0	0,4	0,5	1,0	0,6	0,7	1,1	4,5	2,1	7,0	27	0,77	0,89
C71	ENCÉFALO	1,7	2,6	3,1	2,5	1,3	2,3	3,5	2,5	3,7	1,5	7,3	4,5	4,3	3,0	15,0	19,7	117	3,32	3,41
C72	MÉDULA ESPINAL, NERVIOS CRANEALES Y DE OTRAS PARTES DEL SISTEMA NERVIOSO CENTRAL	0,6	0,0	0,0	0,3	0,0	0,3	0,0	0,0	0,9	0,0	1,8	0,0	0,0	0,0	0,0	0,0	9	0,26	0,28
C73	GLÁNDULA TIROIDES	0,0	0,0	0,3	0,3	0,3	0,7	1,4	1,7	3,7	2,0	3,0	2,2	3,3	7,5	2,1	12,6	51	1,45	1,53
C75	OTRAS GLÁNDULAS ENDÓCRINAS Y ESTRUCTURAS AFINES	0,0	0,0	0,0	0,3	0,0	0,0	0,0	0,0	0,0	0,0	0,0	0,0	0,0	0,0	0,0	0,0	1	0,03	0,03
C76	SITIOS MAL DEFINIDOS Y OTROS	0,0	0,0	0,0	0,0	0,0	0,0	0,4	0,0	0,0	1,0	1,2	0,0	1,1	1,5	0,0	2,8	9	0,26	0,28
C77	GANGLIOS LINFÁTICOS	1,7	1,5	1,7	4,0	2,2	2,6	3,5	3,7	3,3	7,6	7,3	14,2	22,8	19,5	47,1	26,7	192	5,45	6,22
C80	SITIO PRIMARIO DESCONOCIDO	0,0	0,0	0,0	0,3	0,0	0,7	0,4	1,7	1,4	3,0	6,1	8,9	11,9	15,0	36,4	36,5	103	2,92	3,51
TODOS LOS SITIOS - NUM. CASOS		65	41	45	61	48	68	96	97	114	165	251	318	394	425	450	1.145	3.783		
TODOS LOS SITIOS - TASA CRUDA		18,87	11,87	12,56	18,76	14,99	22,08	33,16	39,96	53,11	83,19	152,14	236,87	426,97	636,44	963,80	1.607,18		107,38	
TODOS LOS SITIOS - TASA ESTÁNDAR		2,25	1,19	1,17	1,70	1,19	1,78	1,99	2,35	3,21	4,97	7,57	9,51	17,08	18,99	19,25	32,15			126,35
TODOS LOS SITIOS MENOS C44 - NUM. CASOS		64	40	45	58	44	60	85	81	102	138	206	265	341	364	379	961	3233		
TODOS LOS SITIOS MENOS C44 - TASA CRUDA		18,58	12,56	17,84	13,74	19,48	29,36	33,37	47,52	69,58	11,58	124,87	197,39	369,53	545,09	811,74	1.348,9		91,77	
TODOS LOS SITIOS MENOS C44 - TASA ESTÁNDAR		2,22	1,17	1,62	1,09	1,57	1,76	1,95	2,87	4,15	1,16	6,21	7,93	14,78	16,25	16,21	26,98			107,92

TASAS DE INCIDENCIA DE RESIDENTES EN GUAYAQUIL SEGÚN GRUPOS DE EDAD POR 100.000. 2007-2009 MUJERES

CIE-O	LOCALIZACIÓN TOPOGRÁFICA	GRUPOS DE EDAD																TOTAL CASOS	TASA CRUDA	TASA ESTÁNDAR
		0-4	5-9	10-14	15-19	20-24	25-29	30-34	35-39	40-44	45-49	50-54	55-59	60-64	65-69	70-74	>75			
172	MELANOMA	0,0	0,0	0,0	0,0	0,0	0,0	0,0	0,4	0,9	1,9	0,6	1,4	0,0	0,0	7,2	2,1	16	0,44	0,45
233	CARCINOMA IN SITU	0,0	0,0	0,0	0,0	3,1	23,7	26,9	28,6	33,3	16,9	18,3	13,3	18,7	22,2	19,7	16,8	462	12,73	12,08
C00	LABIO	0,0	0,0	0,0	0,0	0,0	0,3	0,0	0,0	0,0	0,0	0,0	0,7	1,0	0,0	0,0	0,0	3	0,08	0,10
C01	BASE DE LA LENGUA	0,0	0,0	0,0	0,0	0,6	0,0	0,3	0,8	0,0	0,5	1,2	0,7	1,0	2,6	3,6	3,2	17	0,47	0,49
C02	OTRAS PARTES Y LAS NO ESPECIFICADAS DE LA LENGUA	0,0	0,0	0,0	0,0	0,0	0,0	0,0	0,0	0,0	0,5	0,0	0,0	1,0	1,3	0,0	1,1	4	0,11	0,13
C03	ENCÍA	0,0	0,0	0,0	0,0	0,0	0,0	0,0	0,0	0,0	0,0	0,0	0,0	1,0	0,0	0,0	0,0	1	0,03	0,04
C04	PISO DE LA BOCA	0,0	0,0	0,0	0,0	0,0	0,3	0,0	0,0	0,0	0,0	0,0	0,7	1,0	0,0	0,0	0,0	3	0,08	0,10
C05	PALADAR	0,0	0,0	0,0	0,0	0,0	0,0	0,0	0,4	0,0	0,5	0,0	0,0	0,0	0,0	1,8	0,0	3	0,08	0,09
C06	OTRAS PARTES Y LAS NO ESPECIFICADAS DE LA BOCA	0,0	0,0	0,0	0,0	0,0	0,0	0,0	0,0	0,0	0,0	0,6	0,7	0,0	1,3	0,0	0,0	3	0,08	0,10
C07	GLÁNDULA PAROTIDA	0,0	0,0	0,0	0,0	0,0	0,0	0,0	0,4	0,0	0,0	0,0	0,7	1,0	0,0	1,8	2,1	6	0,17	0,17
C08	OTRAS GLÁNDULAS SALIVALES MAYORES Y LAS NO ESPECIFICADAS	0,0	0,0	0,0	0,0	0,0	0,0	0,0	0,0	0,0	0,0	0,6	0,7	0,0	1,3	0,0	1,1	4	0,11	0,12
C09	AMÍGDALA	0,0	0,0	0,0	0,0	0,0	0,0	0,0	0,0	0,4	0,5	0,6	1,4	1,0	0,0	0,0	1,1	7	0,19	0,21
C10	OROFARINGE	0,0	0,0	0,0	0,3	0,0	0,0	0,0	0,0	0,0	0,0	0,0	0,0	0,0	0,0	0,0	0,0	1	0,03	0,03
C11	NASOFARINGE	0,0	0,0	0,0	0,0	0,0	0,0	0,3	0,4	0,0	0,0	0,6	0,0	0,0	0,0	0,0	0,0	3	0,08	0,07
C12	SENO PIRIFORME	0,0	0,0	0,0	0,0	0,0	0,0	0,0	0,0	0,0	0,5	0,0	0,0	0,0	0,0	0,0	0,0	1	0,03	0,03
C15	ESÓFAGO	0,0	0,0	0,0	0,0	0,0	0,3	0,0	0,0	0,9	0,5	0,6	1,4	3,0	1,3	1,8	6,3	18	0,5	0,53
C16	ESTÓMAGO	0,0	0,0	0,3	0,6	0,3	2,2	3,7	7,9	6,7	11,3	11,5	11,2	20,6	28,7	55,4	121,7	307	8,46	8,31
C17	INTESTINO DELGADO	0,0	0,0	0,0	0,0	0,3	0,0	0,0	0,40	0,9	0,0	1,2	0,0	2,0	1,3	0,0	9,4	18	0,5	0,46
C18	COLON	0,0	0,0	0,0	0,0	0,0	1,3	0,3	3,6	4,4	4,7	9,7	11,9	24,6	19,6	30,4	76,6	198	5,46	5,55
C19	UNIÓN RECTOSIGMOIDEA	0,0	0,0	0,0	0,0	0,0	0,0	0,0	0,0	0,9	0,5	0,0	0,7	4,9	1,3	1,8	3,2	14	0,39	0,45
C20	RECTO	0,0	0,0	0,0	0,0	0,0	0,3	0,3	0,8	4,4	0,9	7,4	11,9	3,0	5,2	16,1	27,3	88	2,43	2,42
C21	ANO Y CONDUCTO ANAL	0,0	0,0	0,0	0,0	0,0	0,0	0,7	0,4	0,0	0,5	2,9	3,5	3,9	9,1	8,9	6,3	36	0,99	1,11
C22	HÍGADO Y CONDUCTOS BILIARES	0,9	0,0	0,0	0,0	0,6	0,3	0,3	0,8	2,2	0,5	3,4	9,1	8,8	17,0	23,3	54,6	121	3,34	3,36
C23	VESÍCULA BILIAR	0,0	0,0	0,0	0,0	0,3	0,0	0,0	0,8	0,0	3,3	4,6	2,8	6,9	11,8	7,2	18,9	60	1,65	1,76

CIE-O	LOCALIZACIÓN TOPOGRÁFICA	GRUPOS DE EDAD																TOTAL CASOS	TASA CRUDA	TASA ESTÁNDAR
		0-4	5-9	10-14	15-19	20-24	25-29	30-34	35-39	40-44	45-49	50-54	55-59	60-64	65-69	70-74	>75			
C24	OTRAS PARTES Y LAS NO ESPECIFICADAS DE LAS VÍAS BILIARES	0,0	0,0	0,0	0,0	0,0	0,0	0,0	0,0	0,4	0,0	0,0	2,1	2,0	5,2	5,4	8,4	21	0,58	0,63
C25	PÁNCREAS	0,0	0,0	0,0	0,0	0,3	0,0	0,3	0,0	1,3	1,9	3,4	0,7	5,9	10,5	19,7	35,7	75	2,07	2,08
C30	CAVIDAD NASAL Y OÍDO MEDIO	0,3	0,0	0,3	0,0	0,0	0,3	0,0	0,0	0,0	0,0	0,6	0,0	0,0	0,0	0,0	2,1	6	0,17	0,17
C31	SENOS PARANASALES	0,0	0,0	0,0	0,3	0,3	0,0	0,0	0,0	0,0	0,0	0,0	1,4	0,0	0,0	0,0	2,1	6	0,17	0,15
C32	LARINGE	0,0	0,0	0,0	0,0	0,0	0,0	0,3	0,0	0,4	0,0	0,0	0,0	1,0	1,3	1,8	4,2	9	0,25	0,25
C34	BRONQUIOS Y PULMÓN	0,0	0,0	0,0	0,0	0,0	0,0	0,3	1,2	1,8	3,3	8,6	10,5	12,8	14,4	30,4	56,7	140	3,86	3,93
C37	TIMO	0,0	0,0	0,0	0,0	0,0	0,0	0,0	0,0	0,0	0,0	0,6	0,0	0,0	0,0	1,8	0,0	2	0,06	0,07
C38	CORAZÓN, MEDIASTINO Y PLEURA	0,6	0,0	0,0	0,0	0,3	0,0	0,0	0,0	0,0	0,0	0,0	0,7	0,0	2,6	3,6	1,1	9	0,25	0,29
C40	HUESOS, ARTICULACIONES Y CARTÍLAGOS ARTICULARES DE LOS MIEMBROS	0,0	0,9	1,4	0,6	0,6	0,6	0,3	0,4	0,0	2,4	1,2	0,7	0,0	1,3	0,0	0,0	25	0,69	0,68
C41	HUESOS, ARTICULACIONES Y CARTÍLAGOS ARTICULARES DE OTROS SITIOS Y DE LOS NO ESPECIFICADOS	0,0	0,0	0,3	0,0	0,0	0,0	0,3	0,0	0,0	0,0	1,2	0,0	1,0	0,0	0,0	2,1	7	0,19	0,19
C42	SISTEMA HEMATOPOYÉTICO Y RETICULOENDOTELIAL	8,4	6,5	2,9	3,0	2,1	3,5	2,7	2,8	4,9	4,7	6,9	4,9	15,7	14,4	30,4	34,6	220	6,06	6,44
C44	PIEL	0,0	0,6	0,3	0,6	1,2	2,9	2,7	7,1	11,1	16,4	20,6	33,5	56,0	75,7	135,9	215,1	584	16,1	16,62
C48	PERITONEO Y RETROPERITONEO	0,0	0,0	0,6	0,0	0,0	0,0	0,3	0,4	0,0	0,0	2,9	1,4	1,0	0,0	0,0	3,2	15	0,41	0,39
C49	TEJIDO CONJUNTIVO, SUBCUTÁNEO Y DE OTROS TEJIDOS BLANDOS	0,0	0,3	0,3	0,3	0,6	0,6	1,0	0,4	1,3	2,4	1,7	0,7	6,9	2,6	3,6	11,5	45	1,24	1,27
C50	MAMA	0,0	0,0	0,0	0,0	0,6	3,2	9,4	21,4	50,1	69,0	85,9	106,0	113,0	111,0	100,2	128,0	1.034	28,5	30,25
C51	VULVA	0,0	0,0	0,0	0,0	0,0	0,0	0,3	0,4	0,4	0,5	0,0	1,4	2,0	1,3	1,8	11,5	21	0,58	0,55
C52	VAGINA	0,0	0,0	0,0	0,0	0,0	0,3	0,0	0,8	0,0	0,0	1,2	0,0	2,0	2,6	0,0	1,1	10	0,28	0,32
C53	CUELLO UTERINO	0,0	0,0	0,0	0,0	0,3	6,3	15,5	27,8	41,3	49,3	53,3	50,2	65,8	64,0	60,8	77,6	724	19,96	20,56
C54	CUERPO UTERINO	0,0	0,0	0,0	0,0	0,0	0,0	1,4	2,4	5,3	8,5	8,0	17,4	23,6	31,3	30,4	24,1	167	4,6	5,12
C55	ÚTERO	0,0	0,0	0,0	0,0	0,0	0,6	0,0	0,0	0,0	0,5	0,6	0,0	1,0	0,0	1,8	9,4	15	0,41	0,38
C56	OVARIO	0,0	0,0	1,4	1,2	1,5	2,5	3,7	4,8	5,3	8,0	14,9	11,2	16,7	15,7	23,3	17,8	175	4,82	5,02
C57	OTROS ÓRGANOS GENITALES FEMENINOS Y LOS NO ESPECIFICADOS	0,0	0,0	0,0	0,0	0,3	0,0	0,0	0,0	0,0	0,0	0,0	0,0	0,0	0,0	0,0	0,0	1	0,03	0,02
C58	PLACENTA	0,0	0,0	0,0	0,3	0,0	0,0	0,0	0,0	0,0	0,0	0,0	0,0	0,0	0,0	0,0	0,0	1	0,03	0,03

IE-O	LOCALIZACIÓN TOPOGRÁFICA	GRUPOS DE EDAD																TOTAL CASOS	TASA CRUDA	TASA ESTÁNDAR
		0-4	5-9	10-14	15-19	20-24	25-29	30-34	35-39	40-44	45-49	50-54	55-59	60-64	65-69	70-74	>75			
C64	RIÑÓN	0,9	1,2	0,3	0,3	0,6	0,6	0,0	0,8	0,9	1,4	5,7	5,6	8,8	11,8	10,7	17,8	79	2,18	2,35
C65	PELVIS RENAL	0,0	0,0	0,0	0,0	0,0	0,0	0,0	0,0	0,0	0,0	0,0	0,7	0,0	0,0	0,0	0,0	1	0,03	0,03
C67	VEJIGA URINARIA	0,0	0,0	0,0	0,0	0,0	0,0	0,0	0,0	0,0	0,5	1,7	2,8	2,0	3,9	5,4	9,4	25	0,69	0,73
C68	OTROS ÓRGANOS URINARIOS Y LOS NO ESPECIFICADOS	0,0	0,0	0,0	0,0	0,0	0,0	0,0	0,0	0,0	0,0	0,0	0,0	0,0	0,0	0,0	2,1	2	0,06	0,04
C69	OJO Y ANEXOS	0,6	0,3	0,0	0,0	0,0	0,0	0,0	0,0	0,4	0,9	0,6	0,0	0,0	0,0	0,0	1,1	8	0,22	0,24
C70	MENINGES	0,0	0,0	0,0	0,3	0,0	0,0	0,0	0,0	0,0	0,0	0,0	0,0	0,0	0,0	0,0	0,0	1	0,03	0,03
C71	ENCÉFALO	3,3	1,8	3,7	1,8	0,9	1,0	2,0	4,0	3,1	2,4	6,3	7,0	3,0	9,1	12,5	15,7	123	3,39	3,47
C72	MÉDULA ESPINAL, NERVIOS CRANEALES Y DE OTRAS PARTES DEL SISTEMA NERVIOSO CENTRAL	0,3	0,0	0,0	0,3	0,0	0,0	0,0	0,0	0,0	0,0	0,0	0,7	0,0	0,0	0,0	0,0	3	0,08	0,10
C73	GLÁNDULA TIROIDES	0,0	0,3	0,3	0,3	3,1	4,8	4,7	10,7	4,4	12,7	11,5	12,6	10,8	10,5	12,5	11,5	181	4,99	4,95
C74	GLÁNDULA SUPRARRENAL (ADRENAL)	0,0	0,0	0,0	0,0	0,0	0,0	0,0	0,0	0,0	0,5	0,0	0,0	0,0	0,0	0,0	0,0	1	0,03	0,03
C76	SITIOS MAL DEFINIDOS Y OTROS	0,0	0,0	0,0	0,0	0,0	0,0	0,0	0,0	0,0	0,5	0,0	0,0	0,0	1,3	0,0	1,1	3	0,08	0,09
C77	GANGLIOS LINFÁTICOS	1,2	0,6	1,4	1,8	0,6	1,0	1,7	2,4	3,1	3,8	6,3	5,6	18,7	11,8	12,5	19,9	121	3,34	3,56
C80	SITIO PRIMARIO DESCONOCIDO	0,0	0,0	0,0	0,0	0,0	0,6	0,7	3,2	3,6	6,1	6,3	15,3	18,7	34,0	37,6	36,7	167	4,6	5,04
TODOS LOS SITIOS - NUM. CASOS		55	42	47	40	61	181	240	344	438	508	547	523	499	429	403	1.061	5.418		
TODOS LOS SITIOS - TASA CRUDA		16,5	12,5	13,5	12,1	18,6	57,3	80,8	136,5	194,3	238,4	313,2	364,8	490,2	560,1	720,7	1.113,0		149,34	
TODOS LOS SITIOS - TASA ESTÁNDAR		2,0	1,3	1,3	1,1	1,5	4,6	4,8	8,2	11,7	14,3	15,7	14,6	19,7	16,8	14,4	22,2			154,13
TODOS LOS SITIOS MENOS C44 - NUM. CASOS		55	46	38	57	172	232	326	413	473	40	511	475	442	371	327	856	4.834		
TODOS LOS SITIOS MENOS C44 - TASA CRUDA		16.54	13.23	11.48	17.37	54.45	78.08	129.36	183.23	221.95	11.86	292.63	331.30	434.22	484.40	584.82	897.97		133,25	
TODOS LOS SITIOS MENOS C44 - TASA ESTÁNDAR		1.99	1.22	1.04	1.35	4.39	4.68	7.74	11.02	13.35	1.19	14.66	13.29	17.41	14.54	11.71	17.93			137,51

LOCALIZACIÓN TOPOGRÁFICA SEGÚN DIAGNÓSTICO HISTOLÓGICO Y SEXO. RESIDENTES EN GUAYAQUIL. 2007-2009

Localización Topográfica	Morfología	Hombres		Mujeres		Total	
		No.	%	No.	%	No.	%
LABIO (excluye Piel del labio C44.0)	807 03 Carcinoma epidermoide SAI	1	100%	0	0%	1	100%
	Total	1	100%	0	0%	1	100%
BASE DE LA LENGUA	8000 Neoplasia maligna	1	20%	0	0%	1	13%
	8070 Carcinoma epidermoide SAI	4	80%	1	33%	5	63%
	8071 Carcinoma epidermoide tipo queratinizante SAI	0	0%	1	33%	1	13%
	8072 Carcinoma epidermoide de células grandes, no queratinizante	0	0%	1	33%	1	13%
	Total	5	100%	3	100%	8	100%
OTRAS PARTES Y LAS NO ESPECIFICADAS DE LA LENGUA	8000 Neoplasia maligna	1	7%	1	6%	2	6%
	8010 Carcinoma SAI	0	0%	1	6%	1	3%
	8051 Carcinoma verrugoso SAI	0	0%	1	6%	1	3%
	8070 Carcinoma epidermoide SAI	8	53%	11	65%	19	59%
	8071 Carcinoma epidermoide tipo queratinizante SAI	5	33%	1	6%	6	19%
	8073 Carcinoma epidermoide de células pequeñas, tipo no queratinizante	0	0%	1	6%	1	3%
	8200 Carcinoma adenoide quístico	1	7%	1	6%	2	6%
	Total	15	100%	17	100%	32	100%
ENCÍA	8010 Carcinoma SAI	1	33%	0	0%	1	14%
	8070 Carcinoma epidermoide SAI	1	33%	4	100%	5	71%
	9680 Linfoma maligno difuso de células grandes SAI	1	33%	0	0%	1	14%
	Total	3	100%	4	100%	7	100%
PISO DE LA BOCA	8070 Carcinoma epidermoide SAI	1	100%	1	100%	2	100%
Total	1	100%	1	100%	2	100%	
PALADAR	8000 Neoplasia maligna	0	0%	1	33%	1	13%
	8070 Carcinoma epidermoide SAI	3	60%	0	0%	3	38%
	8071 Carcinoma epidermoide tipo queratinizante SAI	1	20%	0	0%	1	13%
	8200 Carcinoma adenoide quístico	1	20%	1	33%	2	25%
	8430 Carcinoma mucoepidermoide	0	0%	1	33%	1	13%
	Total	5	100%	3	100%	8	100%
OTRAS PARTES Y DE LAS NO ESPECIFICAS DE LA BOCA	8070 Carcinoma epidermoide SAI	2	40%	2	67%	4	50%
	8072 Carcinoma epidermoide de células grandes, no queratinizante	1	20%	0	0%	1	13%
	8430 Carcinoma mucoepidermoide	1	20%	0	0%	1	13%
	9670 Linfoma maligno difuso de linfocitos pequeños SAI	0	0%	1	33%	1	13%
	9680 Linfoma maligno difuso de células grandes SAI	1	20%	0	0%	1	13%
	Total	5	100%	3	100%	8	100%
GLÁNDULA PARÓTIDA	8000 Neoplasia maligna	1	17%	0	0%	1	8%
	8010 Carcinoma SAI	1	17%	1	17%	2	17%
	8070 Carcinoma epidermoide SAI	1	17%	1	17%	2	17%
	8140 Adenocarcinoma SAI	0	0%	1	17%	1	8%
	8200 Carcinoma adenoide quístico	1	17%	0	0%	1	8%
	8430 Carcinoma mucoepidermoide	1	17%	0	0%	1	8%
	9670 Linfoma maligno difuso de linfocitos pequeños SAI	0	0%	2	33%	2	17%
	9680 Linfoma maligno difuso de células grandes SAI	0	0%	1	17%	1	8%
	9690 Linfoma maligno folicular SAI	1	17%	0	0%	1	8%
	Total	6	100%	6	100%	12	100%
OTRAS GLÁNDULAS SALIVALES MAYORES Y LAS NO ESPECIFICADAS	8022 Carcinoma pleomórfico	0	0%	1	25%	1	17%
	8071 Carcinoma epidermoide tipo queratinizante SAI	0	0%	1	25%	1	17%
	8200 Carcinoma adenoide quístico	1	50%	1	25%	2	33%
	8310 Adenocarcinoma de células claras SAI	1	50%	0	0%	1	17%
	8430 Carcinoma mucoepidermoide	0	0%	1	25%	1	17%
	Total	2	100%	4	100%	6	100%

Localización Topográfica	Morfología	Hombres		Mujeres		Total	
		No.	%	No.	%	No.	%
AMÍGDALA	8010 Carcinoma SAI	0	0%	1	14%	1	5%
	8070 Carcinoma epidermoide SAI	10	71%	3	43%	13	62%
	8071 Carcinoma epidermoide tipo queratinizante SAI	1	7%	0	0%	1	5%
	8072 Carcinoma epidermoide de células grandes, no queratinizante	0	0%	1	14%	1	5%
	8075 Carcinoma epidermoide pseudoglandular	1	7%	0	0%	1	5%
	9591 Linfoma maligno no Hodgkin SAI	1	7%	0	0%	1	5%
	9675 Linfoma maligno difuso mixto de células grandes y pequeñas	0	0%	1	14%	1	5%
	9680 Linfoma maligno difuso de células grandes SAI	1	7%	1	14%	2	10%
	Total	14	100%	7	100%	21	100%
OROFARINGE	8070 Carcinoma epidermoide SAI	1	50%	1	100%	2	67%
	8071 Carcinoma epidermoide tipo queratinizante SAI	1	50%	0	0%	1	33%
	Total	2	100%	1	100%	3	100%
NASOFARINGE	8010 Carcinoma SAI	0	0%	1	33%	1	25%
	8082 Carcinoma linfoepitelial	1	100%	0	0%	1	25%
	8140 Adenocarcinoma SAI	0	0%	1	33%	1	25%
	9670 Linfoma maligno difuso de linfocitos pequeños SAI	0	0%	1	33%	1	25%
	Total	1	100%	3	100%	4	100%
SENO PIRIFORME	8000 Neoplasia maligna	1	100%	0	0%	1	50%
	8071 Carcinoma epidermoide tipo queratinizante SAI	0	0%	1	100%	1	50%
	Total	1	100%	1	100%	2	100%
HIPOFARINGE	8070 Carcinoma epidermoide SAI	1	33%	0	0%	1	33%
	8071 Carcinoma epidermoide tipo queratinizante SAI	1	33%	0	0%	1	33%
	8072 Carcinoma epidermoide de células grandes, no queratinizante	1	33%	0	0%	1	33%
	Total	3	100%	0	0%	3	100%
ESÓFAGO	8000 Neoplasia maligna	10	33%	4	22%	14	29%
	8010 Carcinoma SAI	1	3%	1	6%	2	4%
	8020 Carcinoma indiferenciado SAI	0	0%	1	6%	1	2%
	8070 Carcinoma epidermoide SAI	12	40%	8	44%	20	42%
	8071 Carcinoma epidermoide tipo queratinizante SAI	3	10%	0	0%	3	6%
	8072 Carcinoma epidermoide de células grandes, no queratinizante	1	3%	0	0%	1	2%
	8140 Adenocarcinoma SAI	1	3%	3	17%	4	8%
	8246 Carcinoma neuroendocrino	1	3%	0	0%	1	2%
	8490 Carcinoma de células en anillo de sello	0	0%	1	6%	1	2%
	8801 Sarcoma fusocelular SAI	1	3%	0	0%	1	2%
	Total	30	100%	18	100%	48	100%
INTESTINO DELGADO	8000 Neoplasia maligna	0	0%	4	22%	4	9%
	8002 Tumor maligno de células pequeñas	0	0%	1	6%	1	2%
	8010 Carcinoma SAI	3	11%	1	6%	4	9%
	8070 Carcinoma epidermoide SAI	1	4%	0	0%	1	2%
	8140 Adenocarcinoma SAI	11	41%	7	39%	18	40%
	8144 Adenocarcinoma, tipo intestinal	0	0%	1	6%	1	2%
	8240 Tumor carcinoide SAI	1	4%	1	6%	2	4%
	8246 Carcinoma neuroendocrino	0	0%	2	11%	2	4%
	8260 Adenocarcinoma papilar SAI	1	4%	0	0%	1	2%
	8490 Carcinoma de células en anillo de sello	1	4%	0	0%	1	2%
	8890 Leiomioma SAI	1	4%	0	0%	1	2%
	9364 Tumor neuroectodérmico periférico	1	4%	0	0%	1	2%
	9590 Linfoma maligno SAI	2	7%	0	0%	2	4%
	9591 Linfoma maligno no Hodgkin SAI	2	7%	0	0%	2	4%
	9670 Linfoma maligno difuso de linfocitos pequeños SAI	2	7%	0	0%	2	4%
	9675 Linfoma maligno difuso mixto de células grandes y pequeñas	1	4%	0	0%	1	2%
	9727 Linfoma linfoblástico de células precursora, SAI	0	0%	1	6%	1	2%
	Total	27	100%	18	100%	45	100%

Localización Topográfica	Morfología	Hombres		Mujeres		Total		
		No.	%	No.	%	No.	%	
ESTÓMAGO	8000 Neoplasia maligna	81	21%	76	25%	157	23%	
	8010 Carcinoma SAI	22	6%	21	7%	43	6%	
	8020 Carcinoma indiferenciado SAI	1	0%	1	0%	2	0%	
	8041 Carcinoma de células pequeñas SAI	1	0%	0	0%	1	0%	
	8053 Carcinoma papilar SAI	0	0%	1	0%	1	0%	
	8051 Carcinoma verrugoso SAI	0	0%	1	0%	1	0%	
	8070 Carcinoma epidermoide SAI	2	1%	0	0%	2	0%	
	8140 Adenocarcinoma SAI	81	21%	48	16%	129	19%	
	8141 Adenocarcinoma escirro	0	0%	1	0%	1	0%	
	8144 Adenocarcinoma, tipo intestinal	93	24%	62	20%	155	22%	
	8145 Carcinoma, tipo difuso	46	12%	40	13%	86	12%	
	8211 Adenocarcinoma tubular	9	2%	4	1%	13	2%	
	8240 Tumor carcinoide SAI	1	0%	4	1%	5	1%	
	8246 Carcinoma neuroendocrino	0	0%	1	0%	1	0%	
	8263 Adenocarcinoma en adenoma tubulovelloso	0	0%	1	0%	1	0%	
	8480 Adenocarcinoma mucinoso	4	1%	2	1%	6	1%	
	8481 Adenocarcinoma producto de mucina	1	0%	1	0%	2	0%	
	8490 Carcinoma de células en anillo de sello	28	7%	26	8%	54	8%	
	8936 Sarcoma del estroma gastrointestinal <=> Tumor del estroma gastrointestinal, maligno	0	0%	2	1%	2	0%	
	9590 Linfoma maligno SAI	0	0%	2	1%	2	0%	
	9591 Linfoma maligno no Hodgkin SAI	2	1%	1	0%	3	0%	
	9650 Enfermedad de Hodgkin SAI	1	0%	0	0%	1	0%	
	9670 Linfoma maligno difuso de linfocitos pequeños SAI	1	0%	1	0%	2	0%	
	9675 Linfoma maligno difuso mixto de células grandes y pequeñas	1	0%	0	0%	1	0%	
	9680 Linfoma maligno difuso de células grandes SAI	3	1%	3	1%	6	1%	
	9699 Linfoma de células B de la zona marginal SAI	9	2%	8	3%	17	2%	
		Total	387	100%	307	100%	694	100%
	COLON	8000 Neoplasia maligna	34	20%	34	17%	68	19%
		8010 Carcinoma SAI	5	3%	7	4%	12	3%
		8013 Carcinoma neuroendocrino de células grandes	0	0%	1	1%	1	0%
8070 Carcinoma epidermoide SAI		3	2%	1	1%	4	1%	
8140 Adenocarcinoma SAI		64	39%	79	40%	143	39%	
8144 Adenocarcinoma, tipo intestinal		15	9%	19	10%	34	9%	
8145 Carcinoma, tipo difuso		2	1%	6	3%	8	2%	
8210 Adenocarcinoma en pólipo adenomatoso		1	1%	1	1%	2	1%	
8211 Adenocarcinoma tubular		10	6%	16	8%	26	7%	
8240 Tumor carcinoide SAI		4	2%	2	1%	6	2%	
8246 Carcinoma neuroendocrino		3	2%	0	0%	3	1%	
8263 Adenocarcinoma en adenoma tubulovelloso		2	1%	3	2%	5	1%	
8480 Adenocarcinoma mucinoso		9	5%	15	8%	24	7%	
8481 Adenocarcinoma producto de mucina		3	2%	6	3%	9	2%	
8490 Carcinoma de células en anillo de sello		2	1%	2	1%	4	1%	
8803 Sarcoma SAI		0	0%	1	1%	1	0%	
8890 Leiomiomasarcoma SAI		0	0%	1	1%	1	0%	
8900 Rbdomiosarcoma SAI		1	1%	0	0%	1	0%	
9364 Tumor neuroectodérmico periférico		1	1%	0	0%	1	0%	
9591 Linfoma maligno no Hodgkin SAI		4	2%	0	0%	4	1%	
9650 Enfermedad de Hodgkin SAI		0	0%	1	1%	1	0%	
9670 Linfoma maligno difuso de linfocitos pequeños SAI		1	1%	1	1%	2	1%	
9675 Linfoma maligno difuso mixto de células grandes y pequeñas		1	1%	0	0%	1	0%	
9680 Linfoma maligno difuso de células grandes SAI		0	0%	1	1%	1	0%	
9699 Linfoma de células B de la zona marginal SAI		1	1%	1	1%	2	1%	
		Total	166	100%	198	100%	364	100%

Localización Topográfica	Morfología	Hombres		Mujeres		Total	
		No.	%	No.	%	No.	%
UNIÓN RECTOSIGMOIDEA	8000 Neoplasia maligna	1	8%	1	7%	2	8%
	8010 Carcinoma SAI	0	0%	1	7%	1	4%
	8140 Adenocarcinoma SAI	6	50%	4	29%	10	38%
	8144 Adenocarcinoma, tipo intestinal	0	0%	3	21%	3	12%
	8211 Adenocarcinoma tubular	4	33%	3	21%	7	27%
	8262 Adenocarcinoma vellosos	0	0%	1	7%	1	4%
	8480 Adenocarcinoma mucinoso	1	8%	0	0%	1	4%
	8481 Adenocarcinoma producto de mucina	0	0%	1	7%	1	4%
	Total	12	100%	14	100%	26	100%
RECTO	8000 Neoplasia maligna	1	2%	5	6%	6	4%
	8010 Carcinoma SAI	1	2%	7	8%	8	5%
	8070 Carcinoma epidermoide SAI	4	7%	11	13%	15	10%
	8071 Carcinoma epidermoide tipo queratinizante SAI	0	0%	1	1%	1	1%
	8072 Carcinoma epidermoide de células grandes, no queratinizante	0	0%	1	1%	1	1%
	8124 Carcinoma cloacogénico	0	0%	1	1%	1	1%
	8140 Adenocarcinoma SAI	36	59%	38	43%	74	50%
	8144 Adenocarcinoma, tipo intestinal	3	5%	11	13%	14	9%
	8145 Carcinoma, tipo difuso	0	0%	1	1%	1	1%
	8210 Adenocarcinoma en pólipo adenomatoso	1	2%	0	0%	1	1%
	8211 Adenocarcinoma tubular	5	8%	7	8%	12	8%
	8240 Tumor carcinoide SAI	1	2%	0	0%	1	1%
	8262 Adenocarcinoma vellosos	1	2%	0	0%	1	1%
	8263 Adenocarcinoma en adenoma tubulovellosos	2	3%	1	1%	3	2%
	8480 Adenocarcinoma mucinoso	3	5%	2	2%	5	3%
	8490 Carcinoma de células en anillo de sello	2	3%	0	0%	2	1%
	8720 Melanoma maligno SAI	0	0%	1	1%	1	1%
	9591 Linfoma maligno no Hodgkin SAI	0	0%	1	1%	1	1%
9670 Linfoma maligno difuso de linfocitos pequeños SAI	1	2%	0	0%	1	1%	
Total	61	100%	88	100%	149	100%	
ANO Y DEL CONDUCTO ANAL	8000 Neoplasia maligna	1	9%	0	0%	1	2%
	8010 Carcinoma SAI	0	0%	1	3%	1	2%
	80203 Carcinoma indiferenciado SAI	1	9%	0	0%	1	2%
	80703 Carcinoma epidermoide SAI	3	27%	19	53%	22	47%
	8071 Carcinoma epidermoide tipo queratinizante SAI	0	0%	2	6%	2	4%
	8072 Carcinoma epidermoide de células grandes, no queratinizante	0	0%	2	6%	2	4%
	8073 Carcinoma epidermoide de células pequeñas, tipo no queratinizante	0	0%	1	3%	1	2%
	8084 Carcinoma de células escamosas, tipo células claras	0	0%	1	3%	1	2%
	8123 Carcinoma basaloide	1	9%	0	0%	1	2%
	8124 Carcinoma cloacogénico	0	0%	2	6%	2	4%
	8140 Adenocarcinoma SAI	5	45%	6	17%	11	23%
	8263 Adenocarcinoma en adenoma tubulovellosos	0	0%	1	3%	1	2%
	8720 Melanoma maligno SAI	0	0%	1	3%	1	2%
Total	11	100%	36	100%	47	100%	
HÍGADO Y VÍAS BILIARES INTRAHEPÁTICAS	8000 Neoplasia maligna	47	49%	61	50%	108	50%
	8010 Carcinoma SAI	3	3%	5	4%	8	4%
	8140 Adenocarcinoma SAI	6	6%	15	12%	21	10%
	8160 Colangiocarcinoma	3	3%	9	7%	12	6%
	8162 Tumor de Klatskin	0	0%	2	2%	2	1%
	8170 Carcinoma hepatocelular SAI	34	35%	25	21%	59	27%
	8211 Adenocarcinoma tubular	0	0%	1	1%	1	0%
	8246 Carcinoma neuroendocrino	2	2%	0	0%	2	1%
	8481 Adenocarcinoma producto de mucina	1	1%	0	0%	1	0%
	8970 Hepatoblastoma	0	0%	2	2%	2	1%
	9500 Neuroblastoma SAI	0	0%	1	1%	1	0%
	Total	96	100%	121	100%	217	100%

Localización Topográfica	Morfología	Hombres		Mujeres		Total	
		No.	%	No.	%	No.	%
VESÍCULA BILIAR	8000 Neoplasia maligna	1	7%	9	15%	10	14%
	8010 Carcinoma SAI	1	7%	3	5%	4	5%
	8033 Carcinoma seudosarcomatoso	0	0%	1	2%	1	1%
	8071 Carcinoma epidermoide tipo queratinizante SAI	0	0%	2	3%	2	3%
	8140 Adenocarcinoma SAI	11	79%	37	62%	48	65%
	8180 Carcinoma hepatocelular y colangiocarcinoma mixto	1	7%	0	0%	1	1%
	8210 Adenocarcinoma en pólipo adenomatoso	0	0%	1	2%	1	1%
	8260 Adenocarcinoma papilar SAI	0	0%	2	3%	2	3%
	8263 Adenocarcinoma en adenoma tubulovelloso	0	0%	2	3%	2	3%
	8480 Adenocarcinoma mucinoso	0	0%	1	2%	1	1%
	9073 Carcinoma embrionario SAI	0	0%	1	2%	1	1%
9590 Linfoma maligno SAI	0	0%	1	2%	1	1%	
Total		14	100%	60	100%	74	100%
OTRAS PARTES Y LAS NO ESPECIFICAS DE LAS VÍAS BILIARES	8000 Neoplasia maligna	9	43%	8	38%	17	40%
	8010 Carcinoma SAI	1	5%	0	0%	1	2%
	8050 Carcinoma papilar SAI	0	0%	1	5%	1	2%
	8140 Adenocarcinoma SAI	7	33%	10	48%	17	40%
	8160 Colangiocarcinoma	0	0%	1	5%	1	2%
	8263 Adenocarcinoma en adenoma tubulovelloso	2	10%	1	5%	3	7%
	8480 Adenocarcinoma mucinoso	2	10%	0	0%	2	5%
Total		21	100%	21	100%	42	100%
PÁNCREAS	8000 Neoplasia maligna	41	62%	42	55%	83	58%
	8010 Carcinoma SAI	2	3%	4	5%	6	4%
	8050 Carcinoma papilar SAI	0	0%	1	1%	1	1%
	8070 Carcinoma epidermoide SAI	0	0%	1	1%	1	1%
	8140 Adenocarcinoma SAI	14	21%	16	21%	30	21%
	8154 Adenocarcinoma mixto de células de los islotes de Langerhans y exocrino	0	0%	2	3%	2	1%
	8211 Adenocarcinoma tubular	1	2%	0	0%	1	1%
	8246 Carcinoma neuroendocrino	1	2%	0	0%	1	1%
	8260 Adenocarcinoma papilar SAI	1	2%	0	0%	1	1%
	8310 Adenocarcinoma de células claras SAI	0	0%	1	1%	1	1%
	8440 Cistadenocarcinoma SAI	1	2%	1	1%	2	1%
	8452 Tumorseudopapilar sólido	0	0%	1	1%	1	1%
	8470 Cistadenocarcinoma mucinoso SAI	0	0%	1	1%	1	1%
	8480 Adenocarcinoma mucinoso	0	0%	1	1%	1	1%
	8481 Adenocarcinoma producto de mucina	1	2%	0	0%	1	1%
	8500 Carcinoma ductal infiltrante	3	5%	4	5%	7	5%
	9591 Linfoma maligno no Hodgkin SAI	1	2%	0	0%	1	1%
	9680 Linfoma maligno difuso de células grandes SAI	0	0%	1	1%	1	1%
Total		66	100%	76	100%	142	100%
OTRAS LOCALIZACIONES Y LAS MAL DEFINIDAS DEL APARATO DIGESTIVO	8720 Melanoma maligno SAI	1	100%	0	0%	1	100%
	Total	1	100%	0	0%	1	100%
FOSAS NASALES Y DEL OÍDO MEDIO	8070 Carcinoma epidermoide SAI	0	0%	1	17%	1	9%
	8071 Carcinoma epidermoide tipo queratinizante SAI	1	20%	0	0%	1	9%
	8140 Adenocarcinoma SAI	0	0%	1	17%	1	9%
	8200 Carcinoma adenoide quístico	1	20%	0	0%	1	9%
	8900 Rbdomiosarcoma SAI	1	20%	0	0%	1	9%
	9522 Neuroblastoma olfatorio => Estesioneuroblastoma	1	20%	1	17%	2	18%
	9680 Linfoma maligno difuso de células grandes SAI	1	20%	1	17%	2	18%
	9702 Linfoma de células T. periféricas SAI	0	0%	1	17%	1	9%
	9750 Histiocitosis maligna	0	0%	1	17%	1	9%
Total	5	100%	6	100%	11	100%	

Localización Topográfica	Morfología	Hombres		Mujeres		Total		
		No.	%	No.	%	No.	%	
SENOS PARANASALES	8000 Neoplasia maligna	1	25%	2	33%	3	30%	
	8070 Carcinoma epidermoide SAI	1	25%	2	33%	3	30%	
	8071 Carcinoma epidermoide tipo queratinizante SAI	1	25%	0	0%	1	10%	
	82003 Carcinoma adenoide quístico	1	25%	1	17%	2	20%	
	9680 Linfoma maligno difuso de células grandes SAI	0	0%	1	17%	1	10%	
	Total	4	100%	6	100%	10	100%	
LARINGE	8000 Neoplasia maligna	8	15%	1	11%	9	14%	
	8010 Carcinoma SAI	1	2%	0	0%	1	2%	
	8051 Carcinoma verrugoso SAI	1	2%	0	0%	1	2%	
	8070 Carcinoma epidermoide SAI	32	59%	3	33%	35	56%	
	8071 Carcinoma epidermoide tipo queratinizante SAI	9	17%	4	44%	13	21%	
	8072 Carcinoma epidermoide de células grandes, no queratinizante	1	2%	0	0%	1	2%	
	8074 Carcinoma epidermoide de células fusiformes	1	2%	0	0%	1	2%	
	8200 Carcinoma adenoide quístico	1	2%	0	0%	1	2%	
	9680 Linfoma maligno difuso de células grandes SAI	0	0%	1	11%	1	2%	
	Total	54	100%	9	100%	63	100%	
TRÁQUEA	8200 Carcinoma adenoide quístico	1	100%	0	0%	1	100%	
	Total	1	100%	0	0%	1	100%	
BRONQUIOS Y DEL PULMÓN	8000 Neoplasia maligna	89	40%	52	37%	141	39%	
	8004 Tumor maligno de células fusiformes	0	0%	1	1%	1	0%	
	8010 Carcinoma SAI	14	6%	10	7%	24	7%	
	8012 Carcinoma de células grandes SAI	1	0%	2	1%	3	1%	
	8013 Carcinoma neuroendocrino de células grandes	0	0%	1	1%	1	0%	
	8021 Carcinoma de tipo anaplásico SAI	2	1%	1	1%	3	1%	
	8041 Carcinoma de células pequeñas SAI	6	3%	0	0%	6	2%	
	8070 Carcinoma epidermoide SAI	35	16%	23	16%	58	16%	
	8071 Carcinoma epidermoide tipo queratinizante SAI	1	0%	2	1%	3	1%	
	8072 Carcinoma epidermoide de células grandes, no queratinizante	2	1%	0	0%	2	1%	
	8073 Carcinoma epidermoide de células pequeñas, tipo no queratinizante	1	0%	0	0%	1	0%	
	8140 Adenocarcinoma SAI	47	21%	28	20%	75	21%	
	8200 Carcinoma adenoide quístico	1	0%	0	0%	1	0%	
	8240 Tumor carcinoide SAI	1	0%	3	2%	4	1%	
	8246 Carcinoma neuroendocrino	7	3%	2	1%	9	2%	
	8250 Adenocarcinoma bronquioalveolar	4	2%	5	4%	9	2%	
	8263 Adenocarcinoma en adenoma tubulovelloso	2	1%	0	0%	2	1%	
	8310 Adenocarcinoma de células claras SAI	1	0%	0	0%	1	0%	
	8480 Adenocarcinoma mucinoso	1	0%	1	1%	2	1%	
	8481 Adenocarcinoma producto de mucina	1	0%	3	2%	4	1%	
	8560 Carcinoma adenoescamoso	1	0%	0	0%	1	0%	
	8574 Adenocarcinoma con diferenciación neuroendocrina	1	0%	0	0%	1	0%	
	8800 Sarcoma SAI	1	0%	1	1%	2	1%	
	8801 Sarcoma fusocelular SAI	0	0%	1	1%	1	0%	
	9050 Mesotelioma maligno	2	1%	0	0%	2	1%	
	9052 Mesotelioma epiteliode maligno	0	0%	1	1%	1	0%	
	9675 Linfoma maligno difuso mixto de células grandes y pequeñas	1	0%	0	0%	1	0%	
	9680 Linfoma maligno difuso de células grandes SAI	1	0%	1	1%	2	1%	
	9695 Linfoma maligno folicular de células pequeñas hendidas	0	0%	1	1%	1	0%	
	9698 Linfoma maligno folicular de células grandes SAI	0	0%	1	1%	1	0%	
	Total	223	100%	140	100%	363	100%	
	TIMO	8580 Timoma maligno	0	0%	1	50%	1	50%
		8583 Timoma tipo B1, maligno SAI	0	0%	1	50%	1	50%
		Total	0	0%	2	100%	2	100%

Localización Topográfica	Morfología	Hombres		Mujeres		Total	
		No.	%	No.	%	No.	%
CORAZÓN, MEDIASTINO Y PLEURA	8000 Neoplasia maligna	3	18%	5	56%	8	31%
	8041 Carcinoma de células pequeñas SAI	1	6%	0	0%	1	4%
	8140 Adenocarcinoma SAI	1	6%	0	0%	1	4%
	8583 Timoma maligno	1	6%	0	0%	1	4%
	9070 Carcinoma embrionario SAI	1	6%	0	0%	1	4%
	9080 Teratoma maligno SAI	1	6%	0	0%	1	4%
	9085 Tumor mixto de células germinales	1	6%	0	0%	1	4%
	9500 Neuroblastoma SAI	0	0%	1	11%	1	4%
	9591 Linfoma maligno no Hodgkin SAI	2	12%	1	11%	3	12%
	9650 Enfermedad de Hodgkin SAI	1	6%	0	0%	1	4%
	9670 Linfoma maligno difuso de linfocitos pequeños SAI	1	6%	0	0%	1	4%
	9680 Linfoma maligno difuso de células grandes SAI	1	6%	1	11%	2	8%
	9687 Linfoma de Burkitt SAI	1	6%	0	0%	1	4%
	9691 Linfoma maligno folicular mixto de células grandes y pequeñas hendidas	1	6%	0	0%	1	4%
	9705 Linfoma disproteinemia	1	6%	0	0%	1	4%
	9754 Histiocitosis de células de Langerhans, diseminada	0	0%	1	11%	1	4%
Total		17	100%	9	100%	26	100%
HUESOS Y DE LOS CARTÍLAGOS ARTICULARES Y DE LOS MIEMBROS	8001 Células tumorales malignas	0	0%	1	4%	1	2%
	8003 Tumor maligno de células gigantes	1	6%	0	0%	1	2%
	8810 Fibrosarcoma SAI	1	6%	0	0%	1	2%
	8830 Histiocitoma fibroso maligno	1	6%	2	8%	3	7%
	9180 Osteosarcoma SAI	7	39%	12	48%	19	44%
	9181 Osteosarcoma condroblástico	1	6%	1	4%	2	5%
	9192 Osteosarcoma yuxtacortical < = > Parostial	1	6%	1	4%	2	5%
	9220 Condrosarcoma SAI	3	17%	5	20%	8	19%
	9250 Tumor maligno de células gigantes del hueso	1	6%	0	0%	1	2%
	9260 Sarcoma de Ewing	1	6%	1	4%	2	5%
	9731 Plasmocitoma SAI	1	6%	2	8%	3	7%
Total		18	100%	25	100%	43	100%
HUESOS Y DE LOS CARTÍLAGOS ARTICULARES, DE OTROS SITIOS NO ESPECIFICADOS	8830 Histiocitoma fibroso maligno	0	0%	1	14%	1	6%
	8910 Rhabdomyosarcoma embrionario	0	0%	1	14%	1	6%
	9182 Osteosarcoma fibroblástico	1	11%	0	0%	1	6%
	9184 Osteosarcoma en enfermedad de Paget del hueso	0	0%	1	14%	1	6%
	9220 Condrosarcoma SAI	3	33%	1	14%	4	25%
	9250 Tumor maligno de células gigantes del hueso	1	11%	0	0%	1	6%
	9670 Linfoma maligno difuso de linfocitos pequeños SAI	0	0%	1	14%	1	6%
	9680 Linfoma maligno difuso de células grandes SAI	0	0%	1	14%	1	6%
	9731 Plasmocitoma SAI	2	22%	1	14%	3	19%
	9754 Histiocitosis de células de Langerhans, diseminada	2	22%	0	0%	2	13%
Total		9	100%	7	100%	16	100%

Localización Topográfica	Morfología	Hombres		Mujeres		Total		
		No.	%	No.	%	No.	%	
SISTEMAS HEMATOPOYÉTICO Y RETICULOENDOTELIAL	8000 Neoplasia maligna	7	3%	7	3%	14	3%	
	9120 Hemangiosarcoma	0	0%	1	0%	1	0%	
	9590 Linfoma maligno SAI	0	0%	3	1%	3	1%	
	9591 Linfoma maligno no Hodgkin SAI	1	0%	1	0%	2	0%	
	9650 Enfermedad de Hodgkin SAI	0	0%	1	0%	1	0%	
	9670 Linfoma maligno difuso de linfocitos pequeños SAI	1	0%	0	0%	1	0%	
	9671 Linfoma maligno linfoplasmocítico	1	0%	0	0%	1	0%	
	9680 Linfoma maligno difuso de células grandes SAI	2	1%	0	0%	2	0%	
	970 23 Linfoma de células T. periféricas SAI	1	0%	0	0%	1	0%	
	972 73 Linfoma linfoblástica de células precursora, SAI	1	0%	0	0%	1	0%	
	973 13 Plasmocitoma SAI	2	1%	2	1%	4	1%	
	973 23 Mieloma múltiple	30	14%	27	12%	57	13%	
	980 03 Leucemia SAI	7	3%	12	5%	19	4%	
	980 13 Leucemia agua SAI	1	0%	11	5%	12	3%	
	982 03 Leucemia linfoide SAI	2	1%	0	0%	2	0%	
	982 33 Leucemia linfoide crónica	8	4%	6	3%	14	3%	
	982 63 Leucemia de células de Burkitt	3	1%	2	1%	5	1%	
	982 73 Leucemia linfoma de células T adultas	0	0%	1	0%	1	0%	
	983 53 Leucemia linfoblástica de células precursoras, SAI	75	35%	66	30%	141	32%	
	983 63 Leucemia linfoblástica de células B precursoras	8	4%	8	4%	16	4%	
	983 73 Leucemia linfoblástica de células T	2	1%	1	0%	3	1%	
	984 03 Eritroleucemia	0	0%	2	1%	2	0%	
	986 03 Leucemia mieloide SAI	1	0%	4	2%	5	1%	
	986 13 Leucemia mieloide aguda	24	11%	29	13%	53	12%	
	986 33 Leucemia mieloide crónica	21	10%	20	9%	41	9%	
	986 63 Leucemia promielocítica aguda	1	0%	0	0%	1	0%	
	986 73 Leucemia mielomonocítica aguda	3	1%	1	0%	4	1%	
	987 23 Leucemia mieloide aguda, diferenciación mínima	0	0%	1	0%	1	0%	
	987 33 Leucemia mieloide aguda sin maduración FAB M1	3	1%	1	0%	4	1%	
	987 43 Leucemia mieloide aguda con maduración FAB M2, SAI	1	0%	1	0%	2	0%	
	987 63 Leucemia mieloide crónica atípica, BCR/ABL negativo	1	0%	1	0%	2	0%	
	989 63 Leucemia mieloide aguda, t(8;21)(q22;q22)	3	1%	1	0%	4	1%	
	991 03 Leucemia megacarioblástica aguda	0	0%	1	0%	1	0%	
	993 13 Panmielosis aguda	1	0%	0	0%	1	0%	
	994 03 Leucemia de células pilosas => Reticuloendoteliosis leucémica	2	1%	1	0%	3	1%	
	996 23 Trombocitemia idiopática	0	0%	1	0%	1	0%	
	998 33 Anemia refractaria con exceso de blastos	0	0%	1	0%	1	0%	
	998 93 Síndrome mielodisplásico SAI	3	1%	6	3%	9	2%	
	Total		216	100%	220	100%	436	100%

Localización Topográfica	Morfología	Hombres		Mujeres		Total	
		No.	%	No.	%	No.	%
PIEL	8000 Neoplasia maligna	6	1%	4	1%	10	1%
	8010 Carcinoma SAI	3	1%	2	0%	5	0%
	8011 Epitelioma maligno	0	0%	1	0%	1	0%
	8013 Carcinoma neuroendocrino de células grandes	1	0%	0	0%	1	0%
	8051 Carcinoma verrugoso SAI	2	0%	1	0%	3	0%
	8070 Carcinoma in situ de células escamosas, SAI => Carcinoma epidermoide In Situ SAI	5	1%	13	2%	18	2%
	8070 Carcinoma epidermoide SAI	59	10%	52	9%	111	9%
	8071 Carcinoma epidermoide tipo queratinizante SAI	16	3%	10	2%	26	2%
	8072 Carcinoma epidermoide de células grandes, no queratinizante	0	0%	2	0%	2	0%
	8081 Enfermedad de Bowen	2	0%	4	1%	6	1%
	8090 Carcinoma basocelular SAI	258	45%	279	47%	537	46%
	8093 Carcinoma basocelular, tipo fibroepitelial	1	0%	0	0%	1	0%
	8094 Carcinoma de células basales y escamosas	1	0%	0	0%	1	0%
	8097 Carcinoma de células basales, nodular	149	26%	181	30%	330	28%
	8098 Carcinoma basal adenoide	1	0%	2	0%	3	0%
	8140 Adenocarcinoma SAI	1	0%	0	0%	1	0%
	8247 Carcinoma de células de Merkel	2	0%	1	0%	3	0%
	8310 Adenocarcinoma de células claras SAI	0	0%	1	0%	1	0%
	8401 Adenocarcinoma apócrino	0	0%	1	0%	1	0%
	8402 Hidradenoma nodular, maligno	0	0%	1	0%	1	0%
	8403 Espiradenoma crino maligno	0	0%	1	0%	1	0%
	8410 Adenocarcinoma sebáceo	0	0%	1	0%	1	0%
	8413 Adenocarcinoma crino	0	0%	1	0%	1	0%
	8480 Adenocarcinoma mucinoso	1	0%	0	0%	1	0%
	8720 Melanoma maligno SAI	34	6%	21	4%	55	5%
	8721 Melanoma nodular	2	0%	2	0%	4	0%
	8730 Melanoma amelanótico	1	0%	0	0%	1	0%
	8742 Melanoma maligno en peca melanótica de Hutchinson	1	0%	0	0%	1	0%
	8744 Melanoma maligno lentiginoso acral	1	0%	1	0%	2	0%
	8832 Dermatofibrosarcoma SAI	4	1%	8	1%	12	1%
	9120 Hemangiosarcoma	0	0%	1	0%	1	0%
	9140 Sarcoma de Kaposi	11	2%	1	0%	12	1%
	9670 Linfoma maligno difuso de linfocitos pequeños SAI	2	0%	0	0%	2	0%
	9675 Linfoma maligno difuso mixto de células grandes y pequeñas	0	0%	1	0%	1	0%
9699 Linfoma de células B de la zona marginal SAI	0	0%	1	0%	1	0%	
9700 Micosis fungoide	7	1%	4	1%	11	1%	
9702 Linfoma de células T. periféricas SAI	2	0%	0	0%	2	0%	
9709 Linfoma cutáneo	3	1%	1	0%	4	0%	
9718 Linfoma de células grandes, anaplásico, cutáneo primario	2	0%	1	0%	3	0%	
9750 Histiocitosis maligna	1	0%	0	0%	1	0%	
Total		579	100%	600	100%	1179	100%

Localización Topográfica	Morfología	Hombres		Mujeres		Total	
		No.	%	No.	%	No.	%
RETROPERITONEO Y PERITONEO	8000 Neoplasia maligna	3	18%	1	7%	4	13%
	8800 Sarcoma SAI	0	0%	1	7%	1	3%
	8810 Fibrosarcoma SAI	0	0%	1	7%	1	3%
	8850 Liposarcoma SAI	1	6%	1	7%	2	6%
	8851 Liposarcoma bien diferenciado	0	0%	2	13%	2	6%
	8852 Liposarcoma mixoide	0	0%	1	7%	1	3%
	8890 Leiomiomasarcoma SAI	1	6%	1	7%	2	6%
	9051 Mesotelioma fibroso maligno	1	6%	0	0%	1	3%
	9064 Germinoma	1	6%	0	0%	1	3%
	9473 Tumor neuroectodérmico primitivo	1	6%	0	0%	1	3%
	9560 Neurilemoma maligno	1	6%	0	0%	1	3%
	9591 Linfoma maligno no Hodgkin SAI	3	18%	1	7%	4	13%
	9670 Linfoma maligno difuso de linfocitos pequeños SAI	3	18%	2	13%	5	16%
	9675 Linfoma maligno difuso mixto de células grandes y pequeñas	0	0%	1	7%	1	3%
	9680 Linfoma maligno difuso de células grandes SAI	2	12%	3	20%	5	16%
Total		17	100%	15	100%	32	100%
OTROS TEJIDOS CONJUNTIVOS Y DE TEJIDOS BLANDOS	8000 Neoplasia maligna	3	5%	0	0%	3	
	8003 Tumor maligno de células gigantes	1	2%	0	0%	1	3%
	8246 Carcinoma neuroendocrino	1	2%	0	0%	1	1%
	8800 Sarcoma SAI	5	8%	5	11%	10	1%
	8801 Sarcoma fusocelular SAI	2	3%	2	4%	4	9%
	8802 Sarcoma de células gigantes	1	2%	0	0%	1	4%
	8810 Fibrosarcoma SAI	2	3%	2	4%	4	1%
	8815 Tumor fibroso solitario, maligno	1	2%	0	0%	1	4%
	8830 Histiocitoma fibroso maligno	4	6%	8	18%	12	1%
	8850 Liposarcoma SAI	5	8%	3	7%	8	11%
	8851 Liposarcoma bien diferenciado	1	2%	1	2%	2	7%
	8852 Liposarcoma mixoide	3	5%	5	11%	8	2%
	8854 Liposarcoma pleomórfico	4	6%	4	9%	8	7%
	8890 Leiomiomasarcoma SAI	3	5%	2	4%	5	7%
	8900 Rabdomiomasarcoma SAI	1	2%	0	0%	1	5%
	9040 Sarcoma sinovial SAI	0	0%	5	11%	5	1%
	9041 Sarcoma sinovial tipo fusocelular	0	0%	1	2%	1	5%
	9120 Hemangiosarcoma	2	3%	0	0%	2	1%
	9140 Sarcoma de Kaposi	12	19%	1	2%	13	2%
	9150 Hemangiopericitoma maligno	1	2%	0	0%	1	12%
	9220 Condrosarcoma SAI	1	2%	1	2%	2	1%
	9251 Tumor maligno de células gigantes de partes blandas	1	2%	0	0%	1	2%
	9364 Tumor neuroectodérmico periférico	1	2%	0	0%	1	1%
	9540 Neurofibrosarcoma	0	0%	1	2%	1	1%
	9560 Neurilemoma maligno	1	2%	2	4%	3	1%
	9581 Sarcoma alveolar de partes blandas	1	2%	0	0%	1	3%
	9670 Linfoma maligno difuso de linfocitos pequeños SAI	0	0%	2	4%	2	1%
	9680 Linfoma maligno difuso de células grandes SAI	2	3%	0	0%	2	2%
	9687 Linfoma de Burkitt SAI	1	2%	0	0%	1	2%
	9729 Linfoma linfoblástica de células T precursora	1	2%	0	0%	1	1%
	9731 Plasmocitoma SAI	1	2%	0	0%	1	1%
	9734 Plasmacitoma, extramedular	2	3%	0	0%	2	1%
	Total		64	100%	45	100%	109

Localización Topográfica	Morfología	Hombres		Mujeres		Total		
		No.	%	No.	%	No.	%	
MAMA	8000 Neoplasia maligna	1	20%	66	6%	67	6%	
	8010 Carcinoma SAI	0	0%	11	1%	11	1%	
	8050 Carcinoma papilar SAI	0	0%	12	1%	12	1%	
	8071 Carcinoma epidermoide tipo queratinizante SAI	0	0%	1	0%	1	0%	
	8140 Adenocarcinoma SAI	0	0%	4	0%	4	0%	
	8211 Adenocarcinoma tubular	0	0%	1	0%	1	0%	
	8230 Carcinoma solido SAI	0	0%	1	0%	1	0%	
	8246 Carcinoma neuroendocrino	0	0%	1	0%	1	0%	
	8480 Adenocarcinoma mucinoso	0	0%	14	1%	14	1%	
	8500 Carcinoma ductal infiltrante	3	60%	793	77%	796	77%	
	8501 Comedocarcinoma SAI	0	0%	3	0%	3	0%	
	8503 Adenocarcinoma papilar intraductal con invasión	0	0%	11	1%	11	1%	
	8504 Carcinoma intraquistico	0	0%	1	0%	1	0%	
	8510 Carcinoma medular SAI	0	0%	15	1%	15	1%	
	8513 Carcinoma medular atípico	0	0%	1	0%	1	0%	
	8520 Carcinoma lobulillar SAI	0	0%	58	6%	58	6%	
	8522 Carcinoma ductal infiltrante y lobulillar	0	0%	9	1%	9	1%	
	8523 Carcinoma ductal infiltrante mixto con otros tipos de carcinoma	0	0%	1	0%	1	0%	
	8524 Carcinoma lobular infiltrante mixto con otros tipos de carcinoma	0	0%	1	0%	1	0%	
	8540 Enfermedad de Paget, mamaria	0	0%	1	0%	1	0%	
	8543 Enfermedad de Paget y carcinoma intraductal de la mama	0	0%	4	0%	4	0%	
	8570 Adenocarcinoma con metaplasia escamosa	0	0%	1	0%	1	0%	
	8575 Carcinoma metaplásico, SAI	0	0%	3	0%	3	0%	
	8800 Sarcoma SAI	0	0%	2	0%	2	0%	
	8801 Sarcoma fusocelular SAI	0	0%	1	0%	1	0%	
	9020 Tumor filoides maligno	0	0%	14	1%	14	1%	
	9120 Hemangiosarcoma	0	0%	1	0%	1	0%	
	9670 Linfoma maligno difuso de linfocitos pequeños SAI	0	0%	1	0%	1	0%	
	9675 Linfoma maligno difuso mixto de células grandes y	1	20%	1	0%	2	0%	
	9680 Linfoma maligno difuso de células grandes SAI	0	0%	2	0%	2	0%	
Total		5	100%	1035	100%	1040	100%	
VULVA	8000 Neoplasia maligna	0	0%	1	5%	1	5%	
	8010 Carcinoma SAI	0	0%	1	5%	1	5%	
	8051 Carcinoma verrugoso SAI	0	0%	1	5%	1	5%	
	8070 Carcinoma epidermoide SAI	0	0%	7	35%	7	35%	
	8071 Carcinoma epidermoide tipo queratinizante SAI	0	0%	2	10%	2	10%	
	8073 Carcinoma epidermoide de células pequeñas, tipo no queratinizante	0	0%	1	5%	1	5%	
	8077 Neoplasia intraepitelial grado III	0	0%	1	5%	1	5%	
	8090 Carcinoma basocelular SAI	0	0%	1	5%	1	5%	
	8097 Carcinoma de células basales	0	0%	1	5%	1	5%	
	8140 Adenocarcinoma SAI	0	0%	1	5%	1	5%	
	8542 Enfermedad de Page, extramamaria	0	0%	1	5%	1	5%	
	8852 Liposarcoma mixoide	0	0%	1	5%	1	5%	
	9680 Linfoma maligno difuso de células grandes SAI	0	0%	1	5%	1	5%	
	Total		0	0%	20	100%	20	100%
	VAGINA	8010 Carcinoma SAI	0	0%	2	20%	2	20%
8073 Carcinoma epidermoide SAI		0	0%	6	60%	6	60%	
8140 Adenocarcinoma SAI		0	0%	1	10%	1	10%	
8980 Carcinosarcoma SAI		0	0%	1	10%	1	10%	
Total			0	0%	10	100%	10	100%

Localización Topográfica	Morfología	Hombres		Mujeres		Total		
		No.	%	No.	%	No.	%	
CUELLO DEL ÚTERO	8000 Neoplasia maligna	0	0%	36	3%	36	3%	
	8010 Carcinoma SAI	0	0%	103	9%	103	9%	
	8050 Carcinoma papilar SAI	0	0%	8	1%	8	1%	
	8070 Carcinoma epidermoide SAI	0	0%	640	54%	640	54%	
	8071 Carcinoma epidermoide tipo queratinizante SAI	0	0%	71	6%	71	6%	
	8072 Carcinoma epidermoide de células grandes, no queratinizante	0	0%	144	12%	144	12%	
	8073 Carcinoma epidermoide de células pequeñas, tipo no queratinizante	0	0%	7	1%	7	1%	
	8076 Carcinoma epidermoide microinvasor	0	0%	24	2%	24	2%	
	8077 Neoplasia intraepitelial grado III, de cérvix, vulva y vagina	0	0%	3	0%	3	0%	
	8082 Carcinoma linfoepitelial	0	0%	1	0%	1	0%	
	8140 Adenocarcinoma SAI	0	0%	105	9%	105	9%	
	8200 Carcinoma adenoide quístico	0	0%	1	0%	1	0%	
	8210 Adenocarcinoma en pólipo adenomatoso	0	0%	1	0%	1	0%	
	8246 Carcinoma neuroendocrino	0	0%	1	0%	1	0%	
	8260 Adenocarcinoma papilar SAI	0	0%	2	0%	2	0%	
	8263 Adenocarcinoma en adenoma tubulovelloso	0	0%	1	0%	1	0%	
	8310 Adenocarcinoma de células claras SAI	0	0%	4	0%	4	0%	
	8380 Carcinoma endometriode	0	0%	2	0%	2	0%	
	8383 Adenocarcinoma endometriode, variante células cilares	0	0%	1	0%	1	0%	
	8384 Adenocarcinoma, tipo endocervical	0	0%	15	1%	15	1%	
	8480 Adenocarcinoma mucinoso	0	0%	2	0%	2	0%	
	8482 Adenocarcinoma mucinoso, tipo endocervical	0	0%	1	0%	1	0%	
	8560 Carcinoma adenoescamoso	0	0%	10	1%	10	1%	
	8890 Leiomiosarcoma SAI	0	0%	1	0%	1	0%	
	8950 Tumor mulleriano mixto	0	0%	1	0%	1	0%	
	8980 Carcinosarcoma SAI	0	0%	1	0%	1	0%	
Total		0	0%	1186	100%	1186	100%	
CUERPO DEL ÚTERO	8000 Neoplasia maligna	0	0%	23	14%	23	14%	
	8004 Tumor maligno de células fusiformes	0	0%	1	1%	1	1%	
	8010 Carcinoma SAI	0	0%	3	2%	3	2%	
	8050 Carcinoma papilar SAI	0	0%	4	2%	4	2%	
	8070 Carcinoma epidermoide SAI	0	0%	5	3%	5	3%	
	8071 Carcinoma epidermoide tipo queratinizante SAI	0	0%	1	1%	1	1%	
	8072 Carcinoma epidermoide de células grandes, no queratinizante	0	0%	1	1%	1	1%	
	8075 Carcinoma epidermoide seudoglandular	0	0%	1	1%	1	1%	
	8076 Carcinoma epidermoide microinvasor	0	0%	1	1%	1	1%	
	8140 Adenocarcinoma SAI	0	0%	44	26%	44	26%	
	8260 Adenocarcinoma papilar SAI	0	0%	3	2%	3	2%	
	8310 Adenocarcinoma de células claras SAI	0	0%	4	2%	4	2%	
	8380 Carcinoma endometriode	0	0%	62	37%	62	37%	
	8382 Adenocarcinoma endometriode, variante secretoria	0	0%	1	1%	1	1%	
	8383 Adenocarcinoma endometriode, variante células cilares	0	0%	1	1%	1	1%	
	8570 Adenocarcinoma con metaplasia escamosa	0	0%	1	1%	1	1%	
	8800 Sarcoma SAI	0	0%	1	1%	1	1%	
	8890 Leiomiosarcoma SAI	0	0%	3	2%	3	2%	
	8930 Sarcoma del estroma endometrial	0	0%	1	1%	1	1%	
	8935 Sarcoma del estroma, SAI	0	0%	1	1%	1	1%	
	8950 Tumor mulleriano mixto	0	0%	2	1%	2	1%	
	8980 Carcinosarcoma SAI	0	0%	2	1%	2	1%	
	9680 Linfoma maligno difuso de células grandes SAI	0	0%	1	1%	1	1%	
	Total		0	0%	167	100%	167	100%

Localización Topográfica	Morfología	Hombres		Mujeres		Total	
		No.	%	No.	%	No.	%
ÚTERO, PARTE NO ESPECIFICADA	8000 Neoplasia maligna	0	0%	13	87%	13	87%
	8070 Carcinoma epidermoide SAI	0	0%	1	7%	1	7%
	8140 Adenocarcinoma SAI	0	0%	1	7%	1	7%
	Total	0	0%	15	100%	15	100%
OVARIO	8000 Neoplasia maligna	0	0%	18	10%	18	10%
	8010 Carcinoma SAI	0	0%	4	2%	4	2%
	8050 Carcinoma papilar SAI	0	0%	8	5%	8	5%
	8070 Carcinoma epidermoide SAI	0	0%	1	1%	1	1%
	8140 Adenocarcinoma SAI	0	0%	16	9%	16	9%
	8246 Carcinoma neuroendocrino	0	0%	1	1%	1	1%
	8260 Adenocarcinoma papilar SAI	0	0%	3	2%	3	2%
	8263 Adenocarcinoma en adenoma tubulovellosos	0	0%	1	1%	1	1%
	8310 Adenocarcinoma de células claras SAI	0	0%	4	2%	4	2%
	8313 Adenocarcinofibroma de células claras	0	0%	1	1%	1	1%
	8380 Carcinoma endometriode	0	0%	5	3%	5	3%
	8440 Cistadenocarcinoma SAI	0	0%	6	3%	6	3%
	8441 Cistadenocarcinoma seroso SAI	0	0%	4	2%	4	2%
	8450 Cistadenocarcinoma papilar SAI	0	0%	13	7%	13	7%
	8460 Cistadenocarcinoma seroso papilar	0	0%	53	30%	53	30%
	8461 Carcinoma papilar de superficie serosa	0	0%	2	1%	2	1%
	8463 Tumor papilar de superficie serosa de malignidad limítrofe (bordeline)	0	0%	1	1%	1	1%
	8470 Cistadenocarcinoma mucinoso SAI	0	0%	7	4%	7	4%
	8471 Cistadenocarcinoma mucinoso papilar	0	0%	3	2%	3	2%
	8480 Adenocarcinoma mucinoso	0	0%	1	1%	1	1%
	8490 Carcinoma de células en anillo de sello	0	0%	1	1%	1	1%
	8620 Tumor maligno de células de la granulosa	0	0%	1	1%	1	1%
	8630 Androblastoma maligno	0	0%	1	1%	1	1%
	8830 Histiocitoma fibroso maligno	0	0%	1	1%	1	1%
	8890 Leiomioma SAI	0	0%	1	1%	1	1%
	9000 Tumor de Brenner maligno	0	0%	1	1%	1	1%
	9060 Disgerminoma	0	0%	9	5%	9	5%
	9064 Germinoma	0	0%	1	1%	1	1%
	9070 Carcinoma embrionario SAI	0	0%	2	1%	2	1%
	9080 Teratoma maligno SAI	0	0%	2	1%	2	1%
	9100 Coriocarcinoma SAI	0	0%	1	1%	1	1%
	9590 Linfoma maligno SAI	0	0%	1	1%	1	1%
9591 Linfoma maligno no Hodgkin SAI	0	0%	1	1%	1	1%	
9680 Linfoma maligno difuso de células grandes SAI	0	0%	1	1%	1	1%	
Total	0	0%	176	100%	176	100%	
OTROS ÓRGANOS GENITALES FEMENINOS Y LOS NO ESPECIFICADOS	9100 Coriocarcinoma SAI	0	0%	1	100%	1	100%
	Total	0	0%	1	100%	1	100%
PLACENTA	9100 Coriocarcinoma SAI	0	0%	1	100%	1	100%
	Total	0	0%	1	100%	1	100%
PENE	8000 Neoplasia maligna	2	6%	0	0%	2	6%
	8051 Carcinoma verrugoso SAI	4	12%	0	0%	4	12%
	8070 Carcinoma in situ de células escamosas, SAI => Carcinoma epidermoide In Situ SAI	1	3%	0	0%	1	3%
	8070 Carcinoma epidermoide SAI	14	42%	0	0%	14	42%
	8071 Carcinoma epidermoide tipo queratinizante SAI	9	27%	0	0%	9	27%
	8081 Enfermedad de Bowen	2	6%	0	0%	2	6%
	9140 Sarcoma de Kaposi	1	3%	0	0%	1	3%
	Total	33	100%	0	0%	33	100%

Localización Topográfica	Morfología	Hombres		Mujeres		Total	
		No.	%	No.	%	No.	%
PRÓSTATA	8000 Neoplasia maligna	147	19%	0	0%	147	19%
	8010 Carcinoma SAI	17	2%	0	0%	17	2%
	8070 Carcinoma epidermoide SAI	2	0%	0	0%	2	0%
	8120 Carcinoma de células transicionales SAI	3	0%	0	0%	3	0%
	8130 Carcinoma papilar de células transicionales	1	0%	0	0%	1	0%
	8140 Adenocarcinoma SAI	615	78%	0	0%	615	78%
	8148 Neoplasia intraepitelial prostática glandular, grado III PIN	1	0%	0	0%	1	0%
	8430 Carcinoma mucoepidermoide	1	0%	0	0%	1	0%
	8480 Adenocarcinoma mucinoso	1	0%	0	0%	1	0%
	8574 Adenocarcinoma con diferenciación neuroendocrina	1	0%	0	0%	1	0%
	9591 Linfoma maligno no Hodgkin SAI	1	0%	0	0%	1	0%
Total	790	100%	0	0%	790	100%	
TESTÍCULOS	8000 Neoplasia maligna	2	3%	0	0%	2	3%
	8010 Carcinoma SAI	1	1%	0	0%	1	1%
	9061 Seminoma SAI	25	37%	0	0%	25	37%
	9062 Seminoma, tipo anaplásico	1	1%	0	0%	1	1%
	9064 Germinoma	5	7%	0	0%	5	7%
	9070 Carcinoma embrionario SAI	12	18%	0	0%	12	18%
	9071 Tumor del seno endodérmico	5	7%	0	0%	5	7%
	9080 Teratoma maligno SAI	3	4%	0	0%	3	4%
	9081 Teratocarcinoma	1	1%	0	0%	1	1%
	9085 Tumor mixto de células germinales	8	12%	0	0%	8	12%
	9100 Coriocarcinoma SAI	1	1%	0	0%	1	1%
	9591 Linfoma maligno no Hodgkin SAI	3	4%	0	0%	3	4%
	Total	67	100%	0	0%	67	100%
OTROS ÓRGANOS GENITALES MASCULINOS Y LOS NO ESPECIFICADOS	8800 Sarcoma SAI	1	33%	0	0%	1	33%
	8854 Liposarcoma pleomórfico	1	33%	0	0%	1	33%
	9061 Seminoma SAI	1	33%	0	0%	1	33%
	Total	3	100%	0	0%	3	100%
RIÑÓN, EXCEPTO DE LA PELVIS	8000 Neoplasia maligna	17	15%	7	9%	24	12%
	8010 Carcinoma SAI	1	1%	2	3%	3	2%
	8070 Carcinoma epidermoide SAI	1	1%	1	1%	2	1%
	8120 Carcinoma de células transicionales SAI	4	3%	2	3%	6	3%
	8140 Adenocarcinoma SAI	2	2%	0	0%	2	1%
	8246 Carcinoma neuroendocrino	1	1%	0	0%	1	1%
	8260 Adenocarcinoma papilar SAI	2	2%	1	1%	3	2%
	8310 Adenocarcinoma de células claras SAI	19	16%	9	11%	28	14%
	8312 Carcinoma de células renales	54	46%	45	57%	99	51%
	8318 Carcinoma de células renales, sarcomatoide	7	6%	3	4%	10	5%
	8800 Sarcoma SAI	1	1%	1	1%	2	1%
	8890 Leiomiomasarcoma SAI	1	1%	0	0%	1	1%
	8960 Nefroblastoma SAI	7	6%	8	10%	15	8%
	Total	117	100%	79	100%	196	100%
PELVIS RENAL	8000 Neoplasia maligna	1	100%	0	0%	1	50%
	8120 Carcinoma de células transicionales SAI	0	0%	1	100%	1	50%
	Total	1	100%	1	100%	2	100%
VEJIGA URINARIA	8000 Neoplasia maligna	7	7%	1	4%	8	7%
	8010 Carcinoma SAI	2	2%	0	0%	2	2%
	8050 Carcinoma papilar SAI	4	4%	1	4%	5	4%
	8052 Carcinoma de células escamosas papilares	1	1%	0	0%	1	1%
	8071 Carcinoma epidermoide tipo queratinizante SAI	2	2%	0	0%	2	2%
	8120 Carcinoma de células transicionales SAI	54	57%	14	56%	68	57%
	8130 Carcinoma papilar de células transicionales	20	21%	9	36%	29	24%
	8140 Adenocarcinoma SAI	2	2%	0	0%	2	2%
	8211 Adenocarcinoma tubular	1	1%	0	0%	1	1%
	8800 Sarcoma SAI	1	1%	0	0%	1	1%
	8910 Rabdomyosarcoma embrionario	1	1%	0	0%	1	1%
	Total	95	100%	25	100%	120	100%

Localización Topográfica	Morfología	Hombres		Mujeres		Total	
		No.	%	No.	%	No.	%
OTROS ÓRGANOS URINARIOS Y DE LOS NO ESPECIFICADOS	8000 Neoplasia maligna	0	0%	1	50%	1	50%
	8140 Adenocarcinoma SAI	0	0%	1	50%	1	50%
	Total	0	0%	2	100%	2	100%
OJOS Y SUS ANEXOS	8000 Neoplasia maligna	1	4%	0	0%	1	3%
	8020 Carcinoma indiferenciado SAI	1	4%	0	0%	1	3%
	8070 Carcinoma epidermoide SAI	10	37%	1	13%	11	31%
	8071 Carcinoma epidermoide tipo queratinizante SAI	2	7%	0	0%	2	6%
	8430 Carcinoma mucoepidermoide	1	4%	0	0%	1	3%
	8720 Melanoma maligno SAI	1	4%	0	0%	1	3%
	9510 Retinoblastoma SAI	9	33%	3	38%	12	34%
	9591 Linfoma maligno no Hodgkin SAI	0	0%	2	25%	2	6%
	9652 Enfermedad de Hodgkin de celularidad mixta SAI	1	4%	0	0%	1	3%
	9670 Linfoma maligno difuso de linfocitos pequeños SAI	0	0%	2	25%	2	6%
	9727 Linfoma linfoblástico de células precursora, SAI	1	4%	0	0%	1	3%
Total	27	100%	8	100%	35	100%	
LAS MENINGES	9530 Meningioma maligno	0	0%	1	100%	1	100%
	Total	0	0%	1	100%	1	100%
ENCÉFALO	8000 Neoplasia maligna	26	22%	30	24%	56	23%
	9370 Cordoma	0	0%	1	1%	1	0%
	9380 Glioma maligno	2	2%	3	2%	5	2%
	9381 Gliomatosis del cerebro	1	1%	0	0%	1	0%
	9390 Papiloma maligno de los plexos coroideos	1	1%	0	0%	1	0%
	9391 Ependimoma SAI	2	2%	3	2%	5	2%
	9400 Astrocitoma SAI	29	25%	28	23%	57	24%
	9401 Astrocitoma anaplásico	12	10%	4	3%	16	7%
	9411 Astrocitoma gemistocítico	0	0%	1	1%	1	0%
	9420 Astrocitoma fibrila	5	4%	7	6%	12	5%
	9421 Astrocitoma pilocítico	2	2%	0	0%	2	1%
	9440 Glioblastoma SAI	17	15%	11	9%	28	12%
	9441 Glioblastoma de células gigantes	1	1%	0	0%	1	0%
	9442 Gliosarcoma	1	1%	3	2%	4	2%
	9450 Oligodendroglioma SAI	2	2%	2	2%	4	2%
	9451 Oligodendroglioma anaplásico	0	0%	1	1%	1	0%
	9460 Oligodendroblastoma	1	1%	1	1%	2	1%
	9470 Meduloblastoma SAI	8	7%	11	9%	19	8%
	9473 Tumor neuroectodérmico primitivo	1	1%	4	3%	5	2%
	9530 Meningioma maligno	2	2%	4	3%	6	3%
	9560 Neurilemoma maligno	0	0%	1	1%	1	0%
	9590 Linfoma maligno SAI	0	0%	1	1%	1	0%
	9670 Linfoma maligno difuso de linfocitos pequeños SAI	0	0%	1	1%	1	0%
	9671 Linfoma maligno linfoplasmocítico	0	0%	2	2%	2	1%
	9675 Linfoma maligno difuso mixto de células grandes y pequeñas	1	1%	0	0%	1	0%
	9680 Linfoma maligno difuso de células grandes SAI	1	1%	1	1%	2	1%
	9690 Linfoma maligno folicular SAI	0	0%	1	1%	1	0%
	9731 Plasmocitoma SAI	1	1%	0	0%	1	0%
	9750 Histiocitosis maligna	0	0%	2	2%	2	1%
	9754 Histiocitosis de células de Langerhans, diseminada	1	1%	0	0%	1	0%
	Total	117	100%	123	100%	240	100%

Localización Topográfica	Morfología	Hombres		Mujeres		Total	
		No.	%	No.	%	No.	%
MÉDULA ESPINAL, DE LOS NERVIOS CRANEALES Y DE OTRAS PARTES DEL SNC	9400 Astrocitoma SAI	1	11%	1	33%	2	17%
	9401 Astrocitoma anaplásico	1	11%	0	0%	1	8%
	9473 Tumor neuroectodérmico primitivo	2	22%	0	0%	2	17%
	9500 Neuroblastoma SAI	0	0%	1	33%	1	8%
	9530 Meningioma maligno	0	0%	1	33%	1	8%
	9560 Neurilemoma maligno	1	11%	0	0%	1	8%
	9590 Linfoma maligno SAI	1	11%	0	0%	1	8%
	9675 Linfoma maligno difuso mixto de células grandes y pequeñas	1	11%	0	0%	1	8%
	9750 Histiocitosis maligna	2	22%	0	0%	2	17%
	Total	9	100%	3	100%	12	100%
GLÁNDULA TIROIDES	8000 Neoplasia maligna	2	4%	6	3%	8	3%
	8010 Carcinoma SAI	0	0%	1	1%	1	0%
	8021 Carcinoma de tipo anaplásico SAI	2	4%	5	3%	7	3%
	8050 Carcinoma papilar SAI	2	4%	6	3%	8	3%
	8070 Carcinoma epidermoide SAI	2	4%	0	0%	2	1%
	8260 Adenocarcinoma papilar SAI	38	75%	147	81%	185	80%
	8330 Adenocarcinoma folicular SAI	2	4%	9	5%	11	5%
	8341 Microcarcinoma papilar	0	0%	1	1%	1	0%
	8510 Carcinoma medular SAI	3	6%	3	2%	6	3%
	9670 Linfoma maligno difuso de linfocitos pequeños SAI	0	0%	1	1%	1	0%
	9680 Linfoma maligno difuso de células grandes SAI	0	0%	1	1%	1	0%
	9758 Sarcoma folicular de células dendríticas	0	0%	1	1%	1	0%
Total	51	100%	181	100%	232	100%	
GLÁNDULA SUPRARRENAL	8370 Carcinoma de la corteza suprarrenal	0	0%	1	100%	1	100%
	Total	0	0%	1	100%	1	100%
OTRAS GLÁNDULAS ENDOCRINAS	9080 Teratoma maligno SAI	1	100%	0	0%	1	100%
	Total	1	100%	0	0%	1	100%
OTROS SITIOS Y DE SITIOS MAL DEFINIDAS	8000 Neoplasia maligna	3	33%	0	0%	3	25%
	8070 Carcinoma epidermoide SAI	0	0%	1	33%	1	8%
	8140 Adenocarcinoma SAI	1	11%	2	67%	3	25%
	8936 Sarcoma del estroma gastrointestinal <=> Tumor del estroma gastrointestinal, maligno	1	11%	0	0%	1	8%
	9540 Neurofibrosarcoma	1	11%	0	0%	1	8%
	9591 Linfoma maligno no Hodgkin SAI	1	11%	0	0%	1	8%
	9680 Linfoma maligno difuso de células grandes SAI	2	22%	0	0%	2	17%
	Total	9	100%	3	100%	12	100%

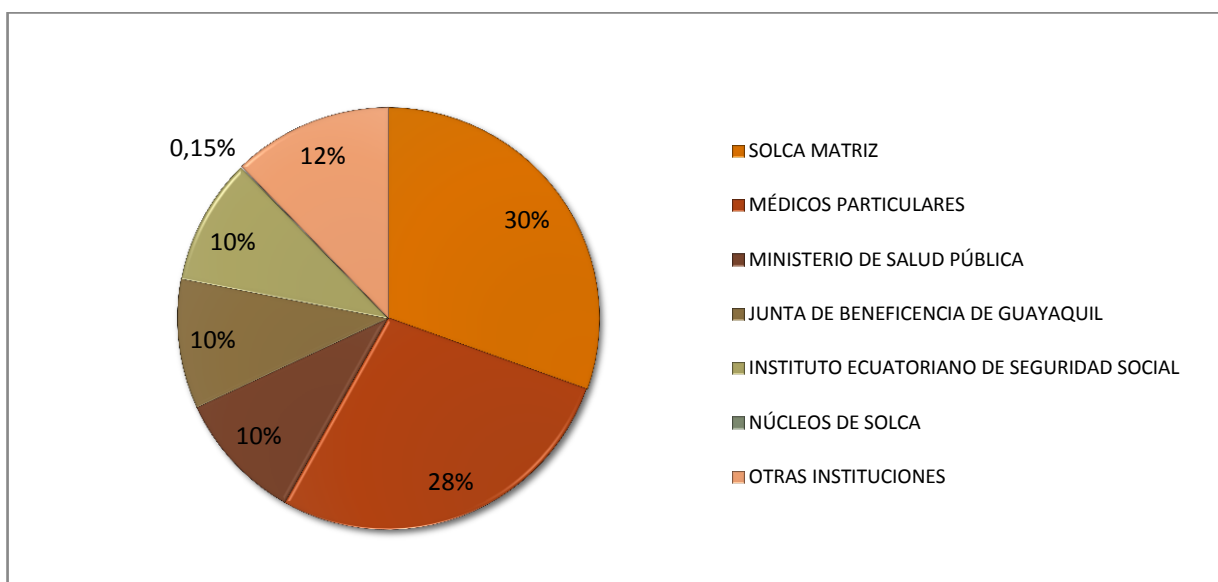
Localización Topográfica	Morfología	Hombres		Mujeres		Total		
		No.	%	No.	%	No.	%	
SECUNDARIO Y EL NO ESPECIFICADO DE LOS GANGLIOS LINFÁTICOS	8000 Neoplasia maligna	4	2%	2	2%	6	2%	
	9590 Linfoma maligno SAI	7	4%	5	4%	12	4%	
	9591 Linfoma maligno no Hodgkin SAI	36	19%	16	13%	52	17%	
	9650 Enfermedad de Hodgkin SAI	13	7%	7	6%	20	6%	
	9651 Enfermedad de Hodgkin rico en linfocitos	1	1%	1	1%	2	1%	
	9652 Enfermedad de Hodgkin de celularidad mixta SAI	4	2%	0	0%	4	1%	
	9659 Enfermedad de Hodgkin con predominio linfocítico tipo nodular	1	1%	0	0%	1	0%	
	9663 Enfermedad de Hodgkin, tipo esclerosis nodular SAI	17	9%	15	12%	32	10%	
	9664 Enfermedad de Hodgkin, tipo esclerosis nodular, fase celular	2	1%	1	1%	3	1%	
	9665 Enfermedad de Hodgkin, tipo esclerosis nodular, con predominio linfocítico	2	1%	1	1%	3	1%	
	9670 Linfoma maligno difuso de linfocitos pequeños SAI	18	9%	2	2%	20	6%	
	9671 Linfoma maligno linfoplasmocítico	1	1%	1	1%	2	1%	
	9673 Linfoma maligno linfocítico difuso moderadamente diferenciado	1	1%	2	2%	3	1%	
	9675 Linfoma maligno difuso mixto de células grandes y pequeñas	22	11%	16	13%	38	12%	
	9680 Linfoma maligno difuso de células grandes SAI	35	18%	38	31%	73	23%	
	9684 Linfoma maligno inmunoblástico SAI	2	1%	0	0%	2	1%	
	9687 Linfoma de Burkitt SAI	3	2%	0	0%	3	1%	
	9690 Linfoma maligno folicular SAI	5	3%	5	4%	10	3%	
	9691 Linfoma maligno folicular mixto de células grandes y pequeñas hendidas	3	2%	3	2%	6	2%	
	9695 Linfoma maligno folicular de células pequeñas hendidas	5	3%	0	0%	5	2%	
	9698 Linfoma maligno folicular de células grandes SAI	1	1%	1	1%	2	1%	
	9699 Linfoma de células B de la zona marginal SAI	0	0%	1	1%	1	0%	
	9702 Linfoma de células T. periféricas SAI	5	3%	1	1%	6	2%	
	9705 Linfoma disproteinemia	1	1%	1	1%	2	1%	
	9727 Linfoma linfoblástica de células precursora, SAI	2	1%	0	0%	2	1%	
	9750 Histiocitosis maligna	1	1%	1	1%	2	1%	
	9754 Histiocitosis de células de Langerhans, diseminada	0	0%	1	1%	1	0%	
Total		192	100%	121	100%	313	100%	
SITIOS NO ESPECIFICADOS	8000 Neoplasia maligna	34	33%	51	31%	85	31%	
	8010 Carcinoma SAI	19	18%	26	16%	45	17%	
	8034 Carcinoma de células poligonales	1	1%	0	0%	1	0%	
	8050 Carcinoma papilar SAI	1	1%	0	0%	1	0%	
	8070 Carcinoma epidermoide SAI	7	7%	6	4%	13	5%	
	8140 Adenocarcinoma SAI	33	32%	70	42%	103	38%	
	8144 Adenocarcinoma, tipo intestinal	0	0%	2	1%	2	1%	
	8211 Adenocarcinoma tubular	0	0%	1	1%	1	0%	
	8246 Carcinoma neuroendocrino	2	2%	4	2%	6	2%	
	8260 Adenocarcinoma papilar SAI	0	0%	2	1%	2	1%	
	8263 Adenocarcinoma en adenoma tubulovelloso	1	1%	0	0%	1	0%	
	8481 Adenocarcinoma producto de mucina	1	1%	1	1%	2	1%	
	8490 Carcinoma de células en anillo de sello	1	1%	2	1%	3	1%	
	8500 Carcinoma ductal infiltrante	0	0%	1	1%	1	0%	
	8573 Adenocarcinoma con metaplasia apócrina	1	1%	0	0%	1	0%	
	8720 Melanoma maligno SAI	1	1%	1	1%	2	1%	
	9100 Coriocarcinoma SAI	1	1%	0	0%	1	0%	
	Total		103	100%	167	100%	270	100%
	Total general		3783	100%	5421	100%	9204	100%

INCIDENCIA DE CÁNCER DETERMINADO POR INSTITUCIÓN Y POR SEXO

NO.	INSTITUCIÓN	HOMBRE		MUJER		TOTAL	
		CASOS	PORCENTAJE	CASOS	PORCENTAJE	CASOS	PORCENTAJE
I	SOLCA MATRIZ	875	23	1.927	36	2.802	30
II	MÉDICOS PARTICULARES	1.129	30	1.419	26	2.548	28
III	MINISTERIO DE SALUD PÚBLICA	495	13	420	8	915	10
IV	JUNTA DE BENEFICENCIA DE GUAYAQUIL	391	10	521	10	912	10
V	INSTITUTO ECUATORIANO DE SEGURIDAD SOCIAL	527	14	361	7	888	10
VI	NÚCLEOS DE SOLCA	5	0,13	9	0,17	14	0,15
VII	OTRAS INSTITUCIONES	361	10	761	14	1.122	12
TOTAL		3.783	100	5.418	100	9.201	100

Fuente: Registro de tumores SOLCA – Guayaquil

Gráfico de Incidencias por Instituciones



Fuente: Registro de tumores SOLCA – Guayaquil

TRABAJOS, PÓSTERES Y CONTRIBUCIONES REALIZADAS

Allemani C., et. al (2018). Global surveillance of trends in cancer survival 2000–2014 (CONCORD-3): analysis of individual records for 37 513 025 patients diagnosed with one of 18 cancers from 322 population-based registries in 71 countries. *Lancet*, 1023-1075

Quinto R., (2016). Caracterización del cáncer infantil en la región de Guayas-Ecuador: Un enfoque multivariante. Maestría en Análisis avanzado de datos multivariantes (Tesis no publicada). Universidad de Salamanca, Salamanca-España.

Allemani C., et. al (2015). Global surveillance of cancer survival 1995-2009: analysis of individual data for 25'676.887 patients from 279 population-based registries in 67 countries (CONCORD-2). *Lancet*, 977-1010.

Pósteres:

Jaramillo L., Roha A., Jaramillo A., Quinto R., Real J., (2018, noviembre). Spatial distribution of the most frequent cancers in Guayaquil. Presentado en la 40th IACR Annual Scientific Conference, Arequipa-Perú.

Quinto R., Jaramillo L., Real J., (2018, noviembre). Pediatric cancer incidence in SOLCA Guayaquil, 2000-2017. Presentado en la 40th IACR Annual Scientific Conference, Arequipa-Perú.

Quinto R., Jaramillo L., Real J., (2018, noviembre). Epidemiological profile of cancer in Guayaquil, 2008-2012. Presentado en la 40th IACR Annual Scientific Conference, Arequipa-Perú.

Quinto R., De la Cruz M., Demey J., (2016, noviembre). Childhood cancer in Ecuador – Guayas region: a multivariate analysis approach. Presentado en el UICC World Cancer Congress: "Mobilising action, Inspiring change", Paris-Francia.

Quinto R., De la Cruz M., Demey J., (2016, noviembre). Mortality caused by malignant tumors in Ecuadorian Region 2005-2014 A demographic study using Multiple Factor Analysis (MFA). Presentado en el UICC World Cancer Congress: "Mobilising action, Inspiring change", Paris-Francia.

Jaramillo A., (2015, noviembre). Cancer Pediátrico en SOLCA Guayaquil, 2000-2010. Presentado en el VII Encuentro de Registros de Cáncer del Ecuador, Guayaquil-Ecuador.

La información de los trabajos y pósteres realizados con datos de los registros de cáncer de base poblacional y hospitalaria, los pueden encontrar visitando el siguientes link:
www.estadisticas.med.ec